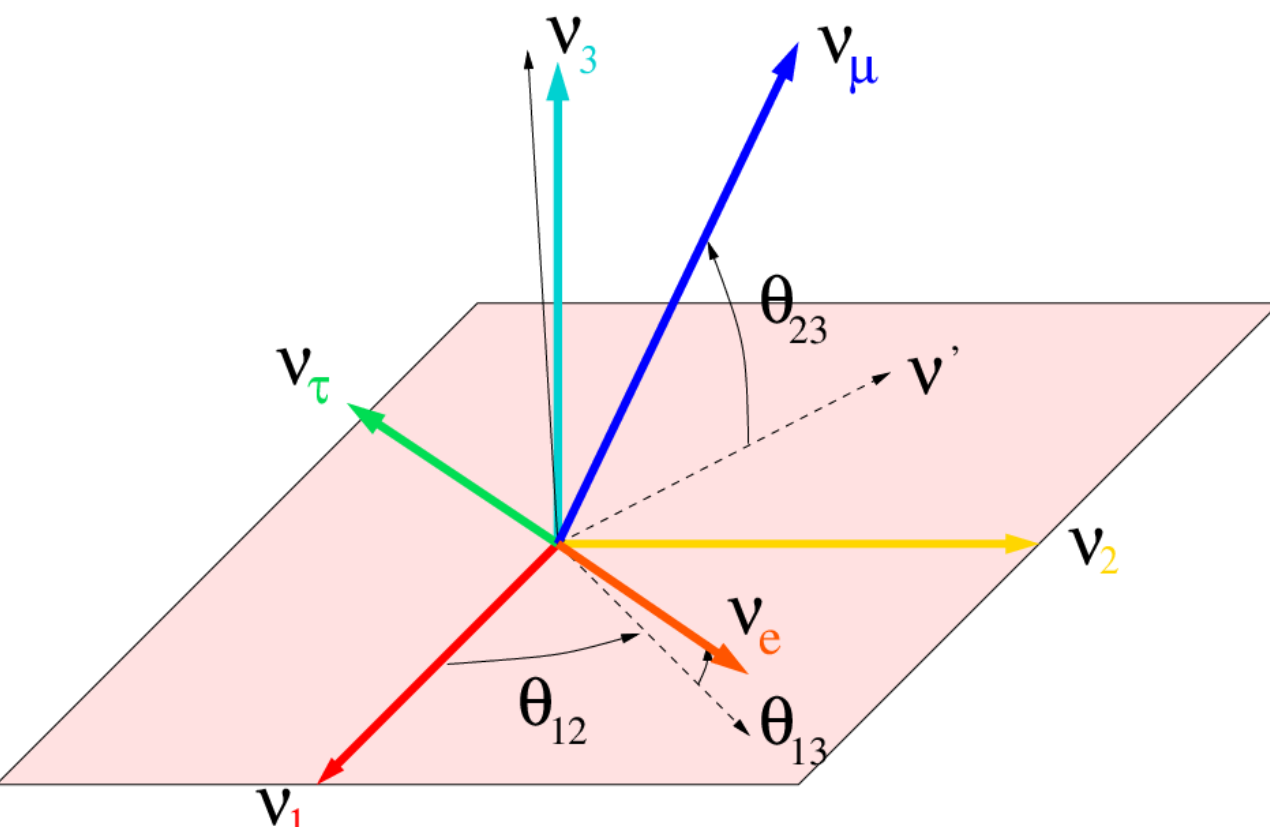
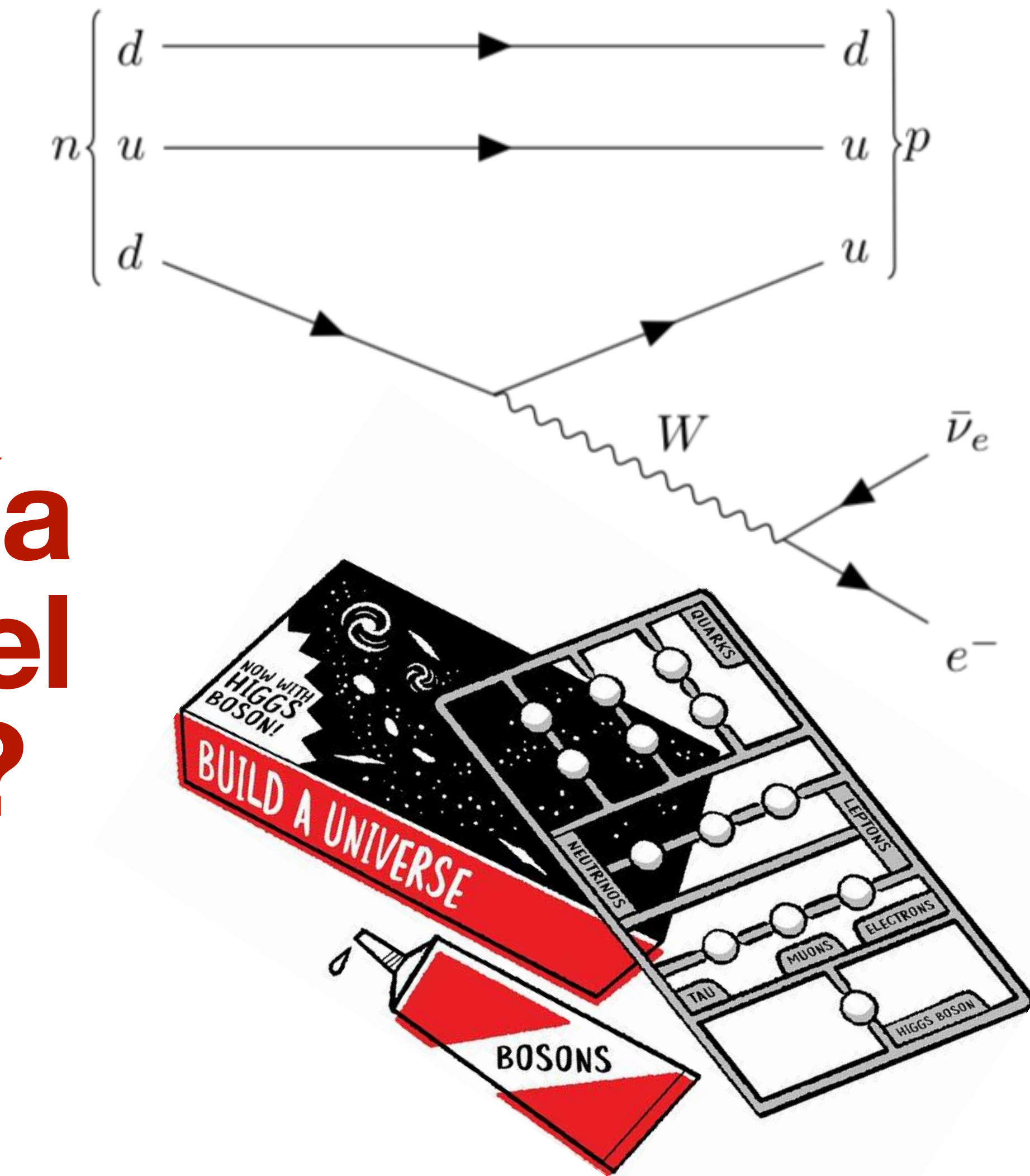


$$\begin{aligned}
 \mathcal{L} = & -\bar{\psi}_4 F_{\mu\nu} F^{\mu\nu} + h.c. \\
 & + i\bar{\psi}\not{\partial}\psi + h.c. \\
 & + \bar{\psi}_i \gamma_{ij} \psi_j \phi + h.c. \\
 & + D_\mu \phi^\dagger - V(\phi)
 \end{aligned}$$



¿Qué nos dice la Teoría Cuántica de Campos sobre el Modelo Estándar y Más Allá?

Presentación realizada para Física Teórica
en Río Rimac XIX 2025



Dr. Martín Arteaga Tupia, Febrero del 2025



Contenido

- 1. QFT y el Modelo Estándar (y Más Allá)**
- 2. Que rol cumplen los teoremas?**
- 3. Teoremas:**
 - 3.1 Feynman sobre partículas sin masa de spin 2**
 - 3.2 Weinberg-Witten**
 - 3.3 Alppesquist-Carrazone**
 - 3.4 Coleman-Mandula**
- 4. Conclusiones**

Contenido

- 1. QFT y el Modelo Estándar (y Más Allá)**
- 2. Que rol cumplen los teoremas?**
- 3. Teoremas:**
 - 3.1 Feynman sobre partículas sin masa de spin 2**
 - 3.2 Weinberg-Witten**
 - ~~3.3 Alppesquist-Carrazone~~**
 - 3.4 Coleman-Mandula**
- 4. Conclusiones**

Contenido

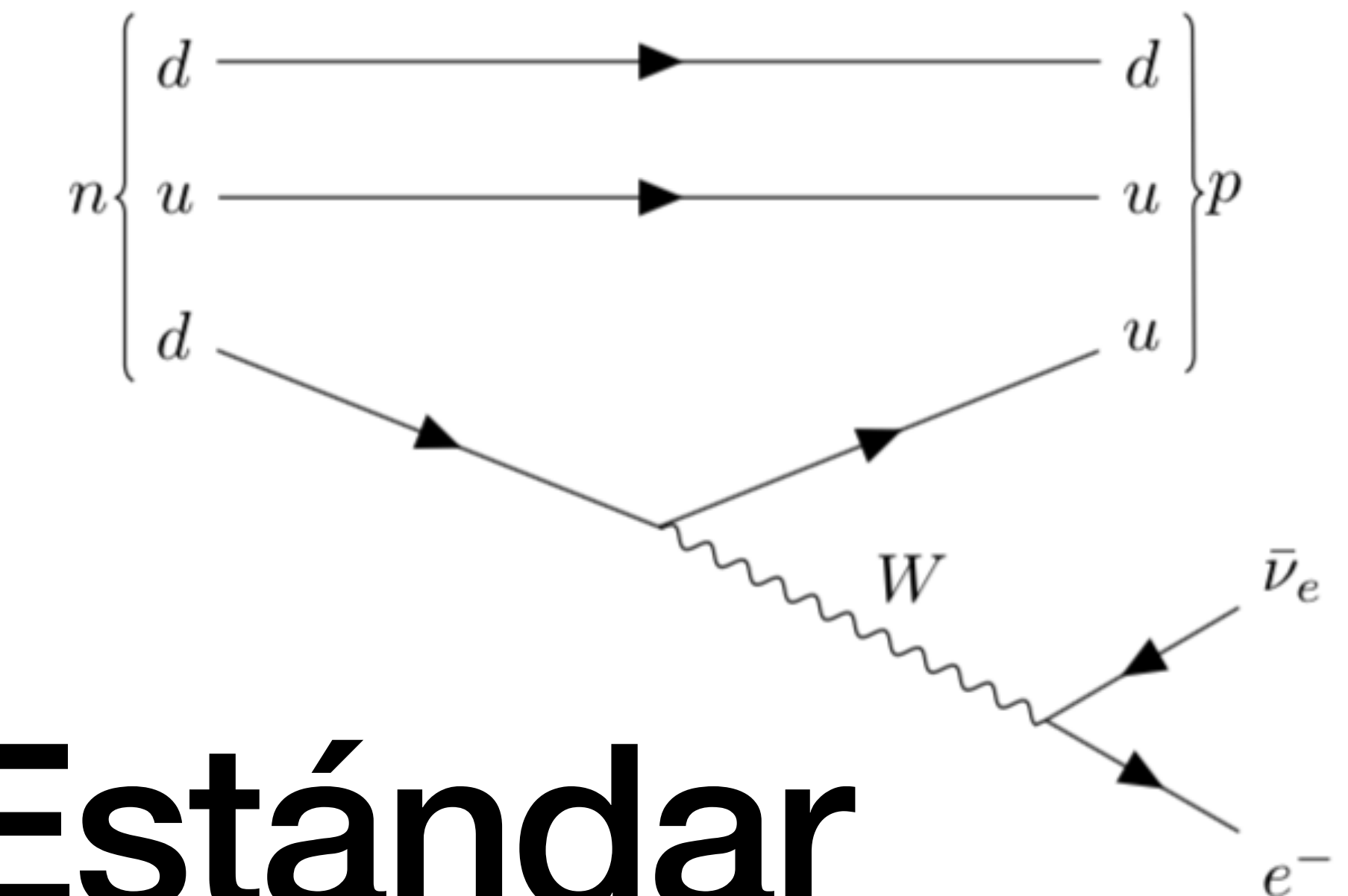
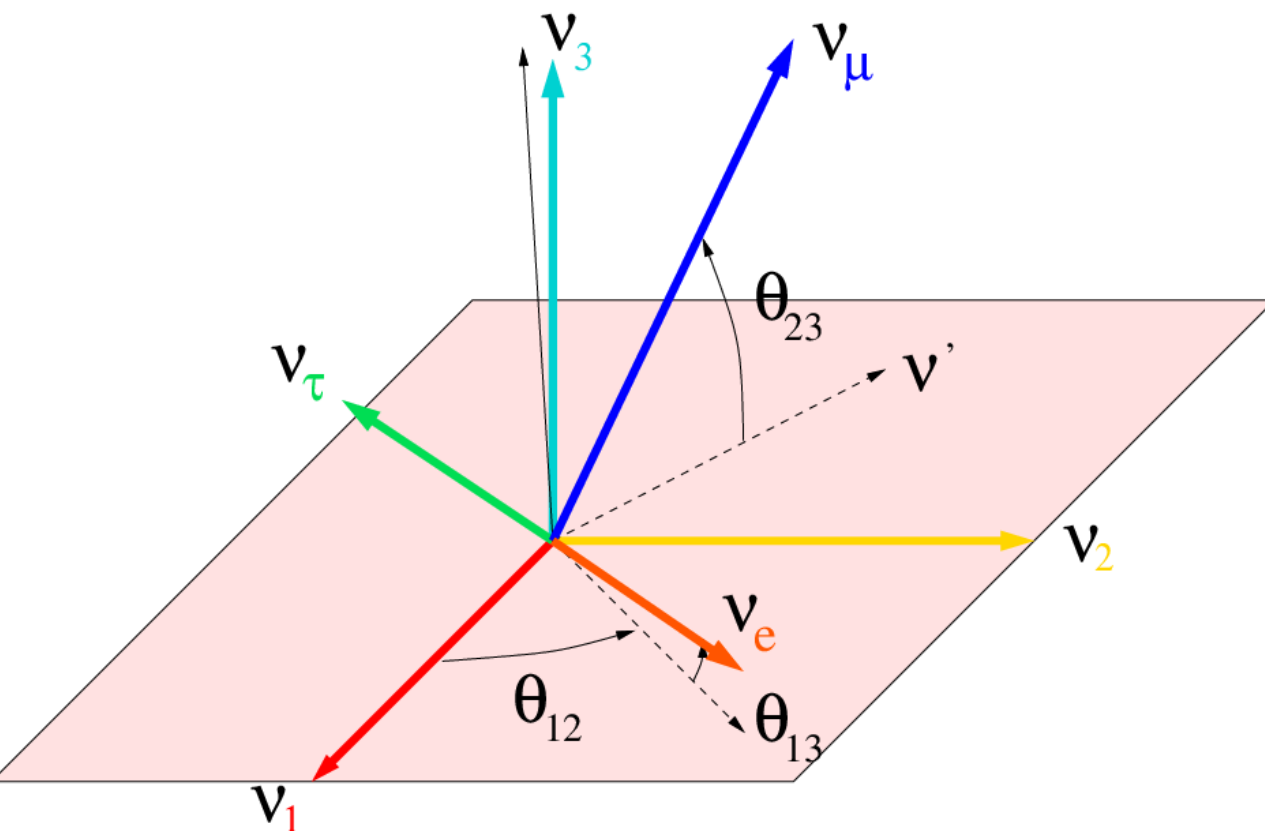
- 1. QFT y el Modelo Estándar (y Más Allá)**
- 2. Que rol cumplen los teoremas?**
- 3. Teoremas:**
 - 3.1 Feynman sobre partículas sin masa de spin 2**
 - 3.2 Weinberg-Witten**
 - ~~3.3 Alppesquist-Carrazzone~~**
 - ~~3.4 Coleman-Mandula~~**
- 4. Conclusiones**

$$\mathcal{L} = -\bar{\psi}_4 \gamma_\mu F_{\mu\nu} F^{\mu\nu} + h.c.$$

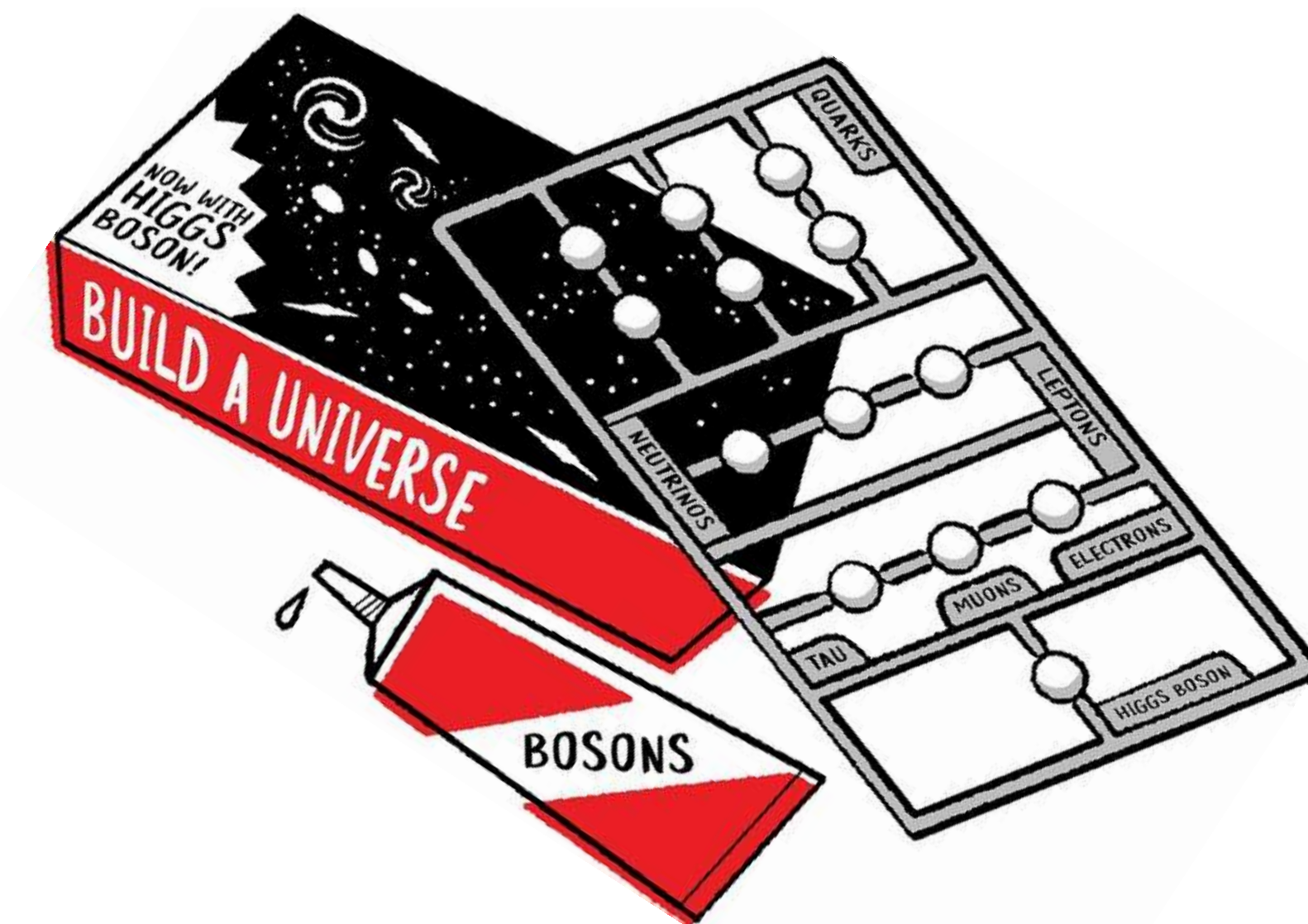
$$+ i \bar{\psi} \not{\partial} \psi + h.c.$$

$$+ \bar{\psi}_i \gamma_{ij} \psi_j \phi + h.c.$$

$$+ D_\mu \phi^\dagger \phi - V(\phi)$$

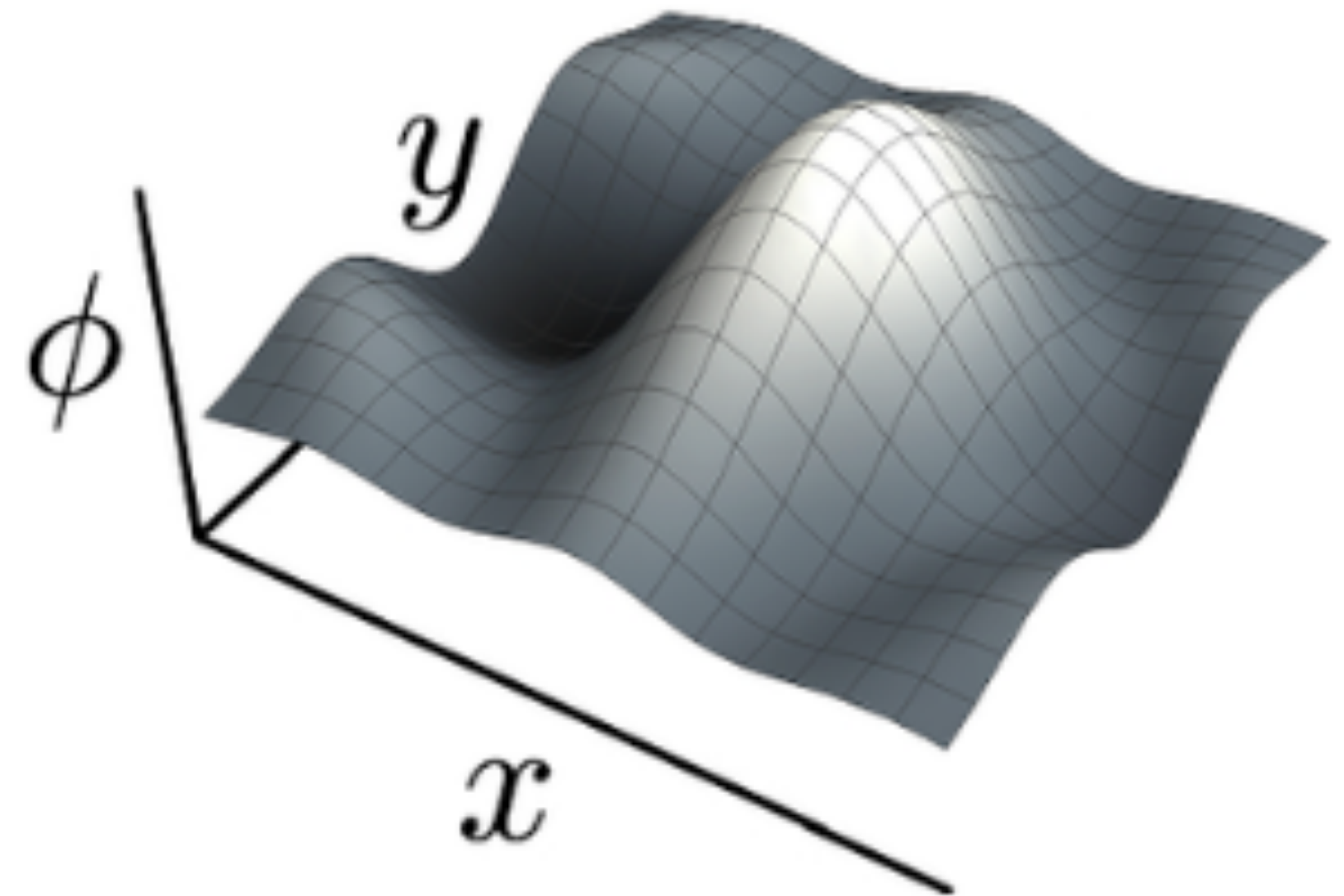


QFT y el Modelo Estándar (Y Más Allá)



Introducción

Quantum Field Theory



$$\phi(x) = \int \frac{d^3k}{\sqrt{(2\pi)^3 2k^0}} (e^{-ik \cdot x} a(\mathbf{k}) + e^{ik \cdot x} a^\dagger(\mathbf{k}))$$

$$\pi(x) = \dot{\phi}(x) = -i \int d^3k \sqrt{\frac{k^0}{2(2\pi)^3}} (e^{-ik \cdot x} a(\mathbf{k}) - e^{ik \cdot x} a^\dagger(\mathbf{k}))$$

$$[\phi(t, x), \pi(t, y)] = i\delta^{(3)}(x - y)$$

Introducción Quantum Field Theory



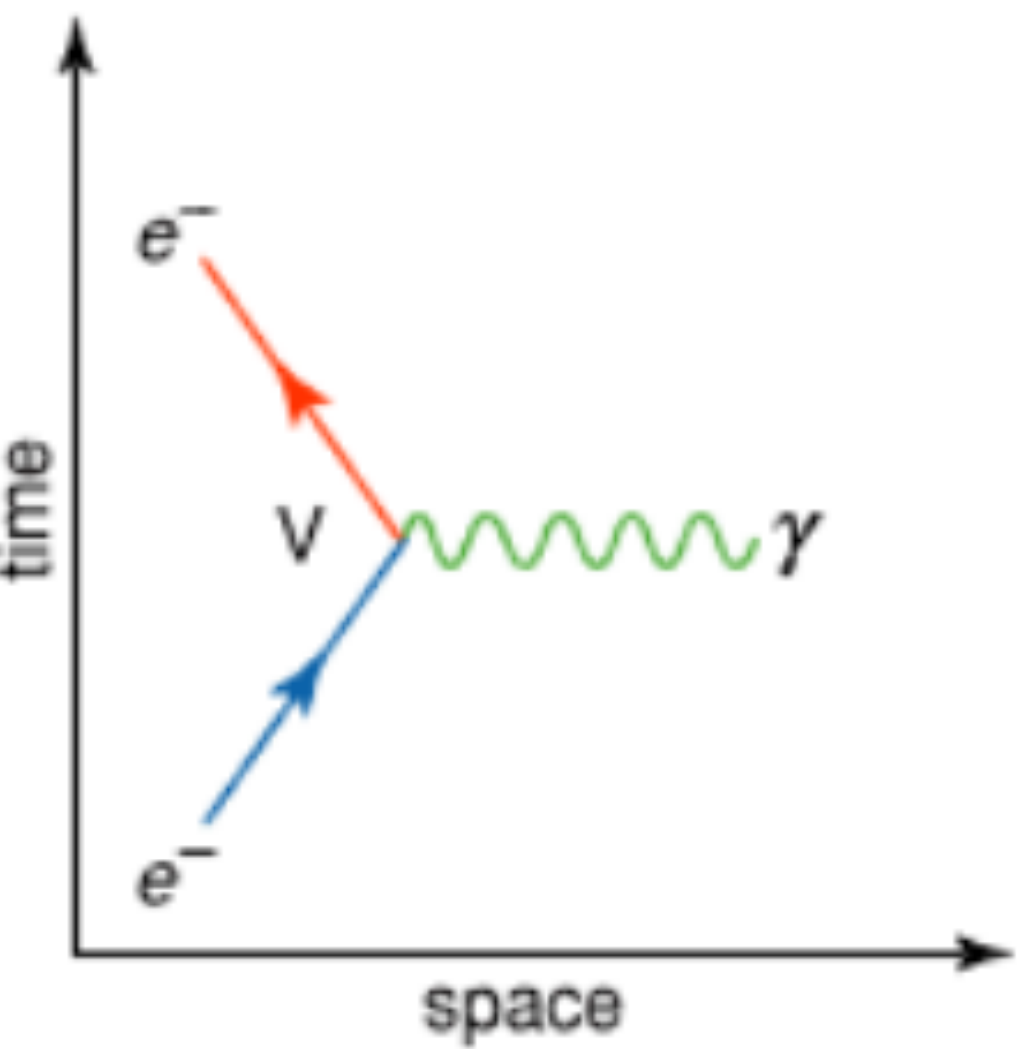
$$\phi(x) = \int \frac{d^3k}{\sqrt{(2\pi)^3 2k^0}} (e^{-ik \cdot x} a(\mathbf{k}) + e^{ik \cdot x} a^\dagger(\mathbf{k}))$$

R. Feynman

Introducción Quantum Field Theory

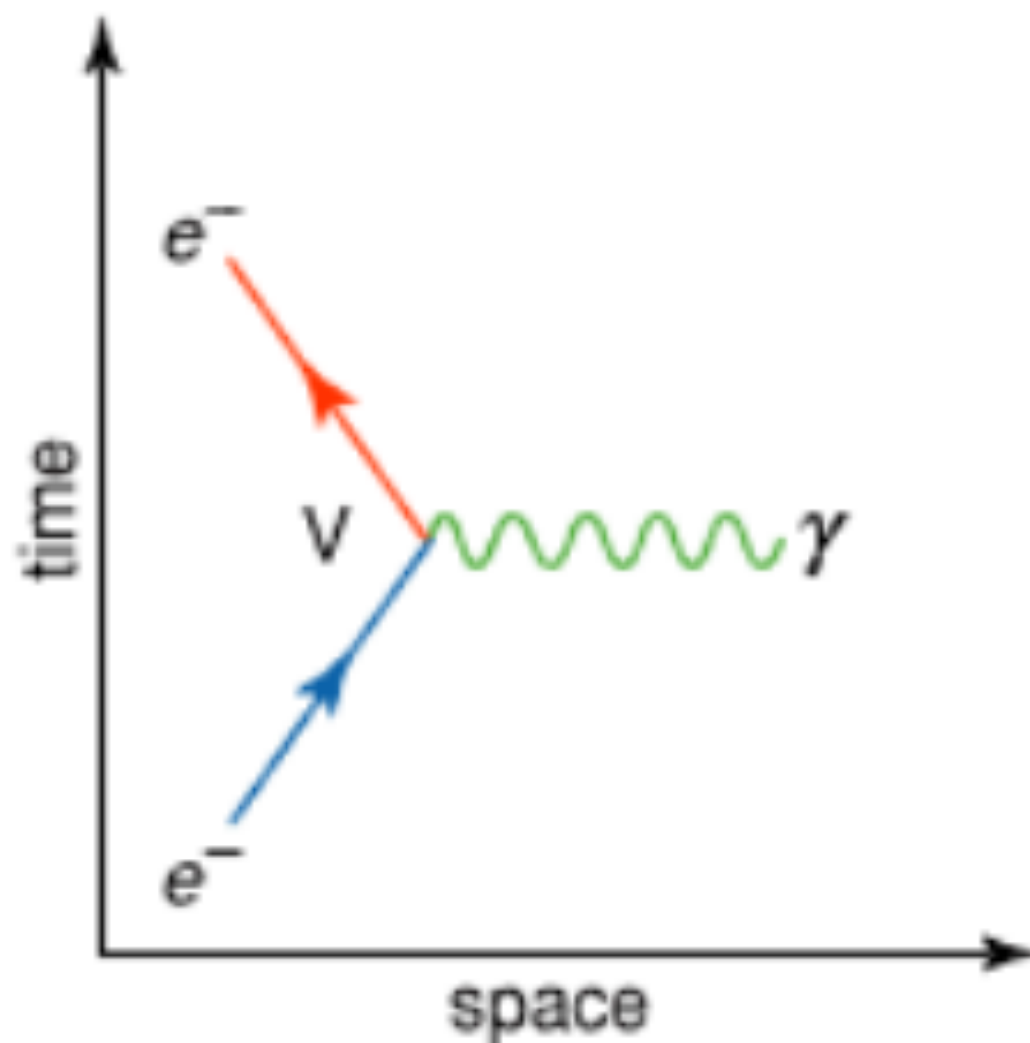


$$\phi(x) = \int \frac{d^3k}{\sqrt{(2\pi)^3 2k^0}} (e^{-ik \cdot x} a(\mathbf{k}) + e^{ik \cdot x} a^\dagger(\mathbf{k}))$$

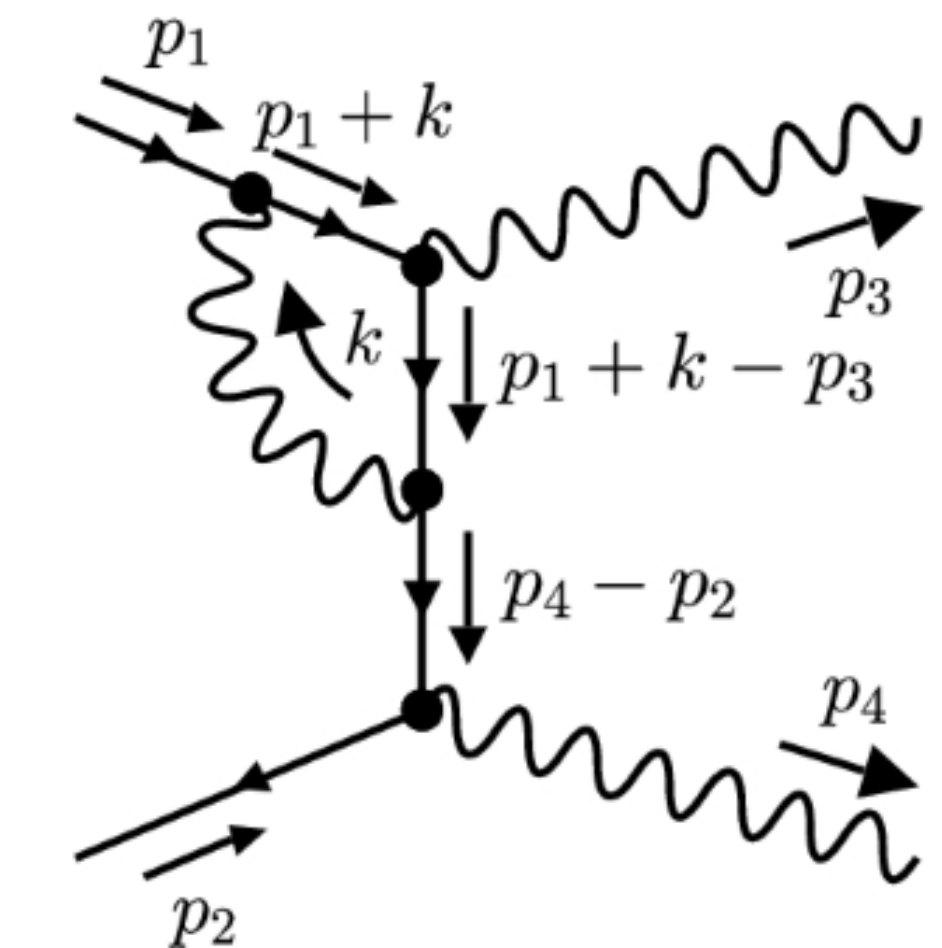
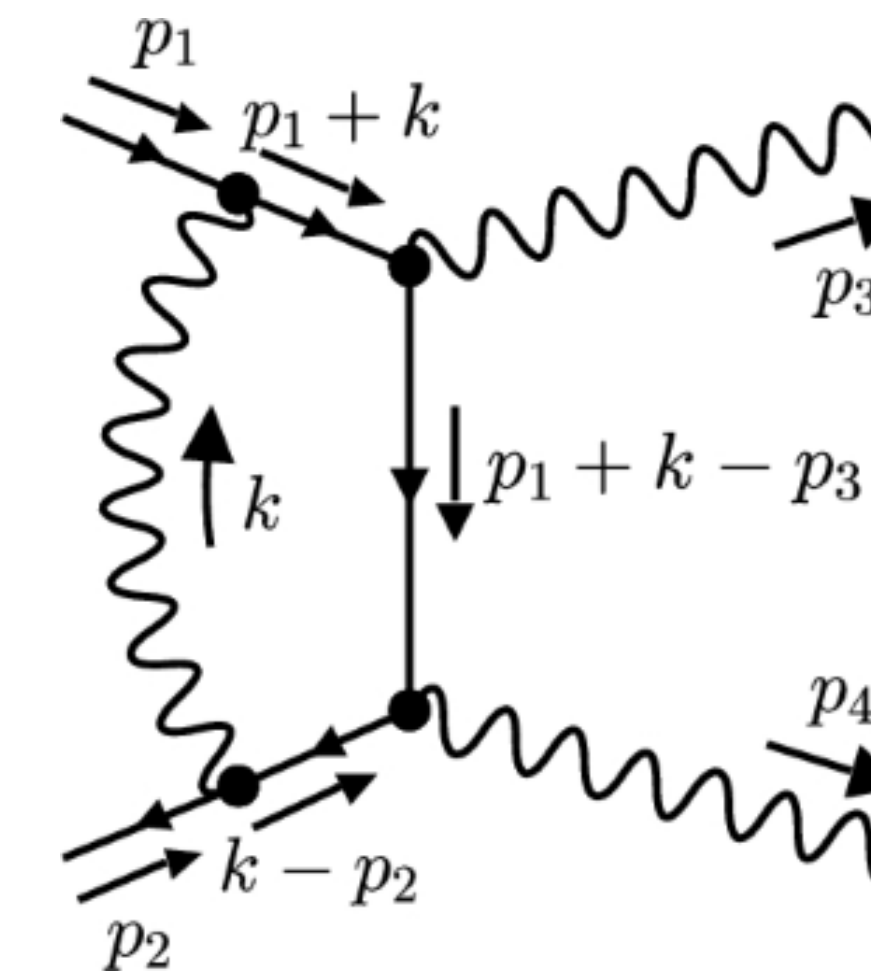


R. Feynman

Introducción Quantum Field Theory

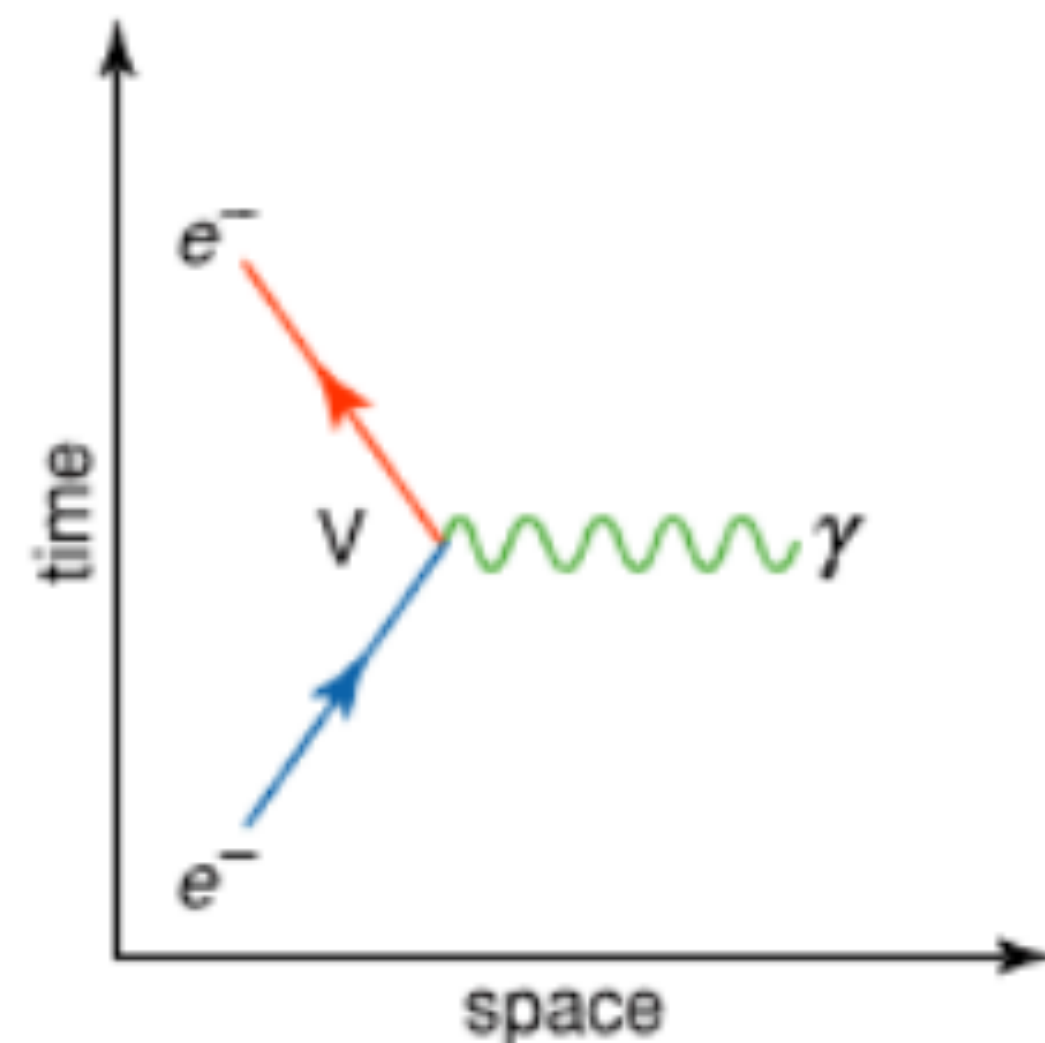


$$\phi(x) = \int \frac{d^3k}{\sqrt{(2\pi)^3 2k^0}} (e^{-ik \cdot x} a(\mathbf{k}) + e^{ik \cdot x} a^\dagger(\mathbf{k}))$$

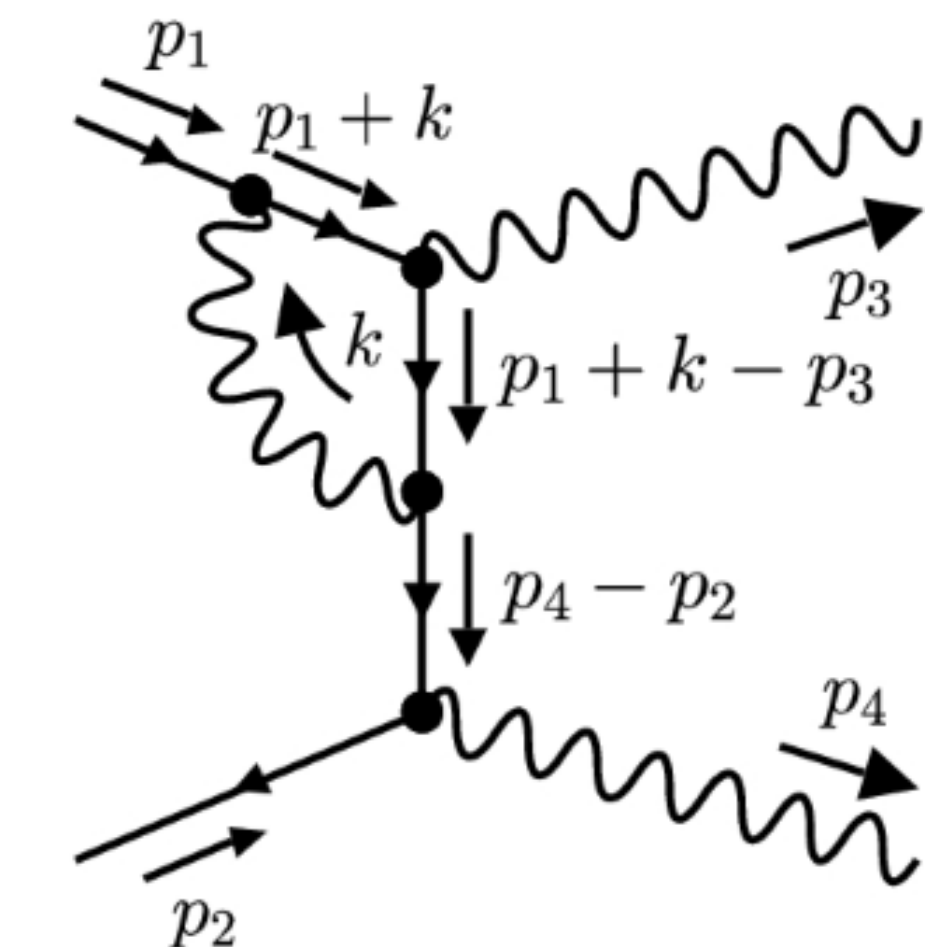
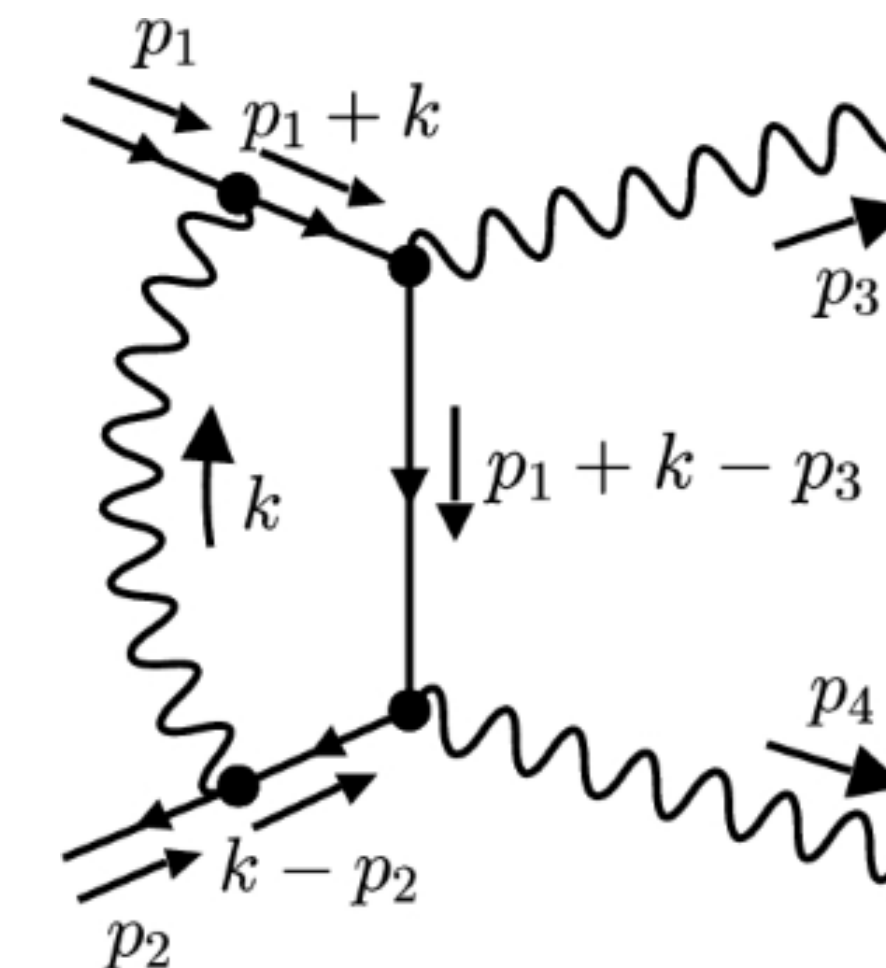


R. Feynman

Introducción Quantum Field Theory



$$\phi(x) = \int \frac{d^3k}{\sqrt{(2\pi)^3 2k^0}} (e^{-ik \cdot x} a(\mathbf{k}) + e^{ik \cdot x} a^\dagger(\mathbf{k}))$$



R. Feynman

Introducción

The Standard Model



S. Weinberg S. Glashow. A. Salam

Introducción

The Standard Model



S. Weinberg S. Glashow. A. Salam

Introducción

The Standard Model



S. Weinberg

S. Glashow. A. Salam



A MODEL OF LEPTONS*

Steven Weinberg†
Laboratory for Nuclear Science and Physics Department,
Massachusetts Institute of Technology, Cambridge, Massachusetts
(Received 17 October 1967)

and on a right-handed singlet

$$R \equiv [\frac{1}{2}(1-\gamma_5)]e.$$

Leptons interact only with photons, and with the intermediate bosons that presumably mediate weak interactions. What could be more natural than to unite¹ these spin-one bosons into a multiplet of gauge fields? Standing in the way of this synthesis are the obvious differences in the masses of the photon and intermediate meson, and in their couplings. We might hope to understand these differences

The largest group that leaves invariant the kinematic terms $-\bar{L}\gamma^\mu\partial_\mu L - \bar{R}\gamma^\mu\partial_\mu R$ of the Lagrangian consists of the electronic isospin \vec{T} acting on L , plus the numbers N_L , N_R of left- and right-handed electron-type leptons. As far

Introducción

The Standard Model

If $g \gg e$ then $g \gg g'$, and this is just the usual e - ν scattering matrix element times an extra factor $\frac{3}{2}$. If $g \simeq e$ then $g \ll g'$, and the vector interaction is multiplied by a factor $-\frac{1}{2}$ rather than $\frac{3}{2}$. Of course our model has too many arbitrary features for these predictions to be



S. Weinberg

S. Glashow. A. Salam



A MODEL OF LEPTONS*

Steven Weinberg†
Laboratory for Nuclear Science and Physics Department,
Massachusetts Institute of Technology, Cambridge, Massachusetts
(Received 17 October 1967)

and on a right-handed singlet

$$R \equiv [\frac{1}{2}(1-\gamma_5)]e.$$

only with photons, and with
weak interactions. What could be more
natural than to unite¹ these spin-one bosons
into a multiplet of gauge fields? Standing in
the way of this synthesis are the obvious dif-
ferences in the masses of the photon and inter-
mediate meson, and in their couplings. We
might hope to understand these differences

The largest group that leaves invariant the kin-
ematic terms $-\bar{L}\gamma^\mu\partial_\mu L - \bar{R}\gamma^\mu\partial_\mu R$ of the Lagrang-
ian consists of the electronic isospin \vec{T} acting
on L , plus the numbers N_L , N_R of left- and
right-handed electron-type leptons. As far

Introducción

The Standard Model

If $g \gg e$ then $g \gg g'$, and this is just the usual e - ν scattering matrix element times an extra factor $\frac{3}{2}$. If $g \simeq e$ then $g \ll g'$, and the vector interaction is multiplied by a factor $-\frac{1}{2}$ rather than $\frac{3}{2}$. Of course our model has too many arbitrary features for these predictions to be



S. Weinberg

S. Glashow.

taken very seriously, but it is worth keeping in mind that the standard calculation⁸ of the electron-neutrino cross section may well be wrong.

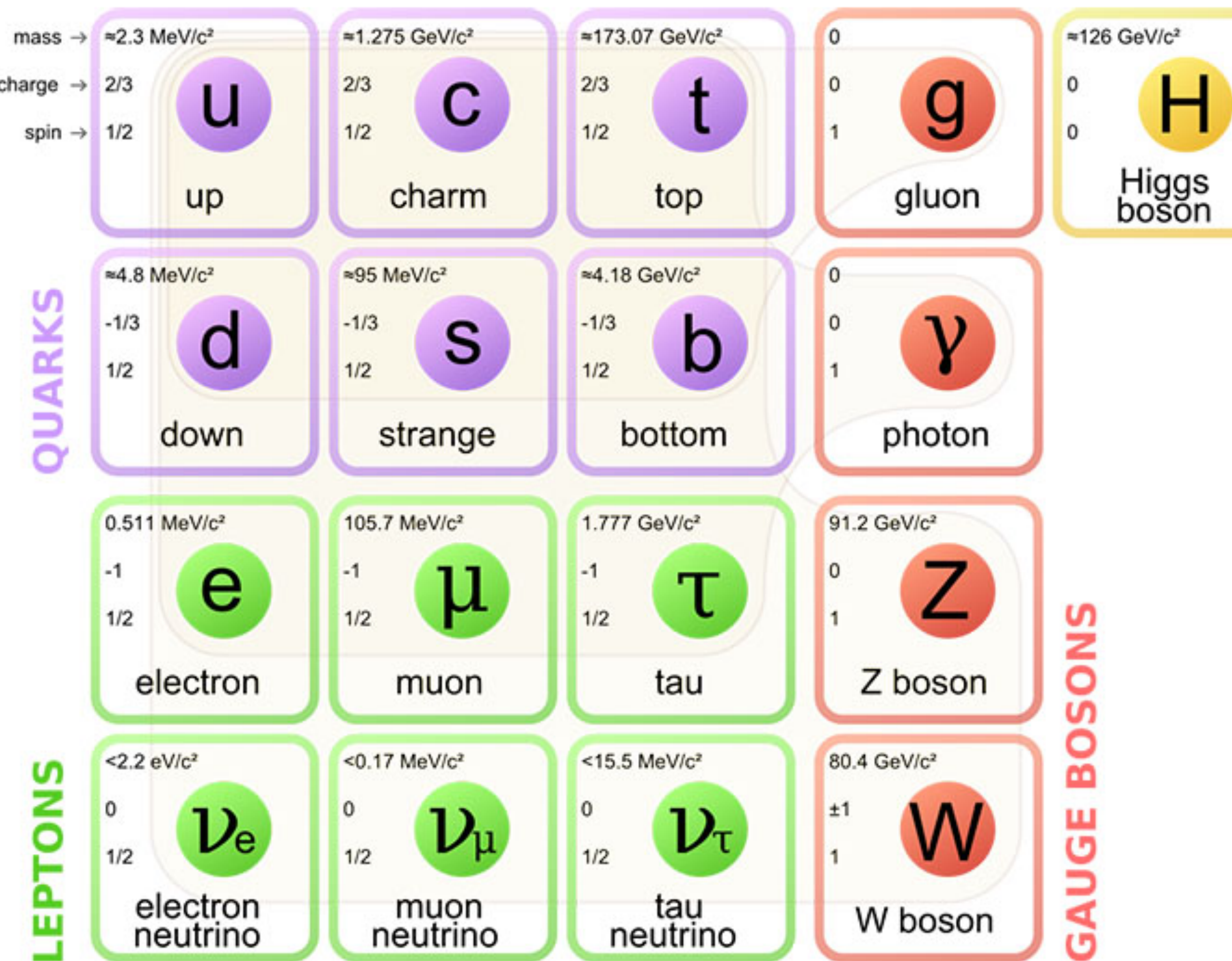


A MODEL OF LEPTONS*
Laboratory for Nuclear Science
Massachusetts Institute of Technology
Steven Weinberg

(2)
e-
numbers N_L , N_R of left- and right-handed electron-type leptons. As far as Lagrangian
isospin T acting

Introducción

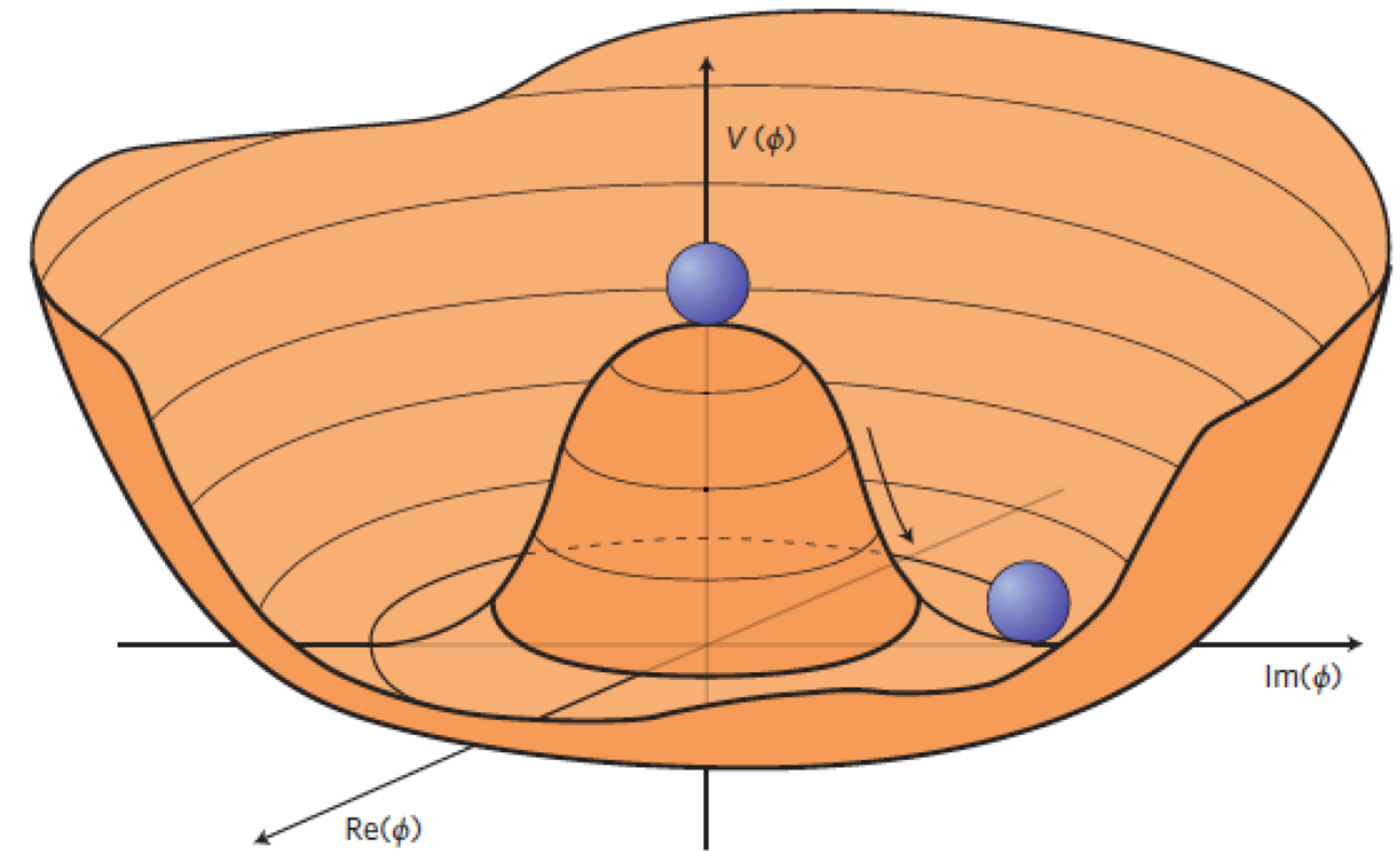
The Standard Model



Introducción

The Standard Model

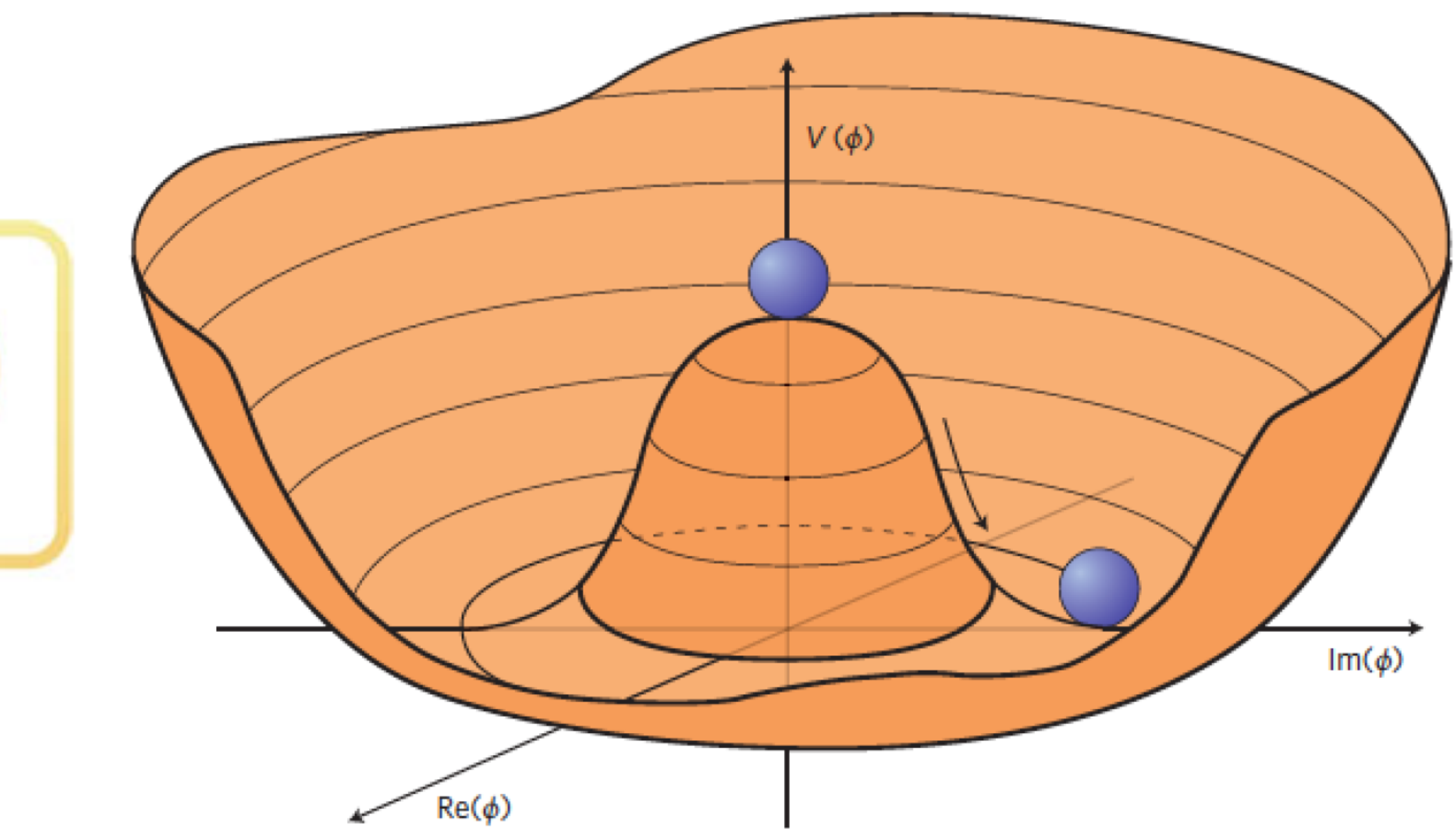
	mass → $\approx 2.3 \text{ MeV}/c^2$ charge → $2/3$ spin → $1/2$ up	mass → $\approx 1.275 \text{ GeV}/c^2$ charge → $2/3$ spin → $1/2$ charm	mass → $\approx 173.07 \text{ GeV}/c^2$ charge → $2/3$ spin → $1/2$ top	mass → 0 charge → 0 spin → 0 gluon	mass → $\approx 126 \text{ GeV}/c^2$ charge → 0 spin → 0 Higgs boson
QUARKS	mass → $\approx 4.8 \text{ MeV}/c^2$ charge → $-1/3$ spin → $1/2$ down	mass → $\approx 95 \text{ MeV}/c^2$ charge → $-1/3$ spin → $1/2$ strange	mass → $\approx 4.18 \text{ GeV}/c^2$ charge → $-1/3$ spin → $1/2$ bottom	mass → 0 charge → 0 spin → 1 photon	
	mass → $0.511 \text{ MeV}/c^2$ charge → -1 spin → $1/2$ electron	mass → $105.7 \text{ MeV}/c^2$ charge → -1 spin → $1/2$ muon	mass → $1.777 \text{ GeV}/c^2$ charge → -1 spin → $1/2$ tau	mass → $91.2 \text{ GeV}/c^2$ charge → 0 spin → 1 Z boson	GAUGE BOSONS
LEPTONS	mass → $<2.2 \text{ eV}/c^2$ charge → 0 spin → $1/2$ electron neutrino	mass → $<0.17 \text{ MeV}/c^2$ charge → 0 spin → $1/2$ muon neutrino	mass → $<15.5 \text{ MeV}/c^2$ charge → 0 spin → $1/2$ tau neutrino	mass → $80.4 \text{ GeV}/c^2$ charge → ± 1 spin → 1 W boson	



Introducción

The Standard Model

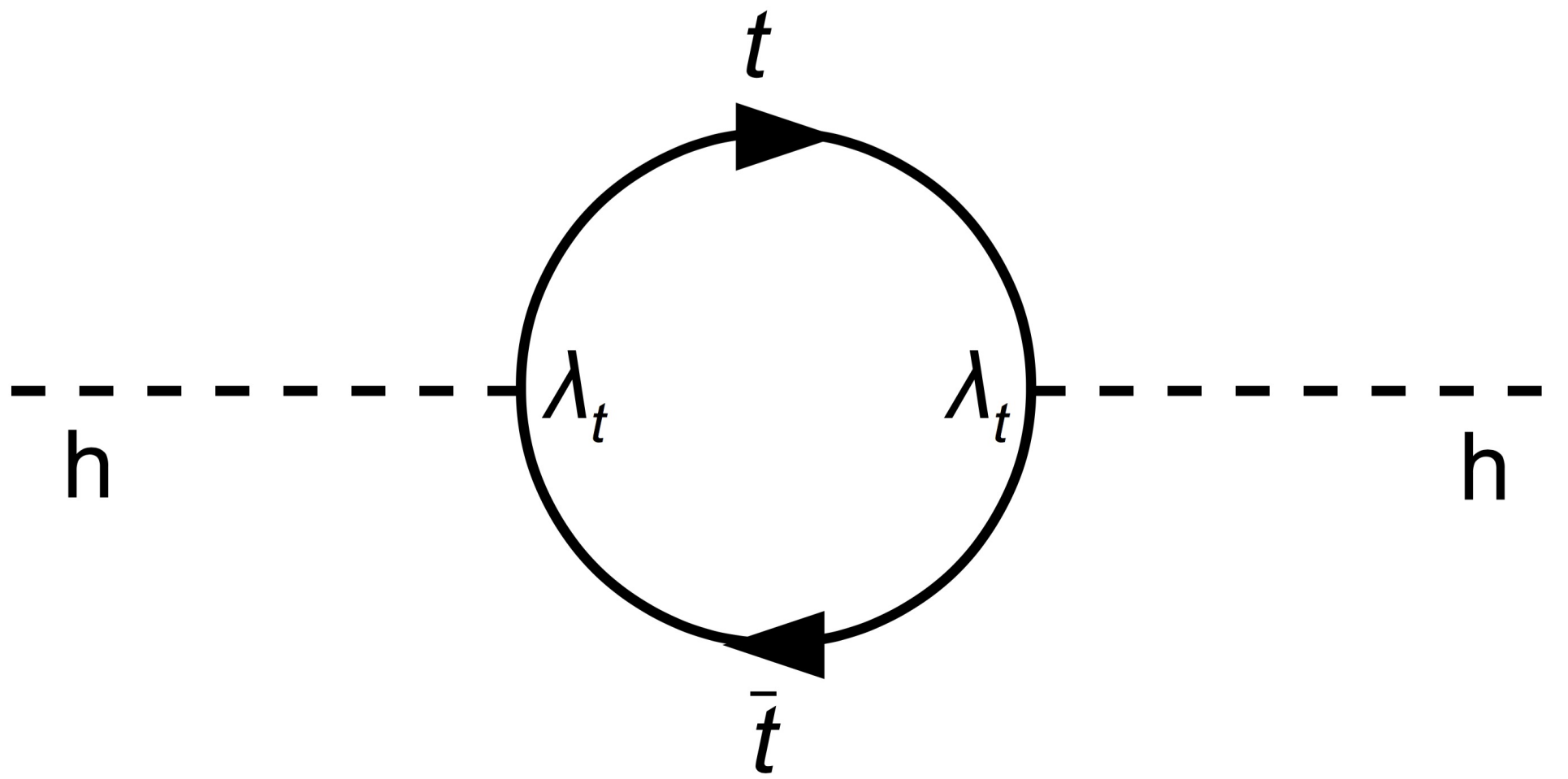
mass → ≈2.3 MeV/c ²	≈1.275 GeV/c ²	≈173.07 GeV/c ²	0	≈126 GeV/c ²
charge → 2/3	2/3	2/3	0	0
spin → 1/2	1/2	1/2	0	0
up	charm	top	gluon	Higgs boson
≈4.8 MeV/c ²	≈95 MeV/c ²	≈4.18 GeV/c ²	0	0
-1/3	-1/3	-1/3	0	0
1/2	1/2	1/2	1	1
down	strange	bottom	photon	
0.511 MeV/c ²	105.7 MeV/c ²	1.777 GeV/c ²	91.2 GeV/c ²	
-1	-1	-1	0	
1/2	1/2	1/2	1	
electron	muon	tau	Z boson	
<2.2 eV/c ²	<0.17 MeV/c ²	<15.5 MeV/c ²	80.4 GeV/c ²	
0	0	0	±1	
1/2	1/2	1/2	1	
ν _e	ν _μ	ν _τ	W boson	
electron neutrino	muon neutrino	tau neutrino		



$$\begin{aligned} \mathcal{L} = & -\frac{1}{4}F_{\mu\nu}F^{\mu\nu} + i\bar{\psi}D\psi + h \cdot c. \\ & + \bar{\psi}_i y_{ij} \psi_j \phi + h.c. + |D_\mu \phi|^2 - V(\phi) \end{aligned}$$

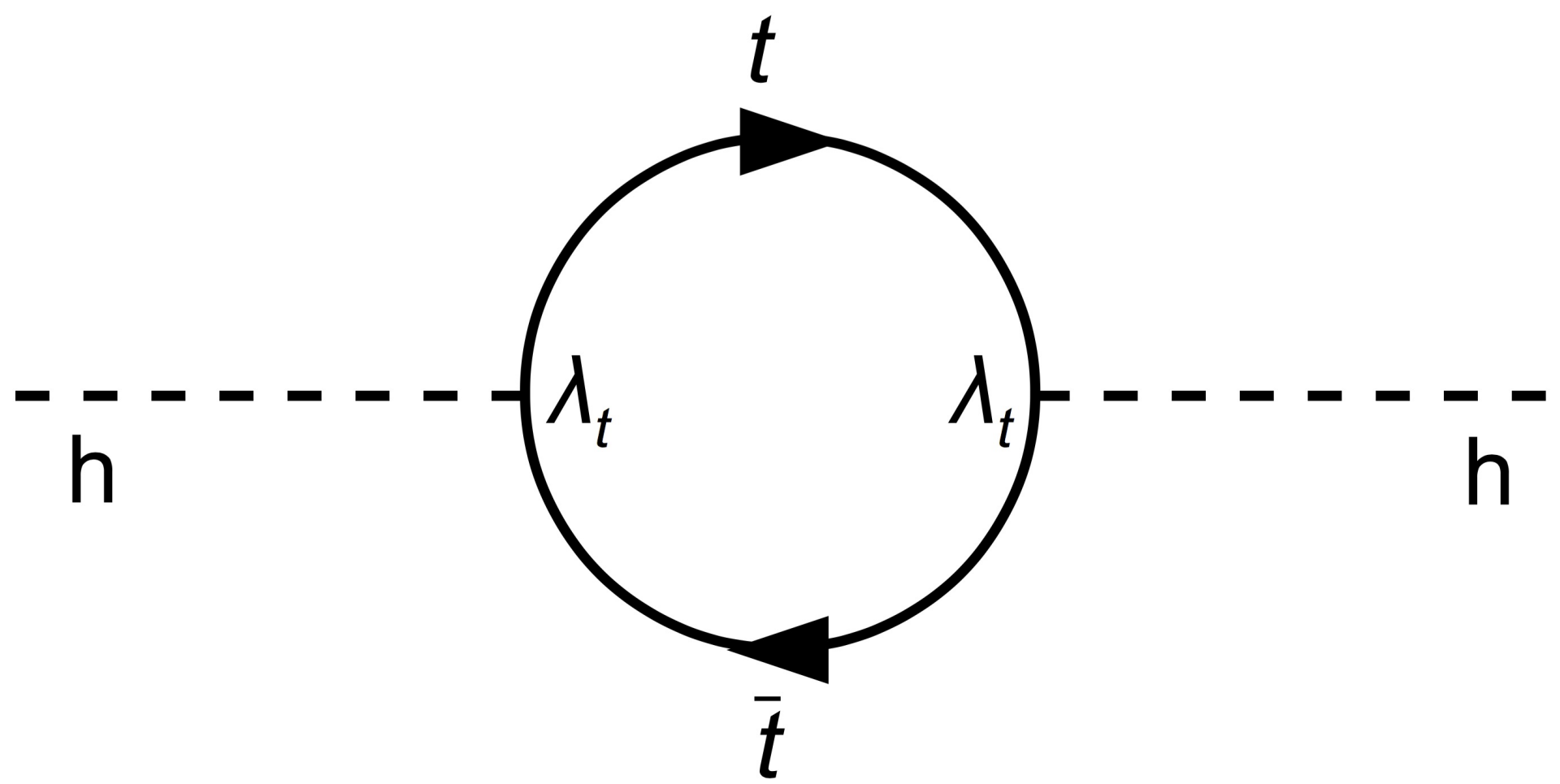
Introducción

Beyond the Standard Model



Introducción

Beyond the Standard Model

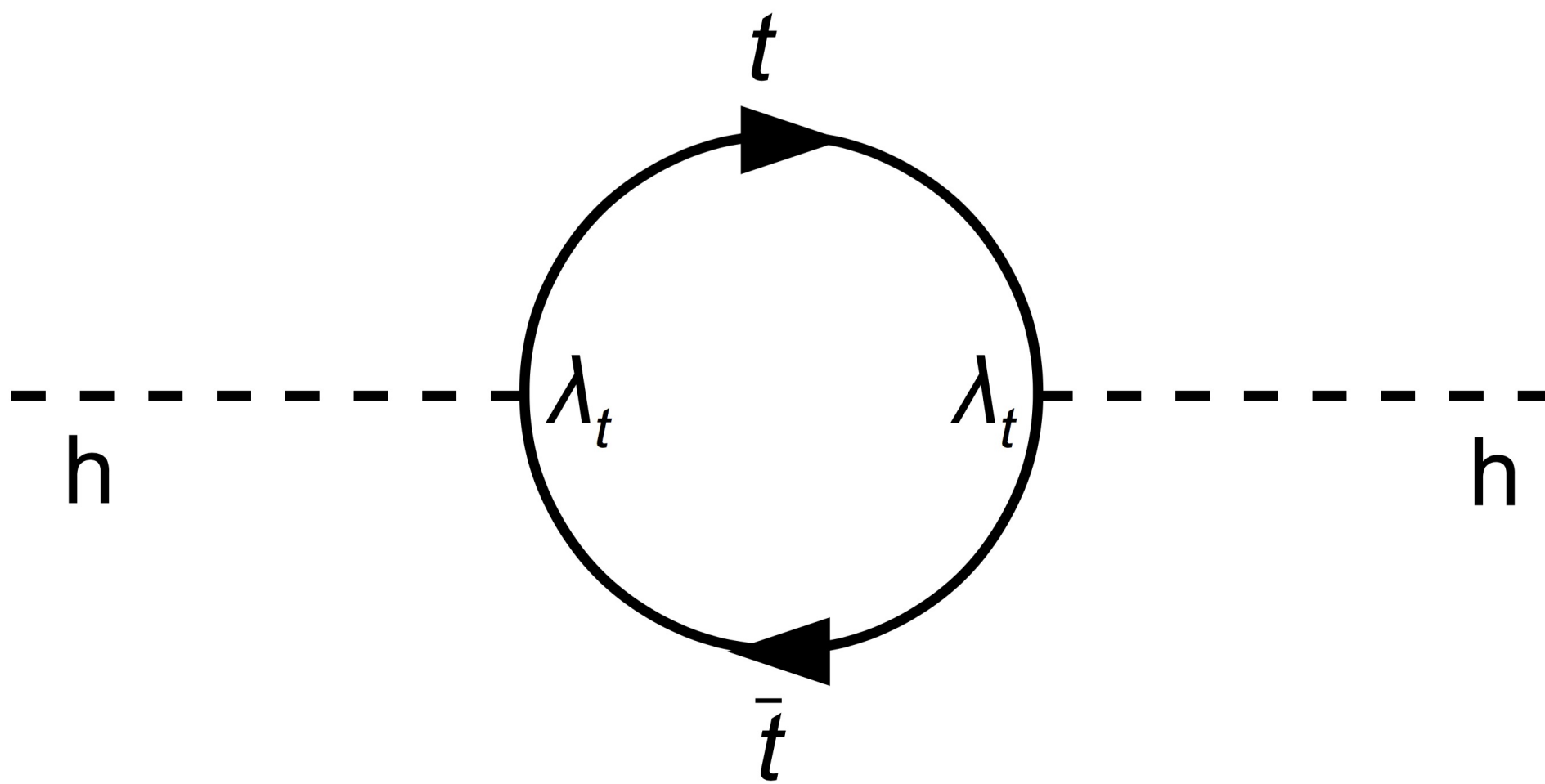


$$\delta m_h^2 = \frac{|y_t|^2}{16\pi^2} \left[-2\Lambda^2 + 6m_t^2 \ln(\Lambda/m_t) \right]$$

Introducción

Beyond the Standard Model

Problema de la Jerarquía

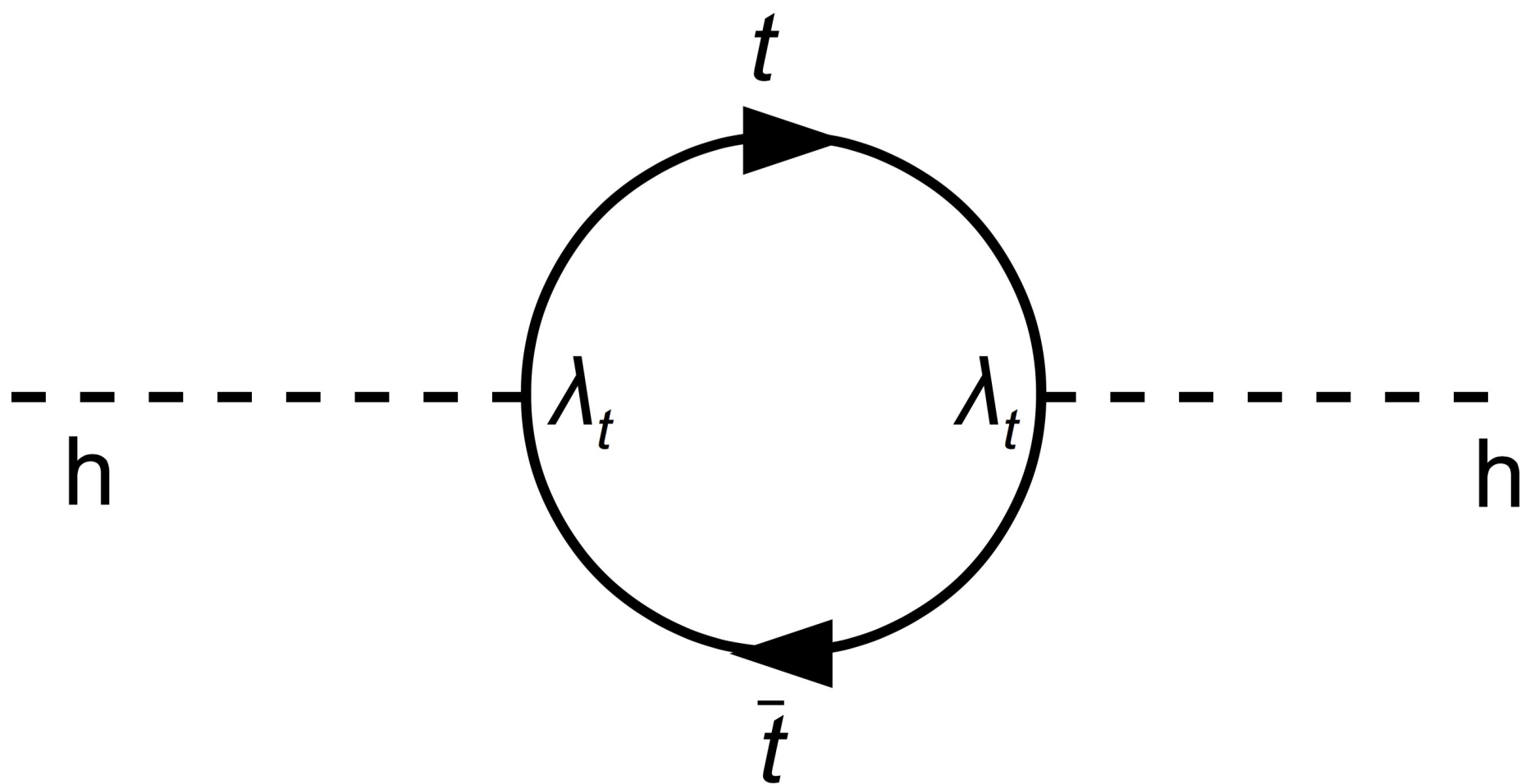


$$\delta m_h^2 = \frac{|y_t|^2}{16\pi^2} \left[-2\Lambda^2 + 6m_t^2 \ln(\Lambda/m_t) \right]$$

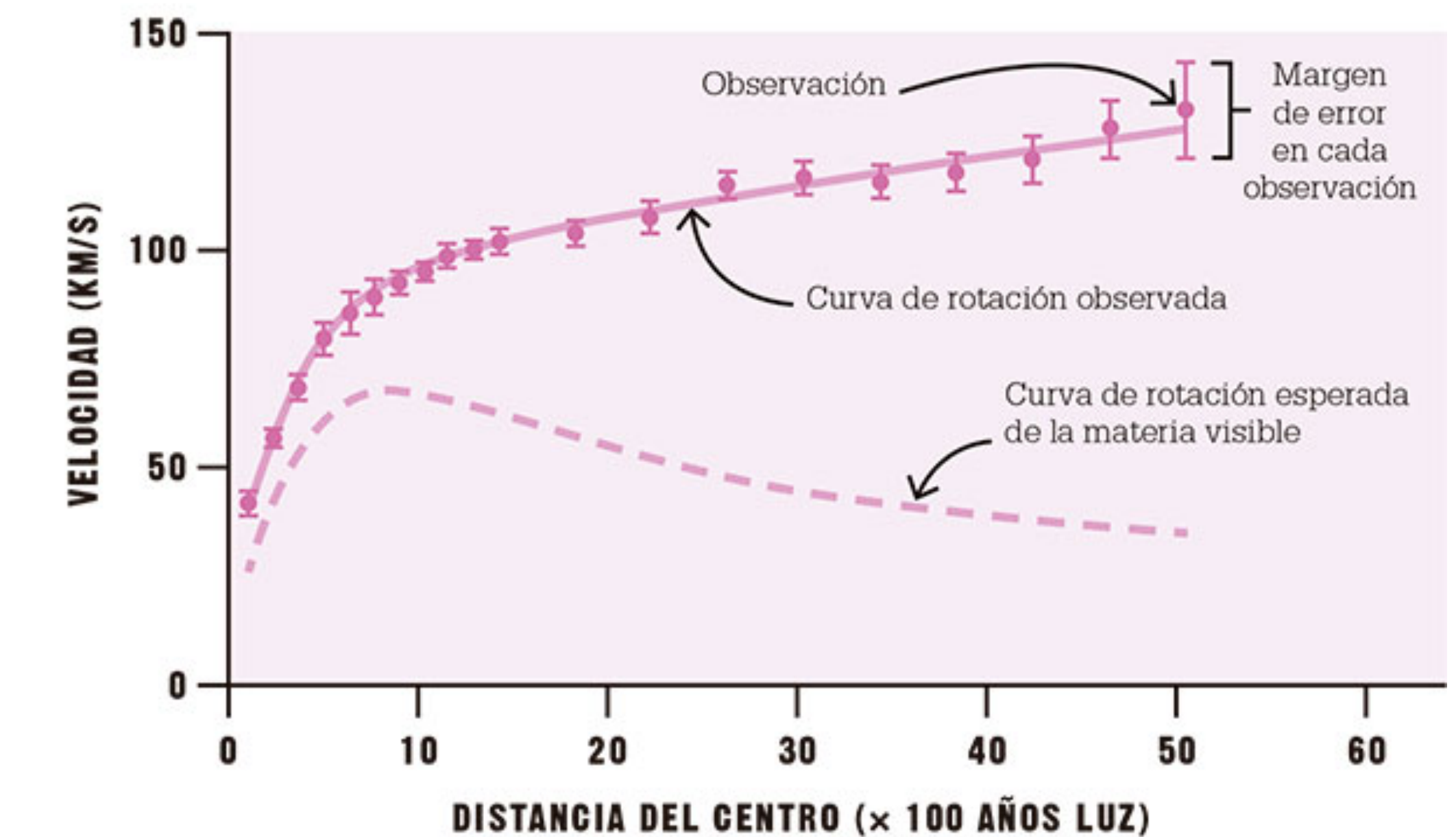
Introducción

Beyond the Standard Model

Problema de la Jerarquía



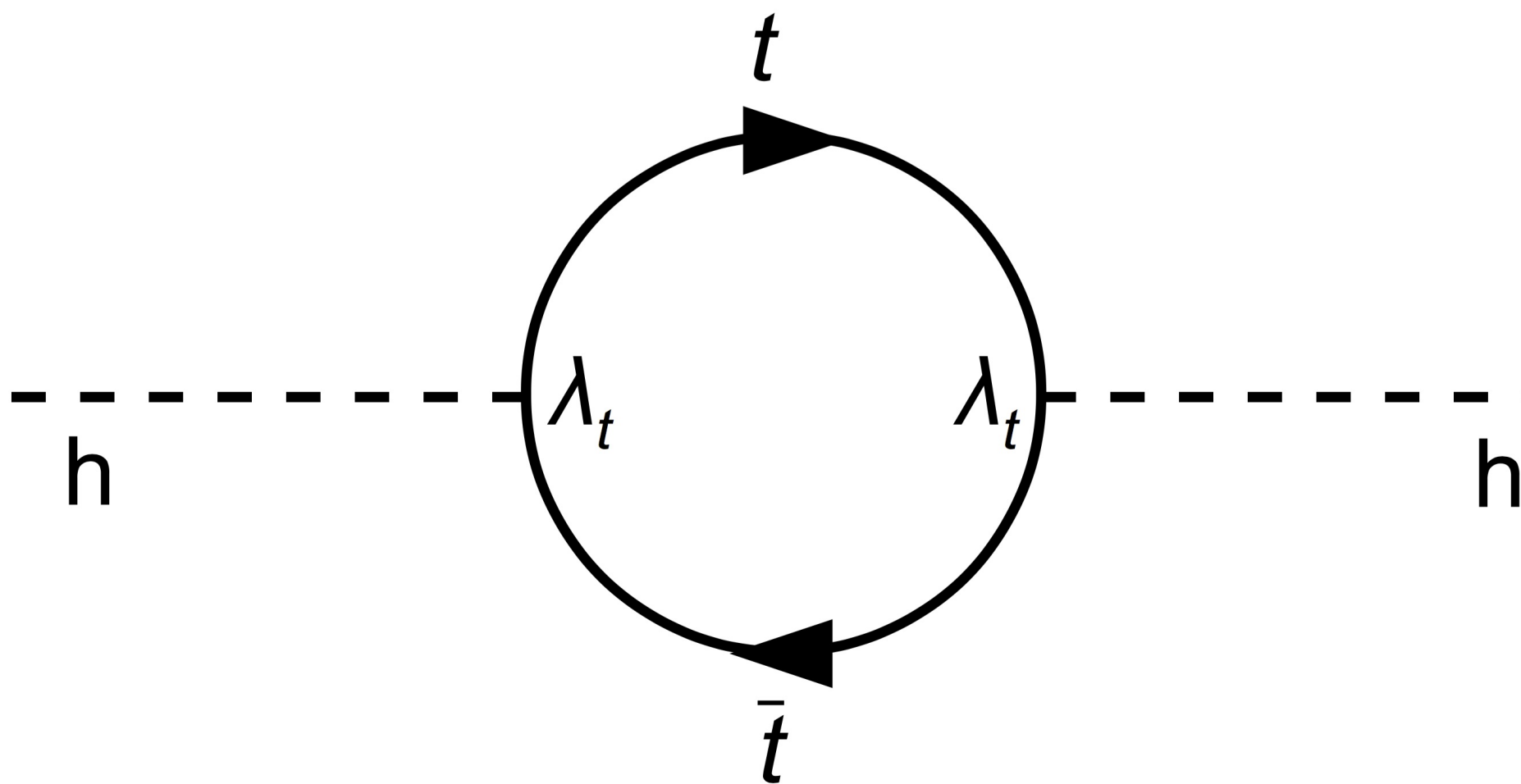
$$\delta m_h^2 = \frac{|y_t|^2}{16\pi^2} \left[-2\Lambda^2 + 6m_t^2 \ln \left(\frac{\Lambda}{m_t} \right) \right]$$



Introducción

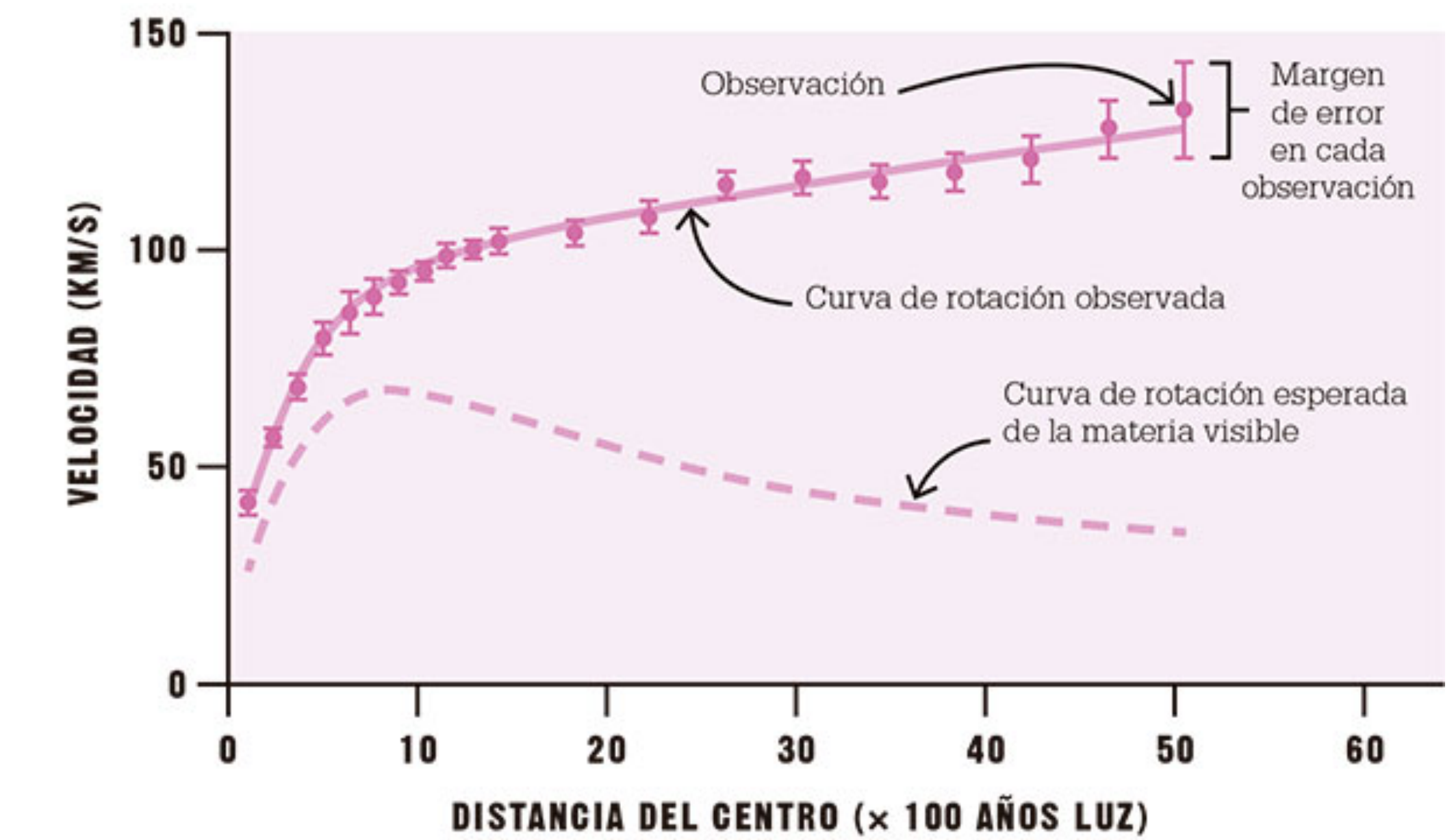
Beyond the Standard Model

Problema de la Jerarquía



Dark Matter

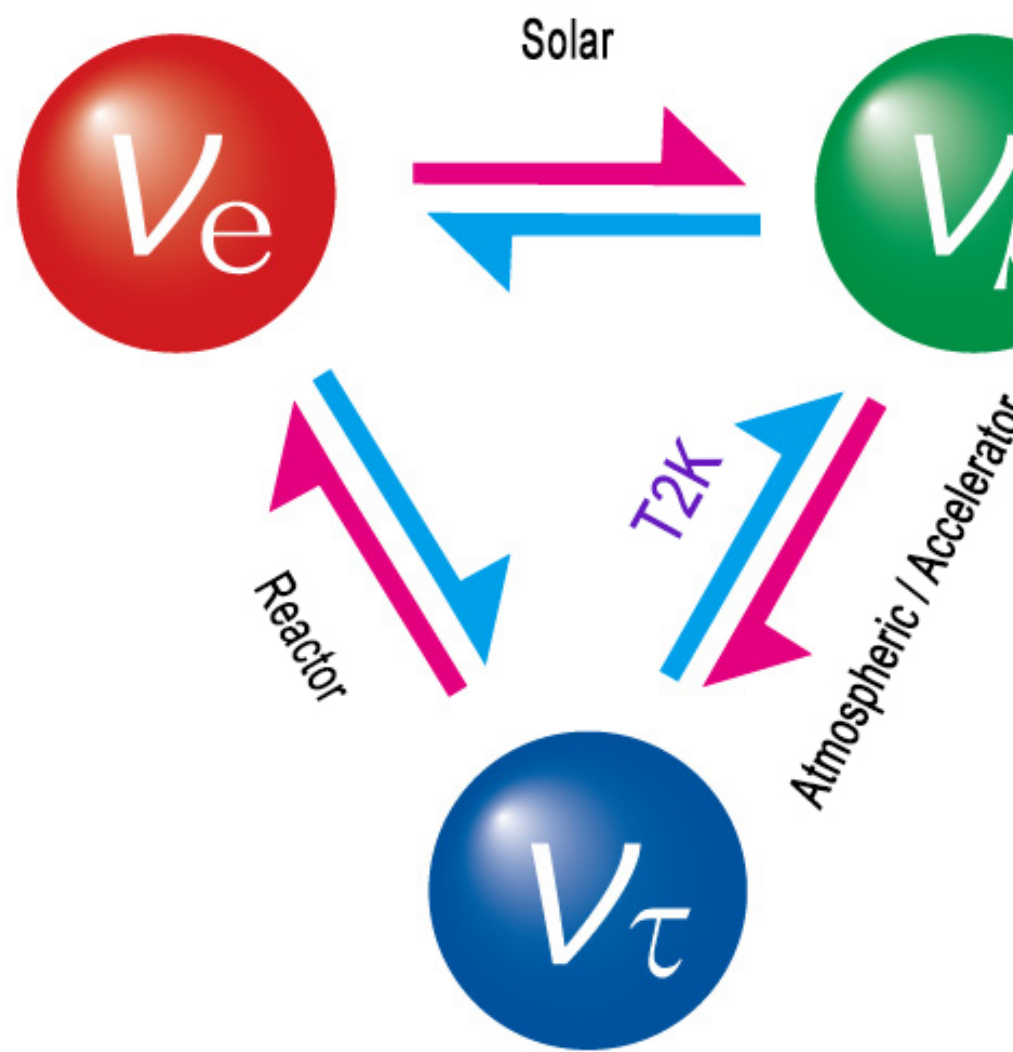
$$\delta m_h^2 = \frac{|y_t|^2}{16\pi^2} \left[-2\Lambda^2 + 6m_t^2 \ln \left(\frac{\Lambda}{m_t} \right) \right]$$



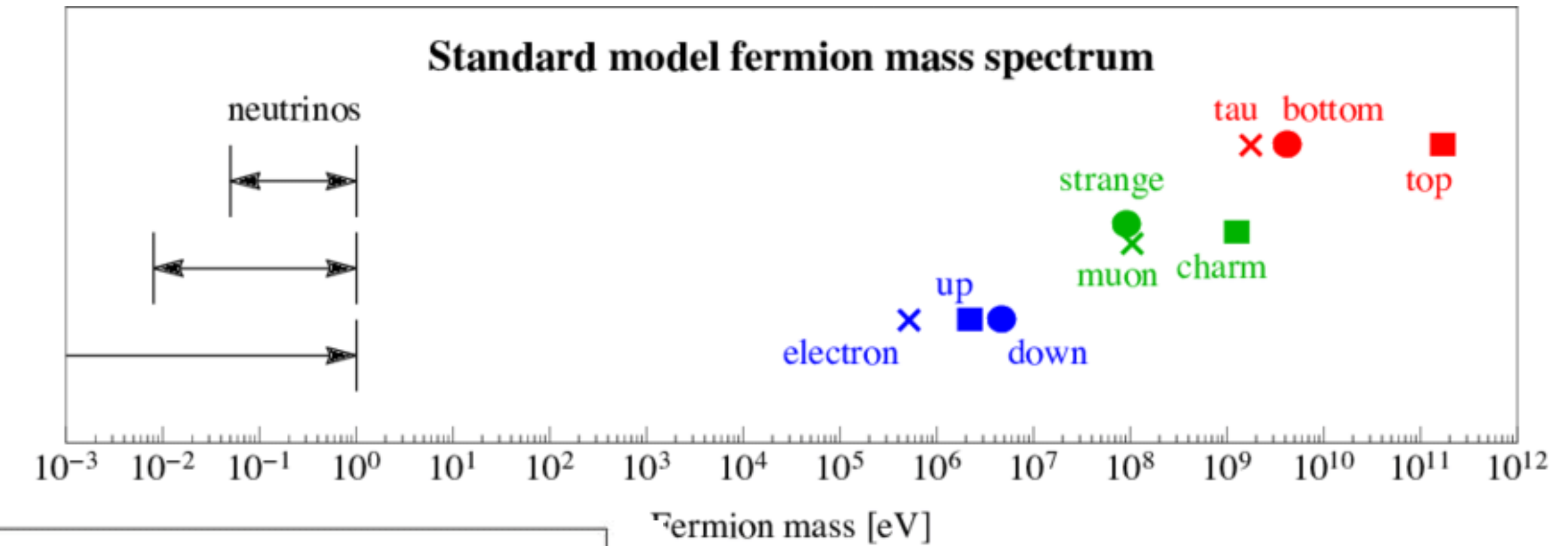
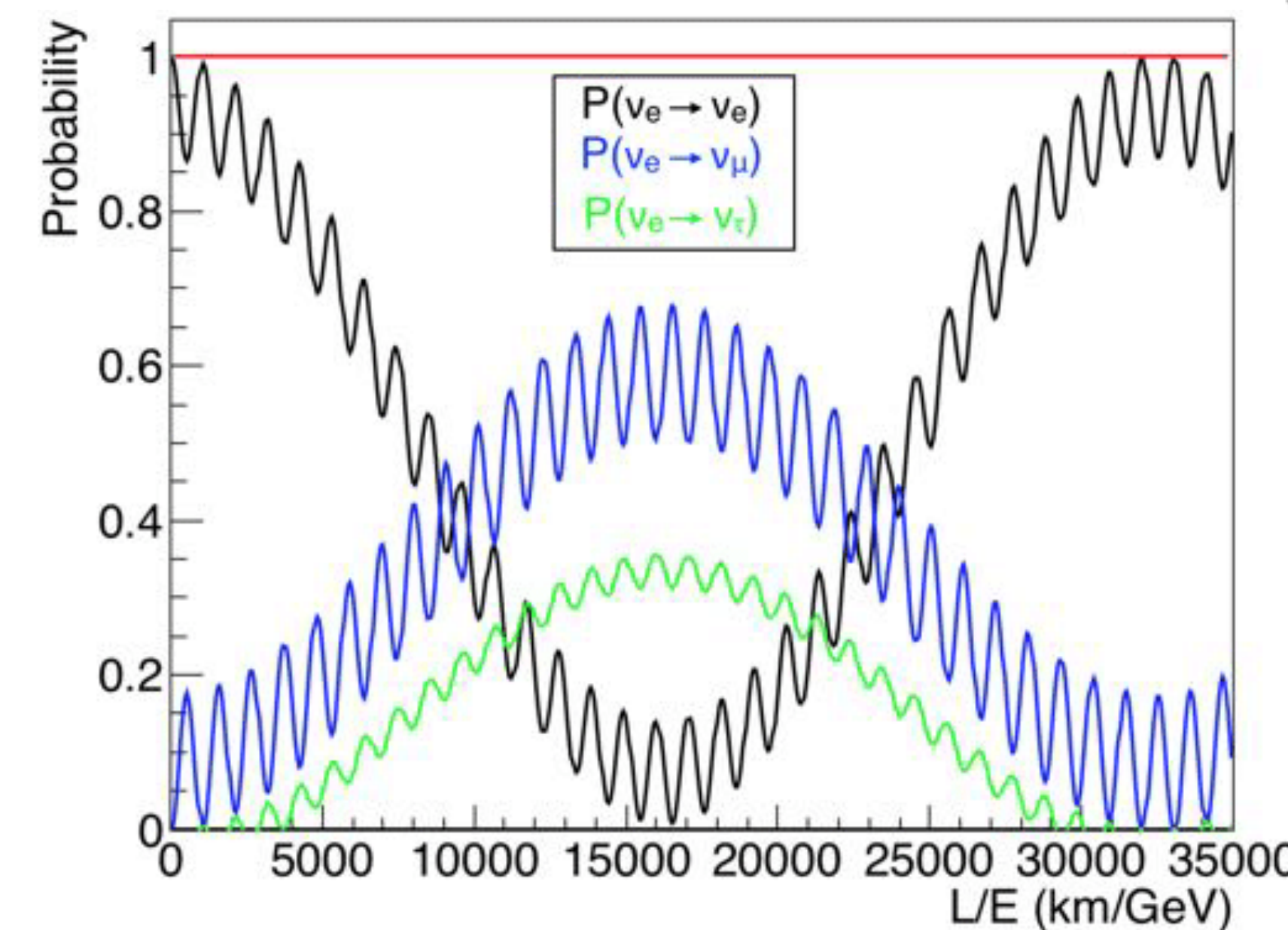
Introducción

Beyond the Standard Model

Problema de la masa de los neutrinos



Neutrino oscillation between three generations

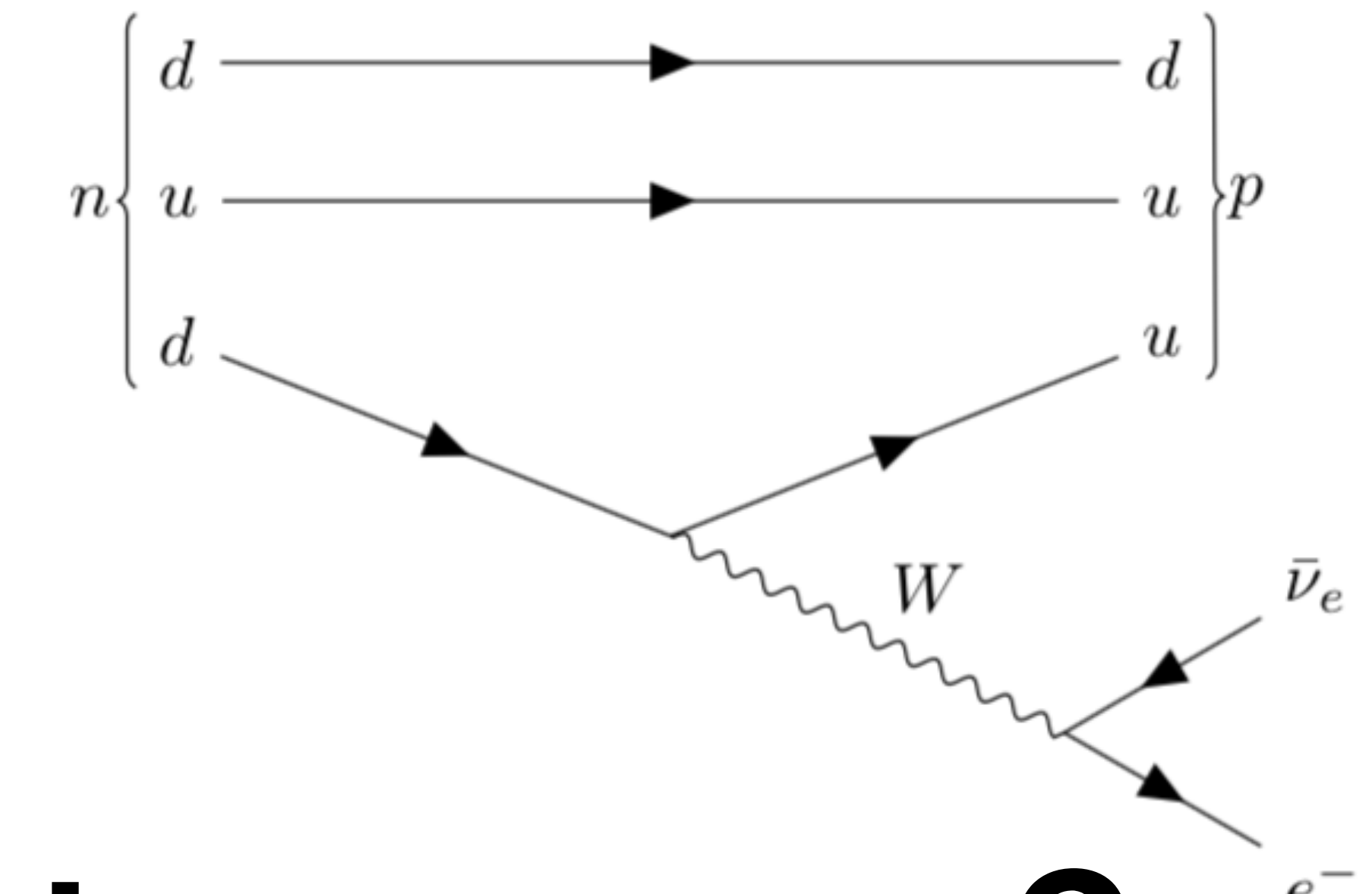
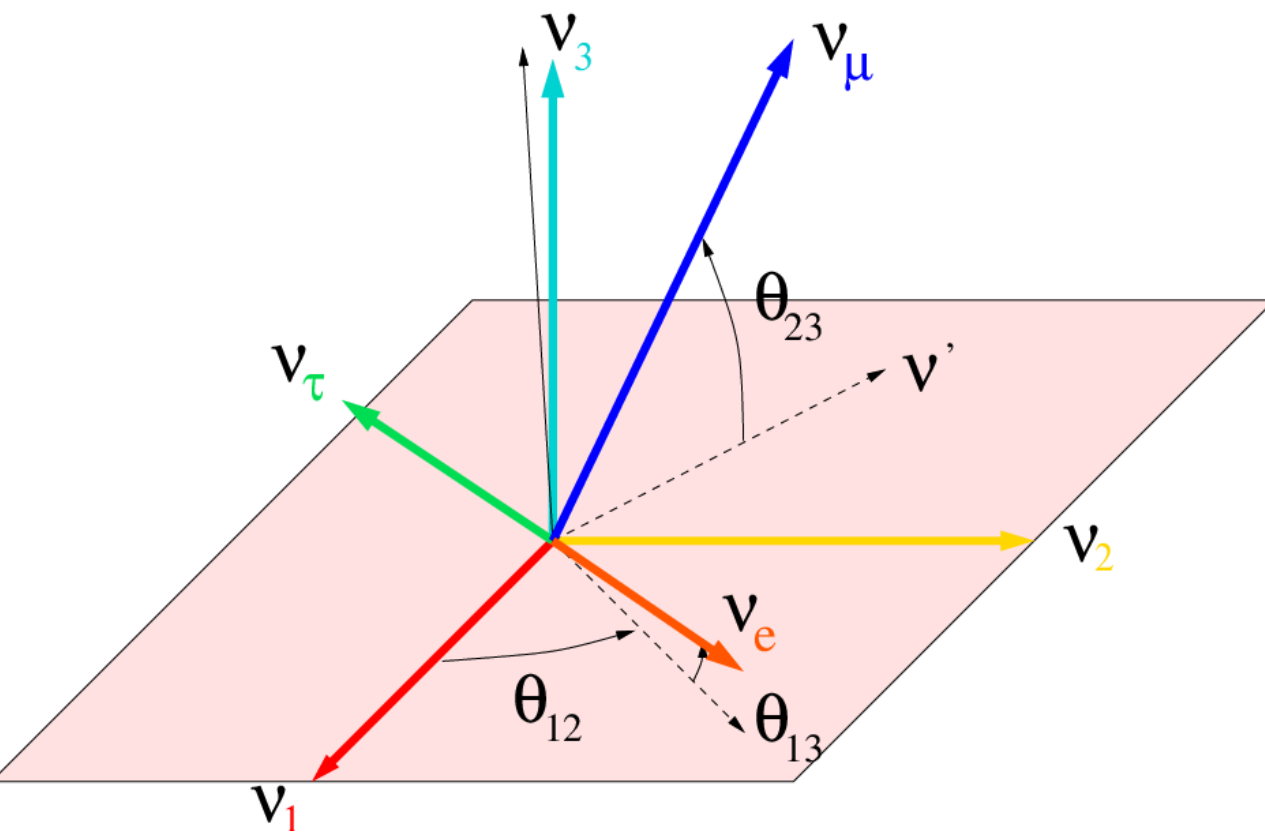


$$\mathcal{L} = -\bar{\psi}_4 \gamma_\mu F_{\mu\nu} F^{\mu\nu} + h.c.$$

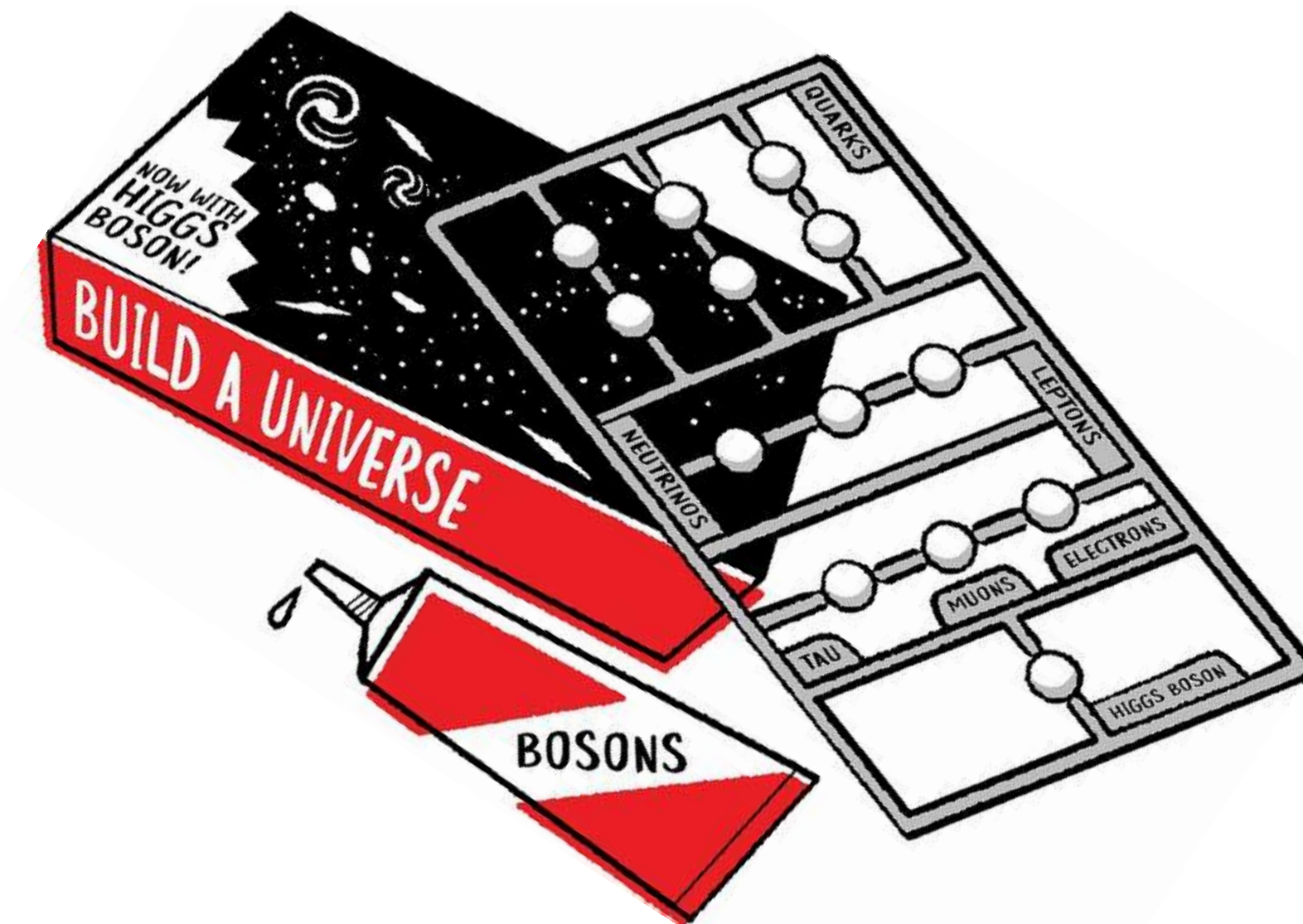
$$+ i \bar{\psi} \not{\partial} \psi + h.c.$$

$$+ \bar{\psi}_i \gamma_{ij} \psi_j \phi + h.c.$$

$$+ D_\mu \phi^\dagger \phi - V(\phi)$$



Qué rol cumplen los teoremas?

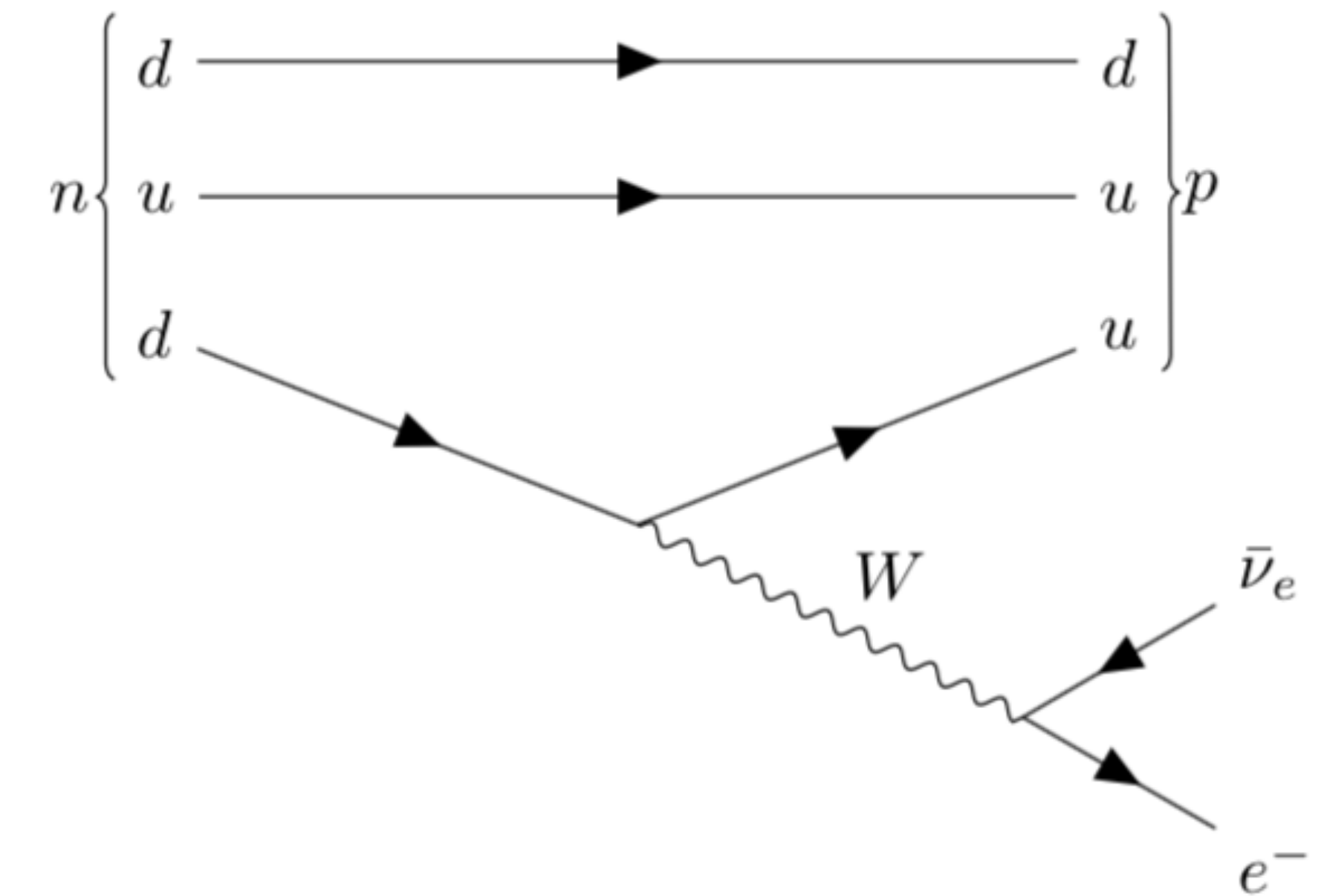
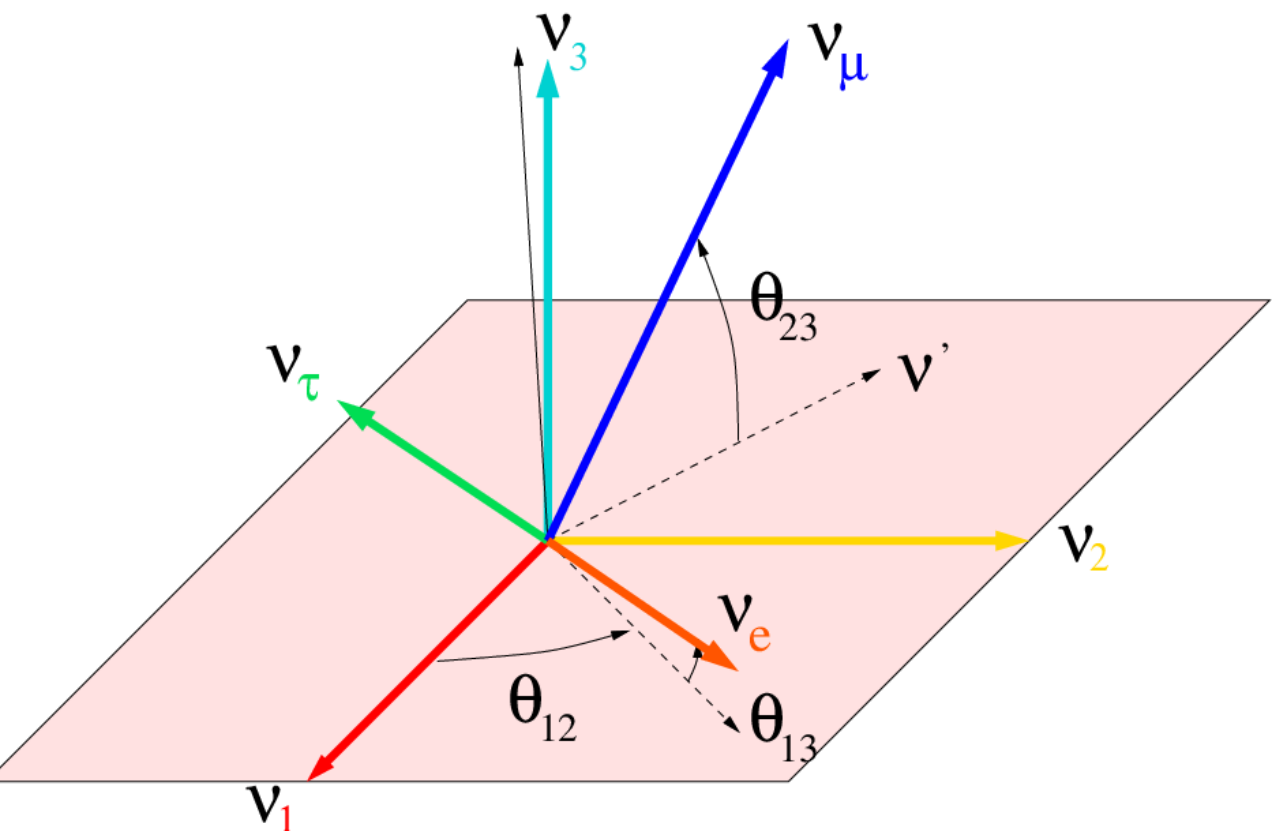


$$\mathcal{L} = -\gamma_\mu F_{\mu\nu} F^{\mu\nu} + h.c.$$

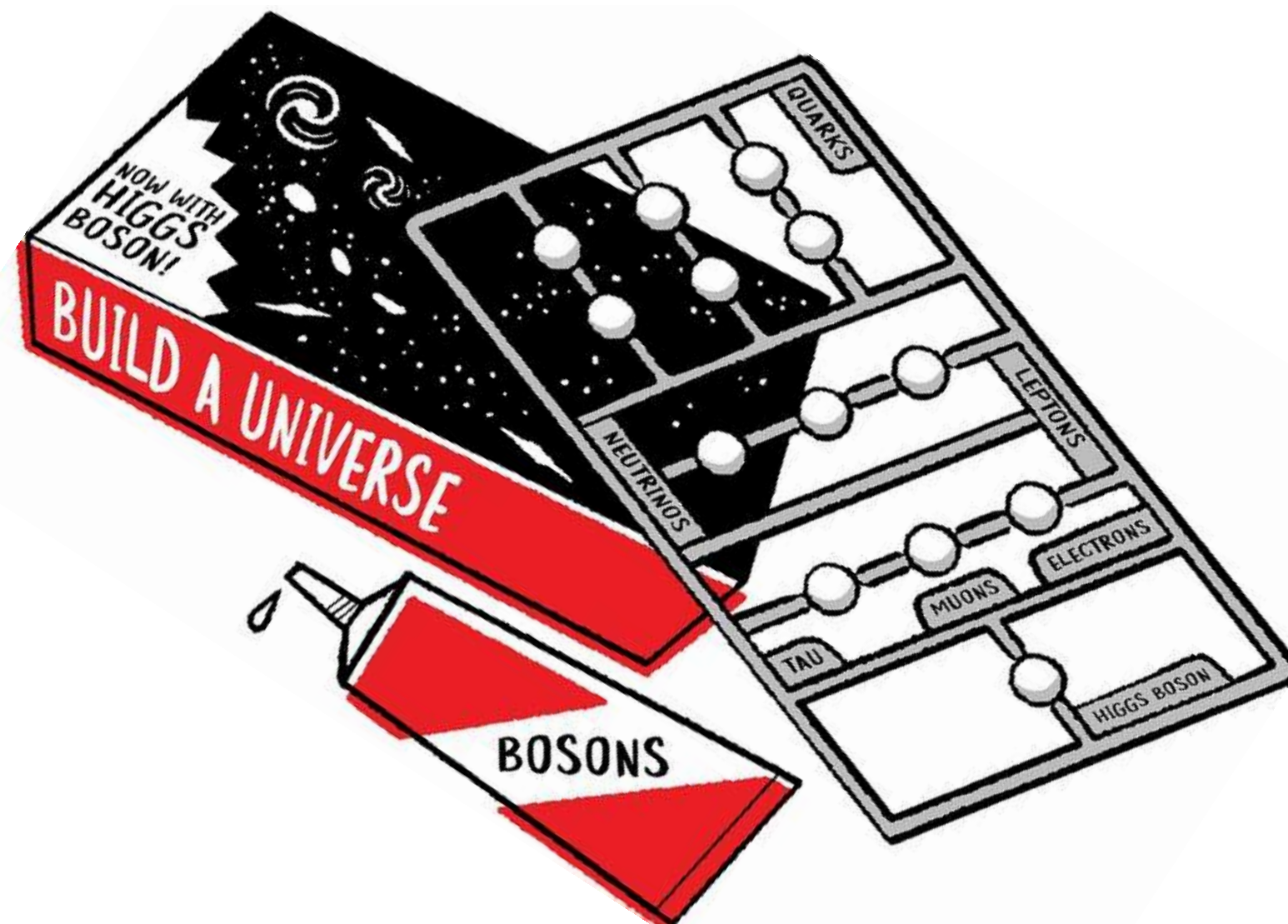
$$+ i \bar{\psi} \not{\partial} \psi + h.c.$$

$$+ \bar{\psi}_i \gamma_{ij} \psi_j \phi + h.c.$$

$$+ D_\mu \phi^\dagger \phi - V(\phi)$$



Teoremas

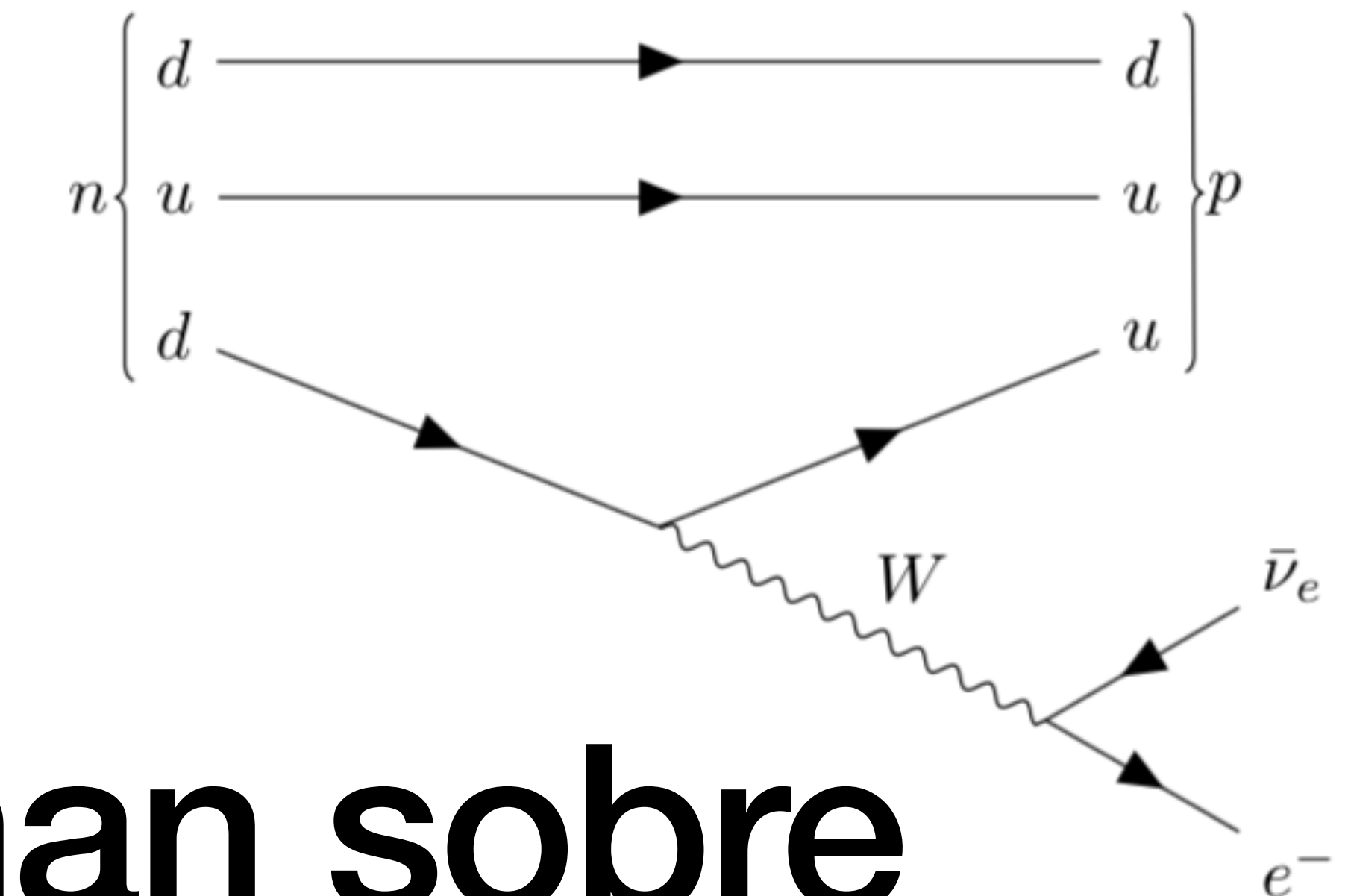
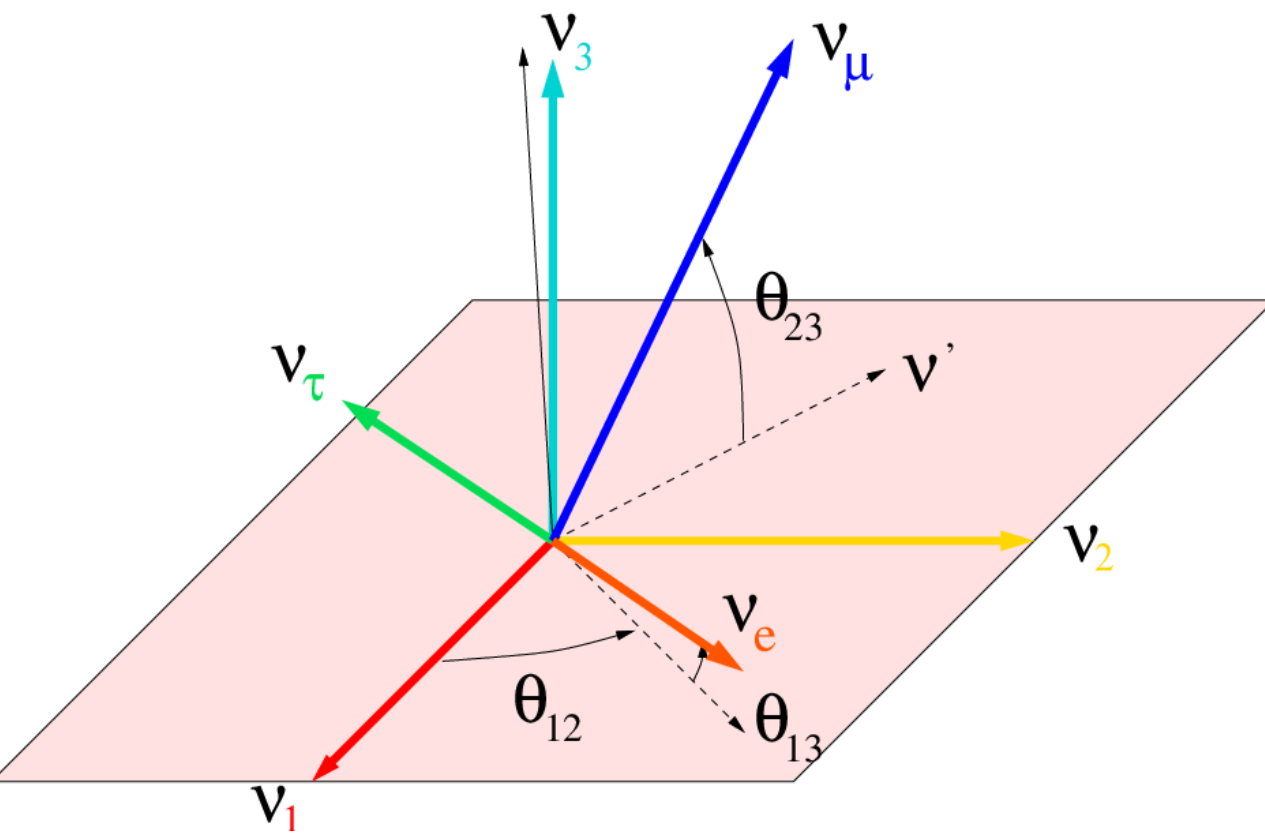


$$\mathcal{L} = -\bar{\psi}_k \gamma_\mu F_{\mu\nu} F^{\mu\nu} + h.c.$$

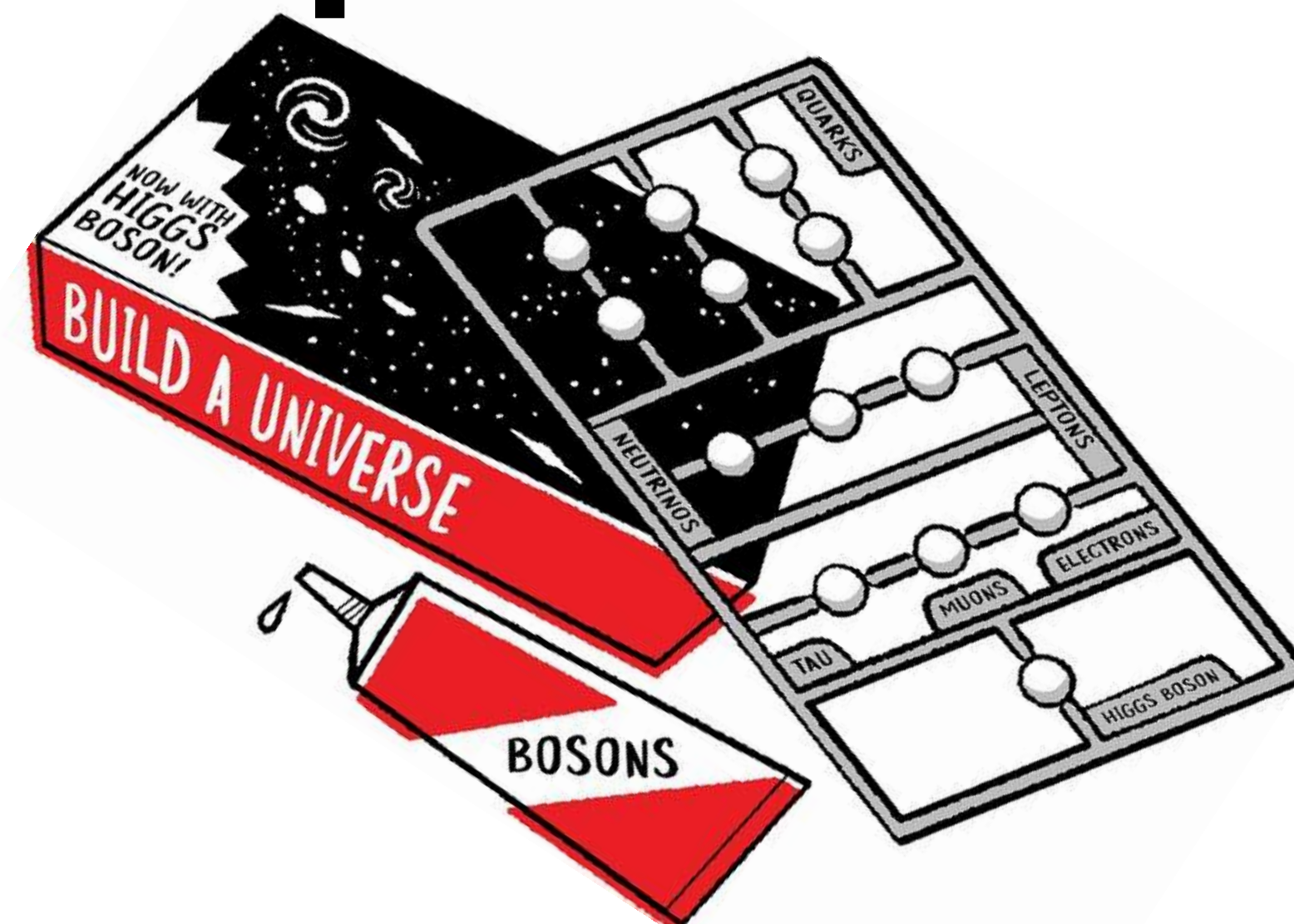
$$+ i\bar{\psi} \not{\partial} \psi + h.c.$$

$$+ \bar{\psi}_i \gamma_{ij} \psi_j \phi + h.c.$$

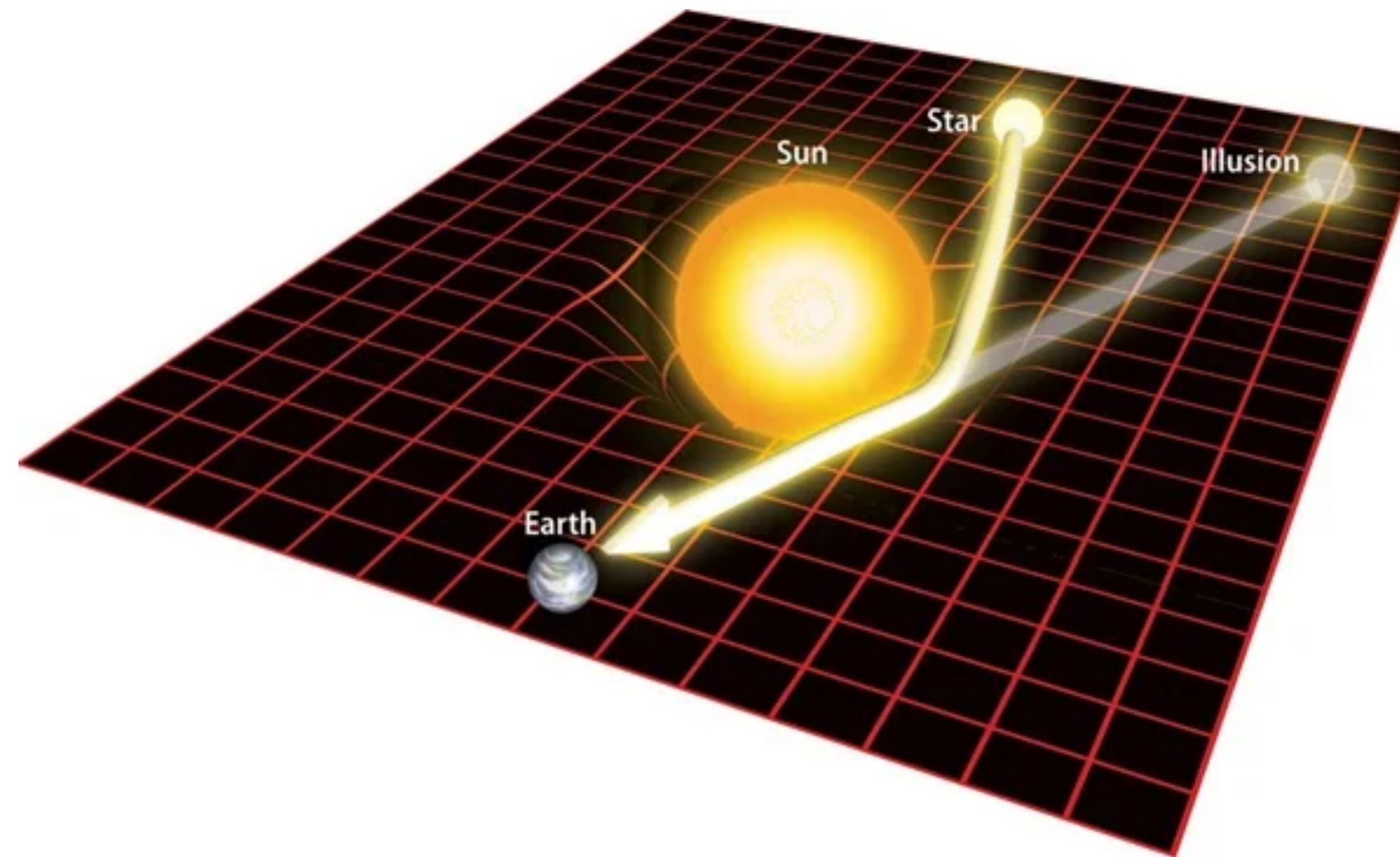
$$+ D_\mu \phi^\dagger \phi - V(\phi)$$



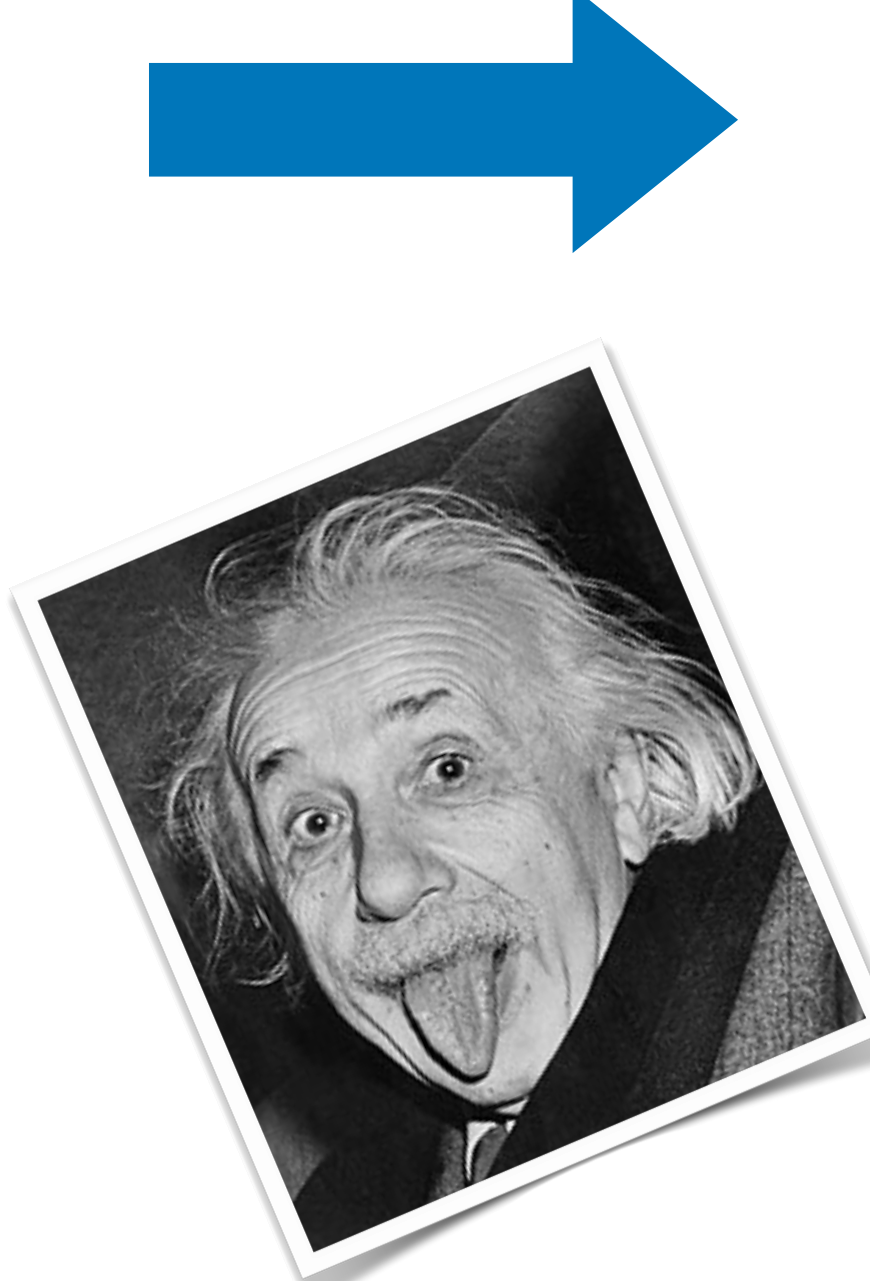
Teorema 1: Feynman sobre partículas sin masa de spin 2



Teorema 1: Feynman spin 2 massless particle



Gravedad

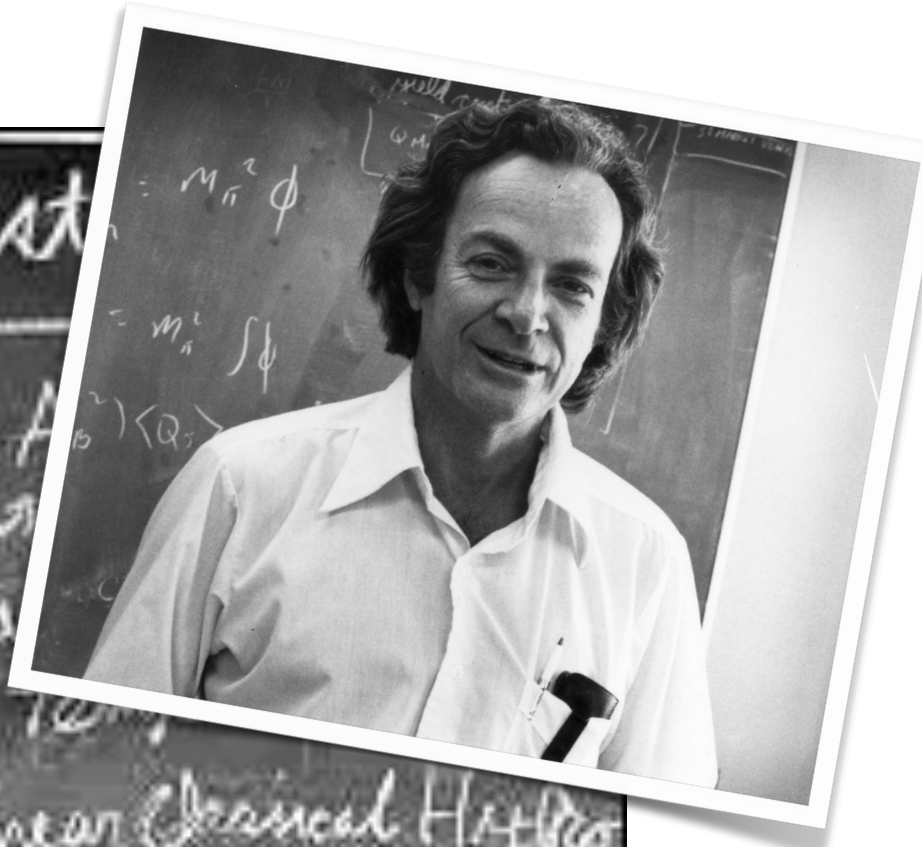
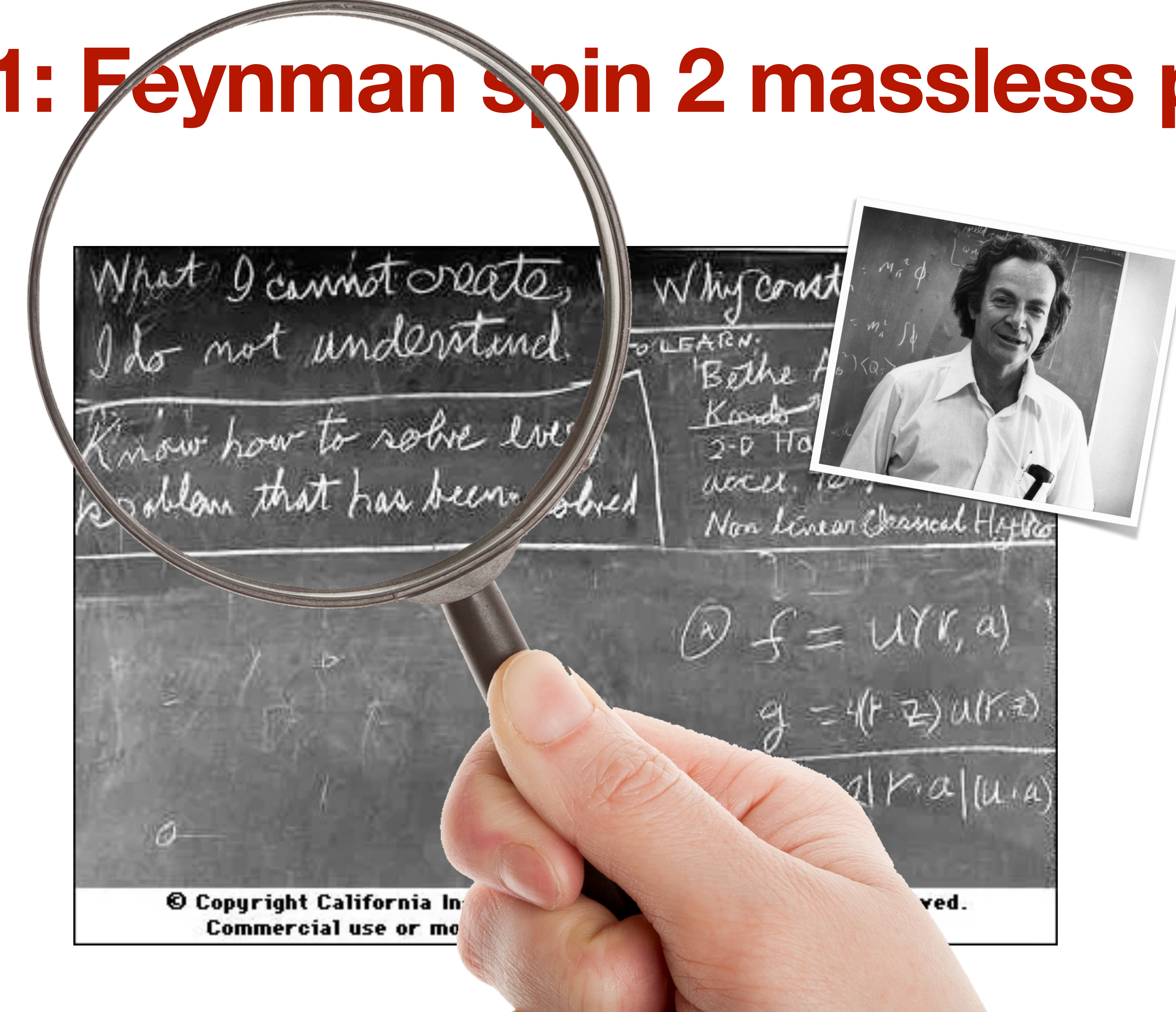


$$R_{\mu\nu} - \frac{1}{2}g_{\mu\nu}R = 8\pi G T_{\mu\nu}$$

Geometría

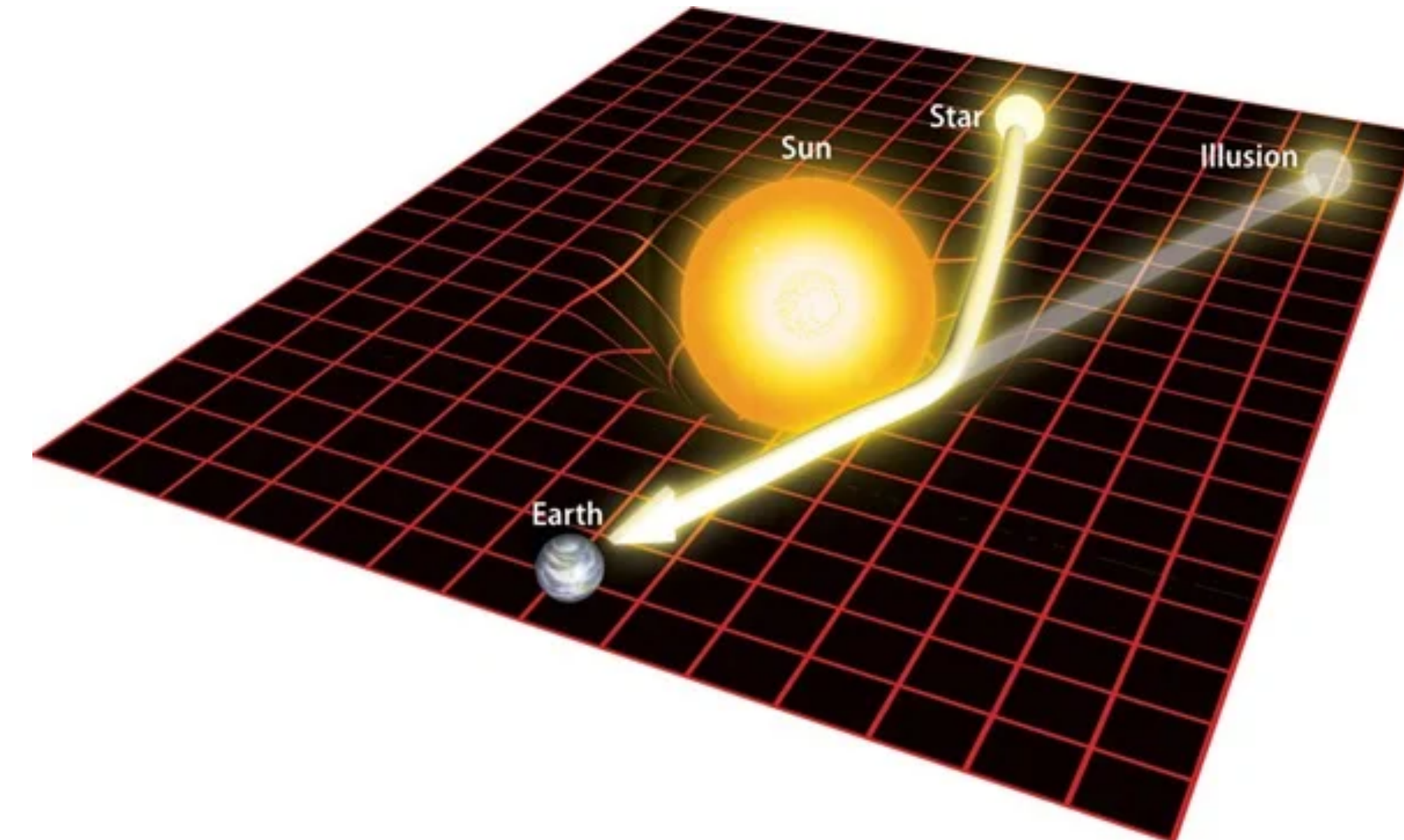
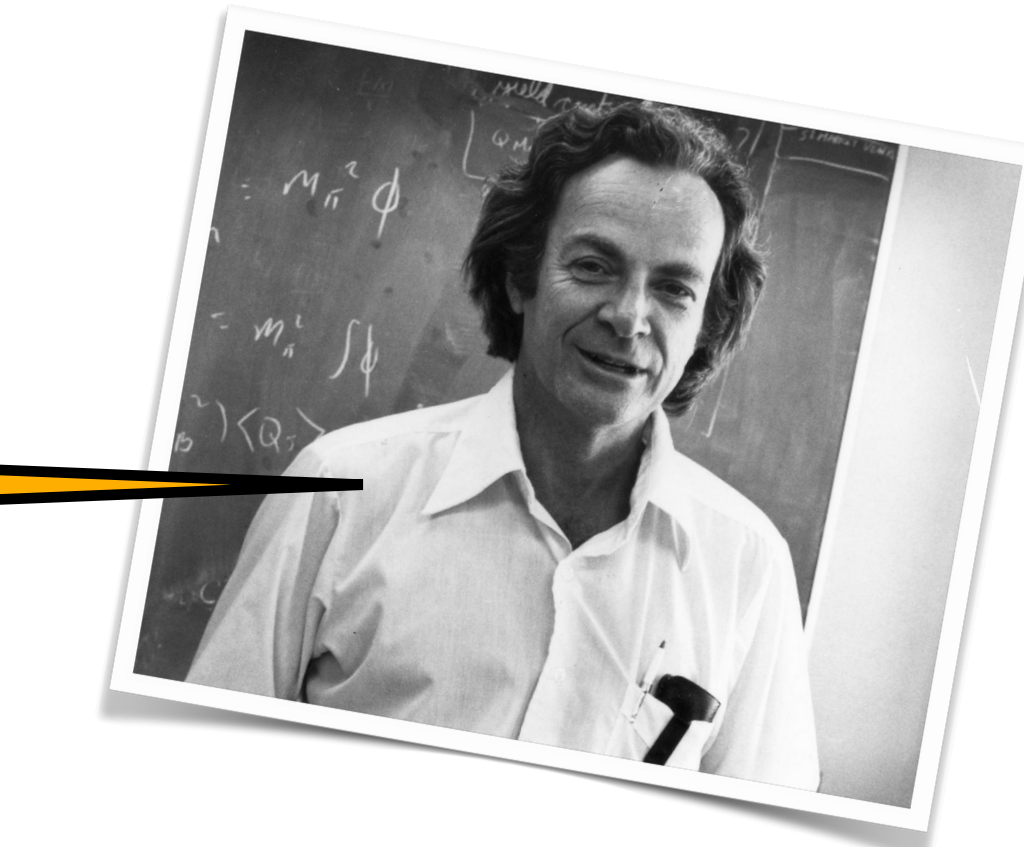
Teorema 1: Feynman spin 2 massless particle

***“What I cannot
create I do not
understand”***



Teorema 1: Feynman spin 2 massless particle

FORMULACIÓN
NO GEOMÉTRICA



Teorema 1: Feynman spin 2 massless particle

TEORIA DE CAMPOS



reproduce

$$F = -G \frac{m_1 m_2}{r^2}$$

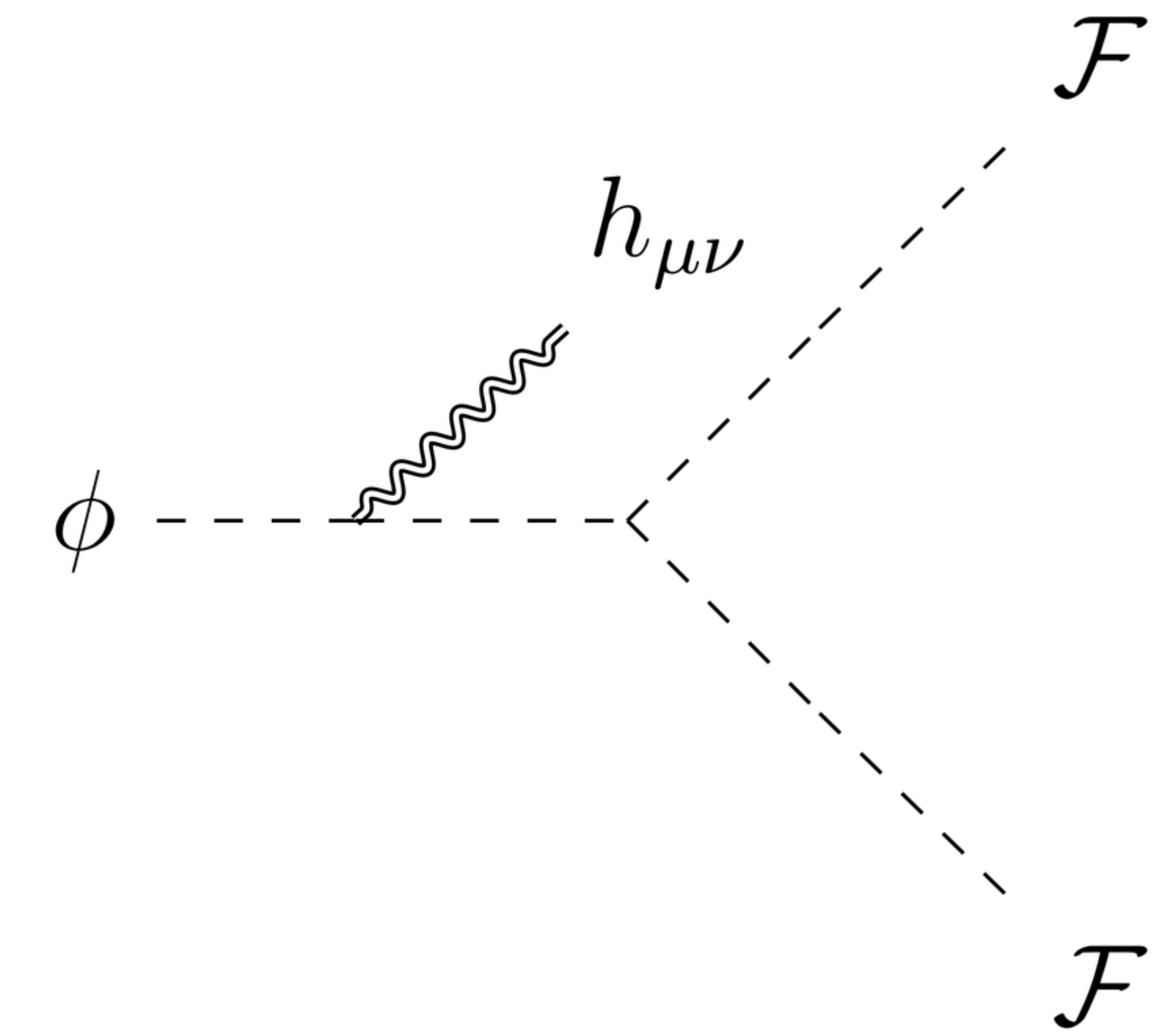
Teorema 1: Feynman spin 2 massless particle

$$F = -G \frac{m_1 m_2}{r^2}$$



$m_{\text{mediador}} = 0$

FUERZA ESTÁTICA



Teorema 1: Feynman spin 2 massless particle

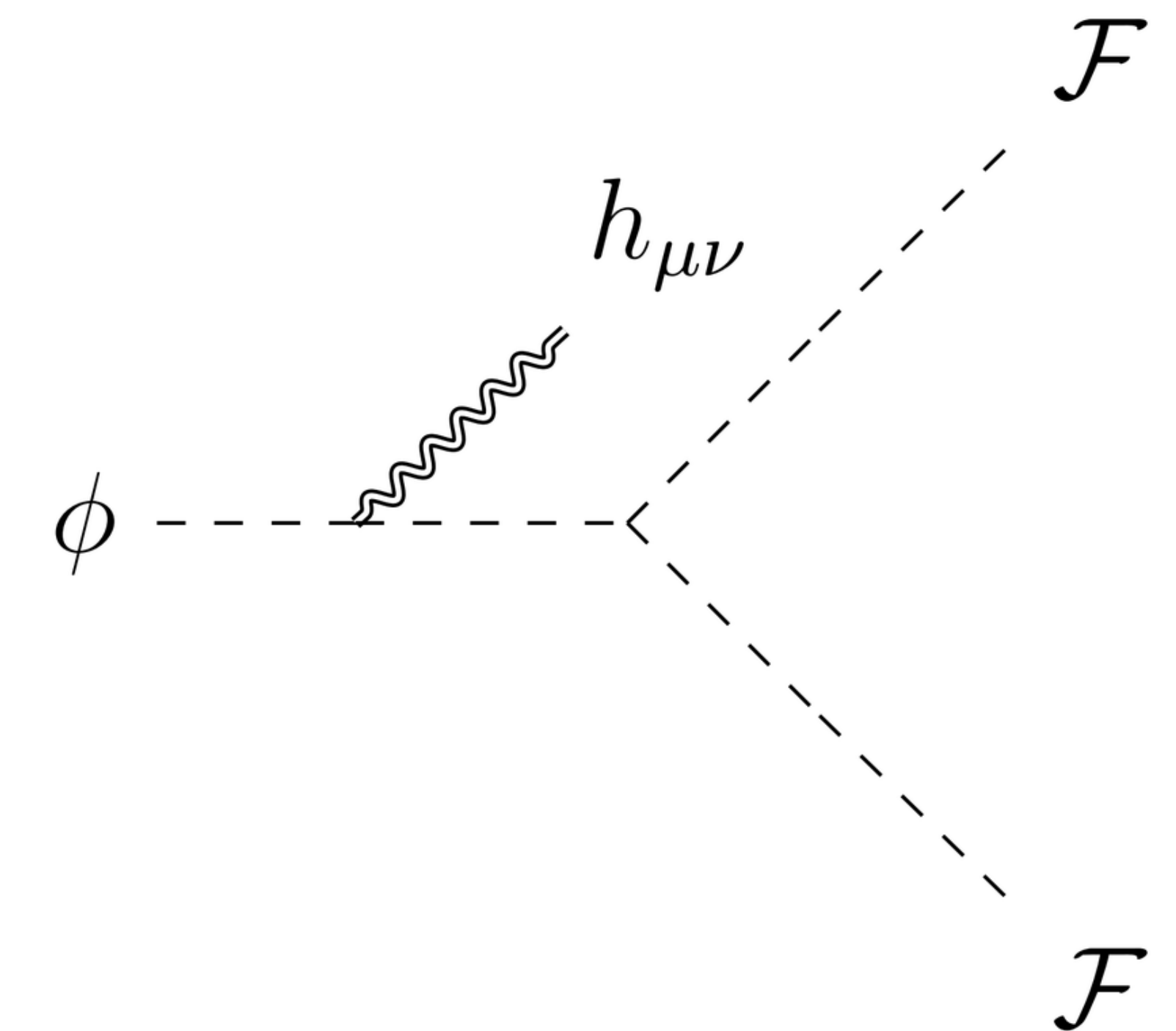
$$F = -G \frac{m_1 m_2}{r^2}$$



$m_{\text{mediador}} = 0$

FUERZA ESTÁTICA

$$s = 1/2$$



Teorema 1: Feynman spin 2 massless particle

$$F = -G \frac{m_1 m_2}{r^2}$$

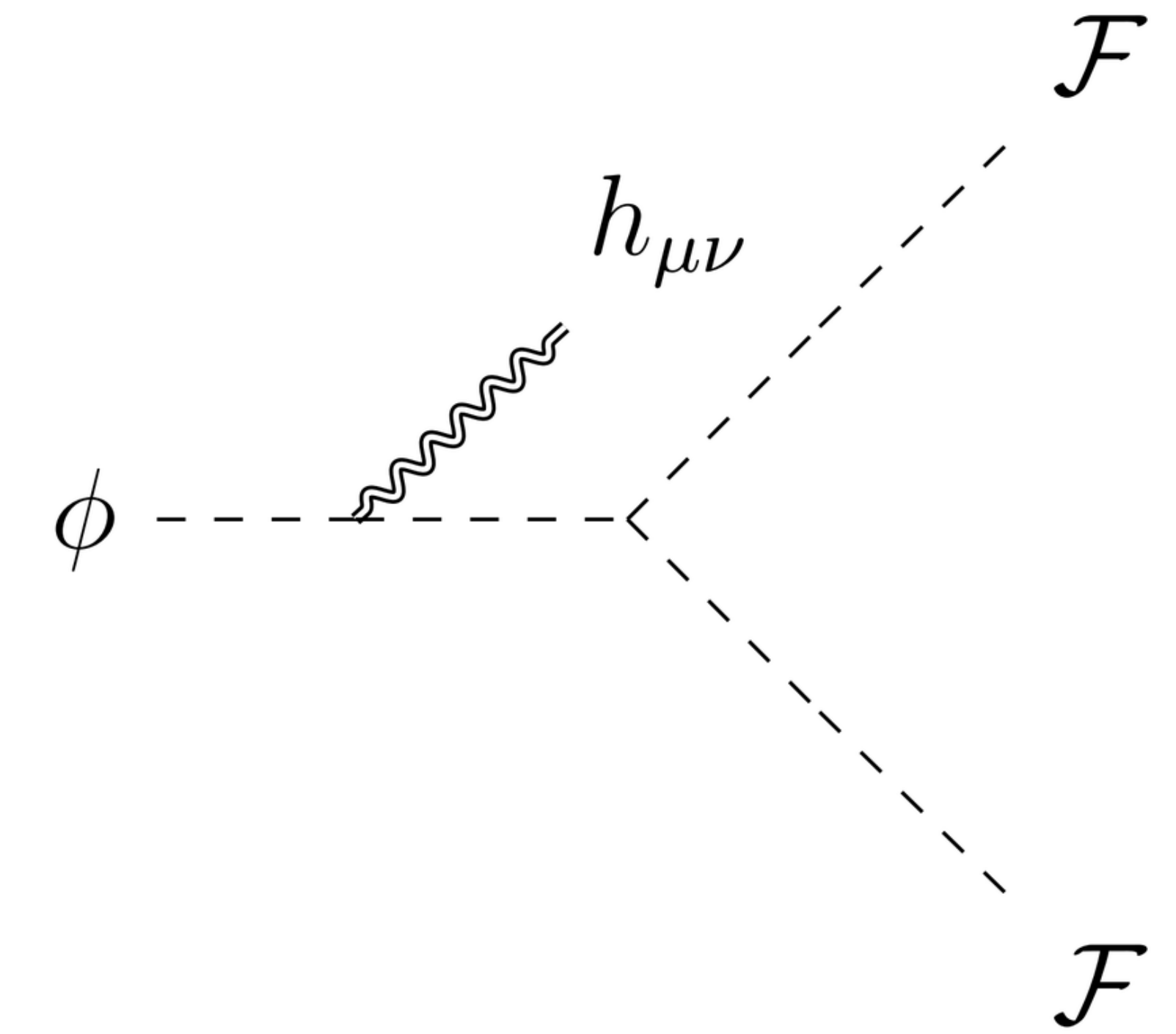


$m_{\text{mediador}} = 0$

FUERZA ESTÁTICA

$$s = 1/2$$

$$s = \text{entero}$$



Teorema 1: Feynman spin 2 massless particle

$$F = -G \frac{m_1 m_2}{r^2}$$

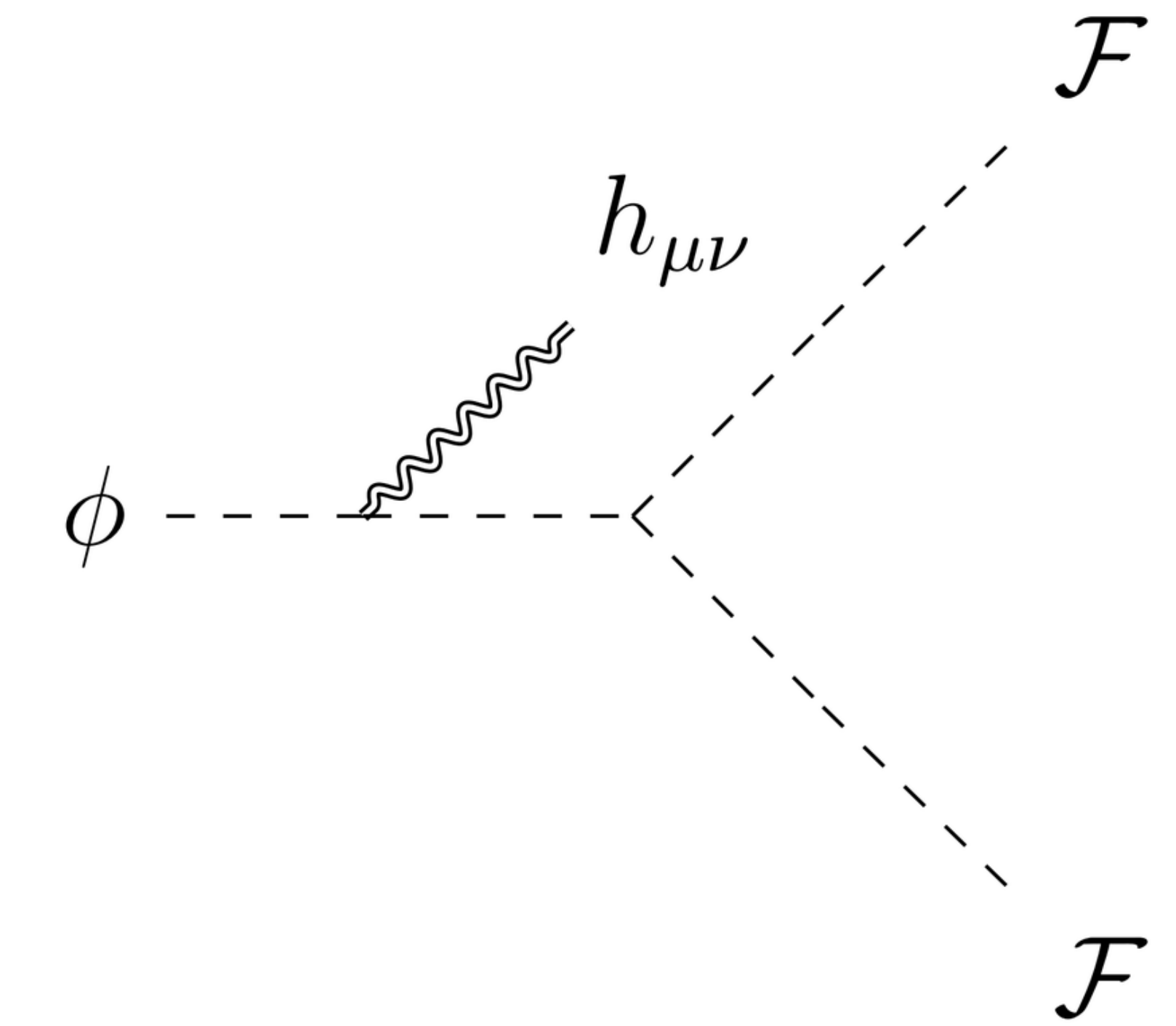
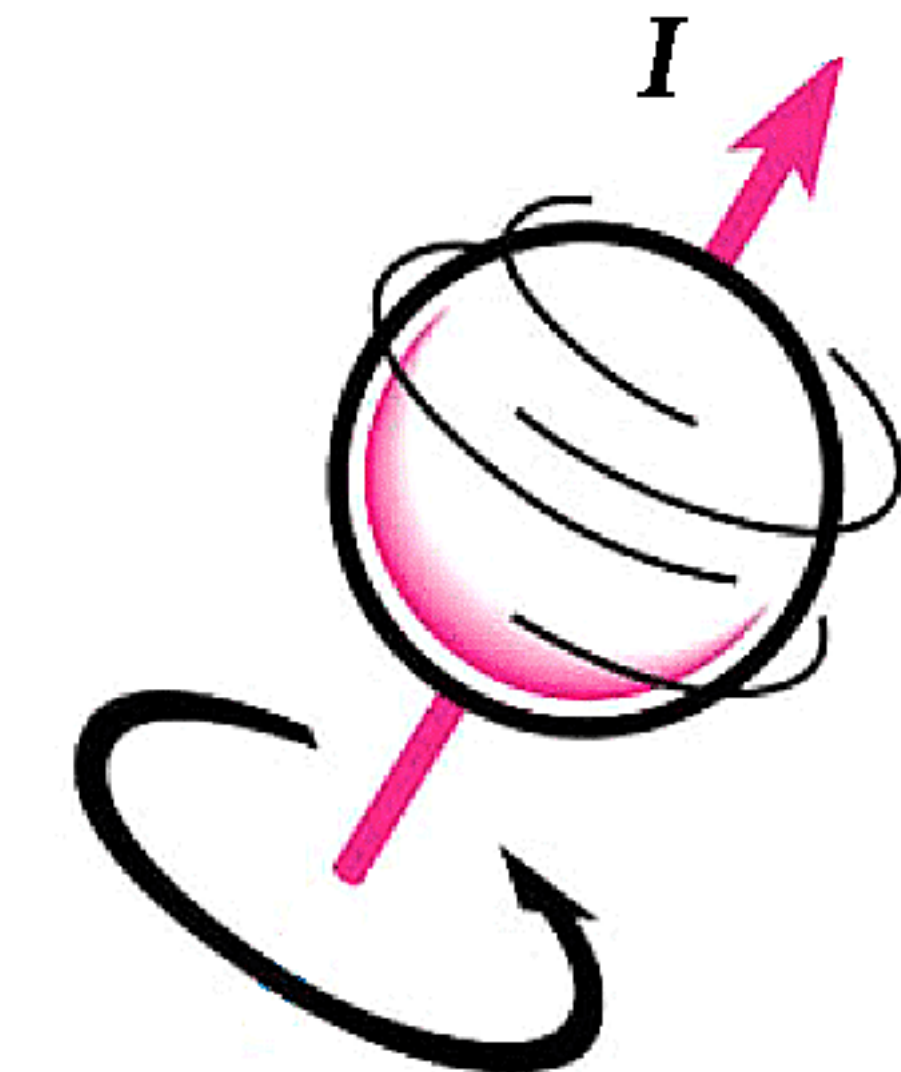


$m_{\text{mediador}} = 0$

FUERZA ESTÁTICA

~~$s = 1/2$~~

$s = \text{entero}$



Teorema 1: Feynman spin 2 massless particle

$$F = -G \frac{m_1 m_2}{r^2} \rightarrow m_{\text{mediador}} = 0$$

FUERZA ESTÁTICA

$$s = \{0, 1, 2, \dots\}$$

Teorema 1: Feynman spin 2 massless particle

$$m_s = 0$$

**CONTENIDO
DE MATERIA**

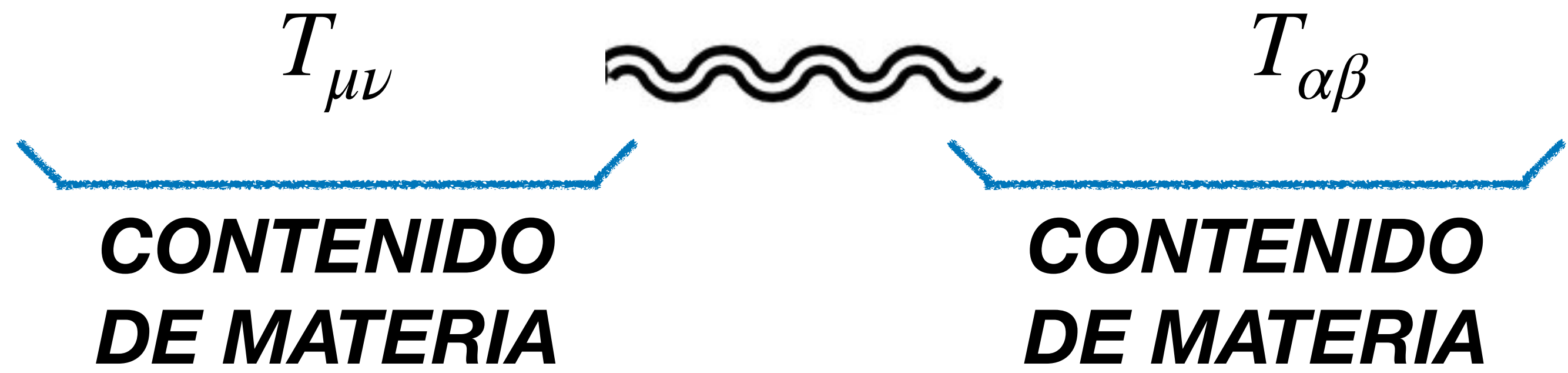
**CONTENIDO
DE MATERIA**

FUERZA ESTÁTICA

$$s = \{0, 1, 2, \dots\}$$

Teorema 1: Feynman spin 2 massless particle

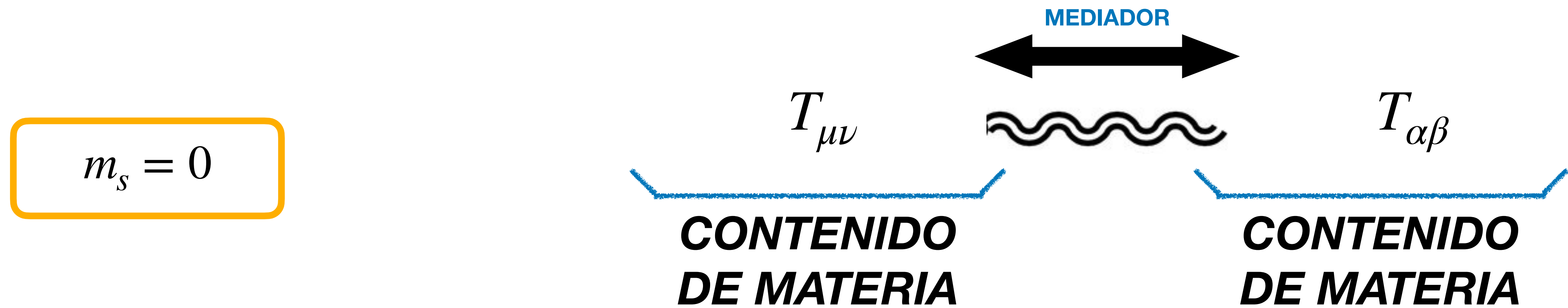
$$m_s = 0$$



FUERZA ESTÁTICA

$$s = \{0, 1, 2, \dots\}$$

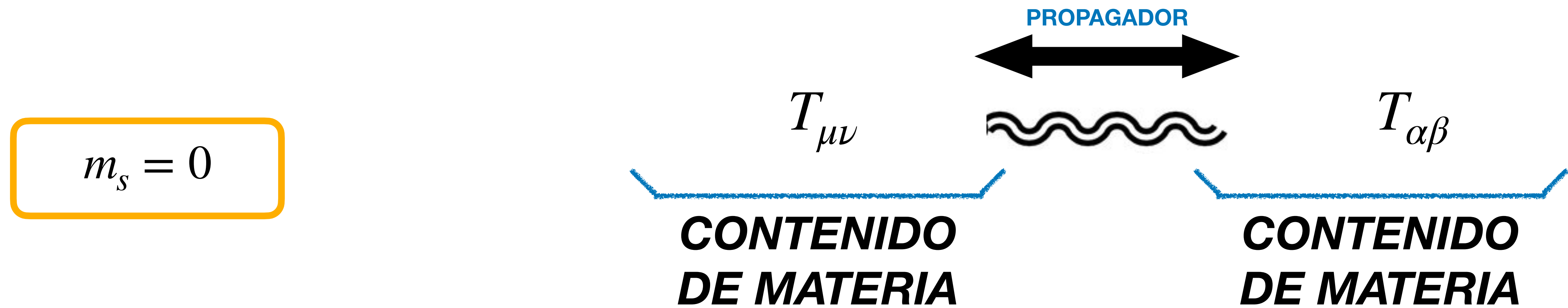
Teorema 1: Feynman spin 2 massless particle



FUERZA ESTÁTICA

$$s = \{0, 1, 2, \dots\}$$

Teorema 1: Feynman spin 2 massless particle

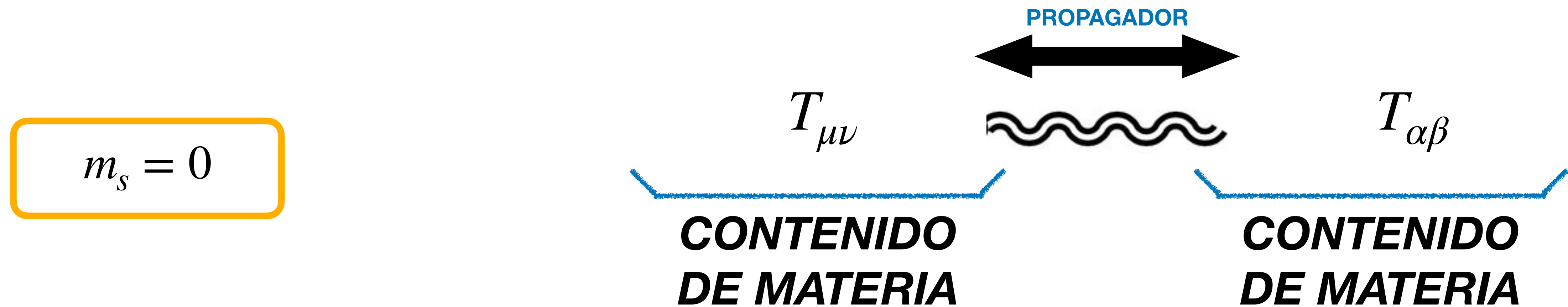


$$m_s = 0$$

FUERZA ESTÁTICA

$$s = \{0, 1, 2, \dots\}$$

Teorema 1: Feynman spin 2 massless particle

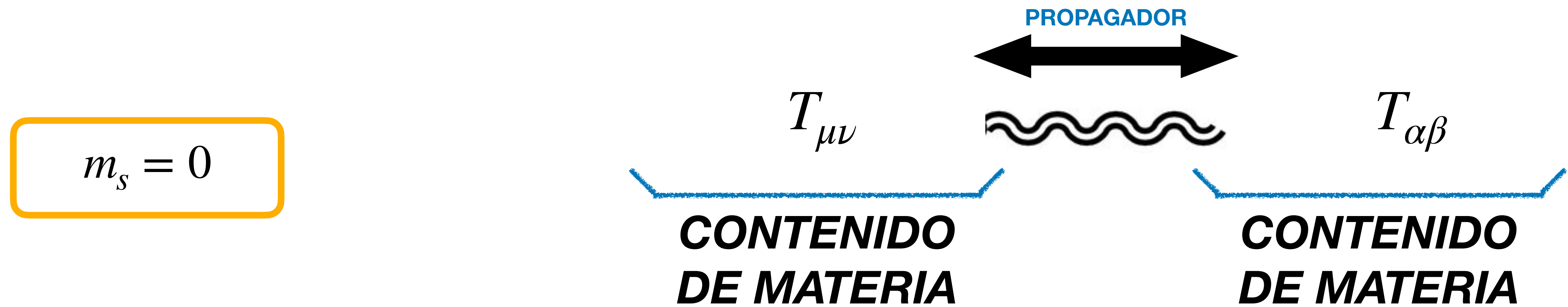


FUERZA ESTÁTICA

$$s = \{0, 1, 2, \dots\}$$



Teorema 1: Feynman spin 2 massless particle



FUERZA ESTÁTICA

$$s = \{0, 1, 2, \dots\}$$



$$s = 0$$

$$\Delta_0 \simeq \frac{1}{k^2}$$

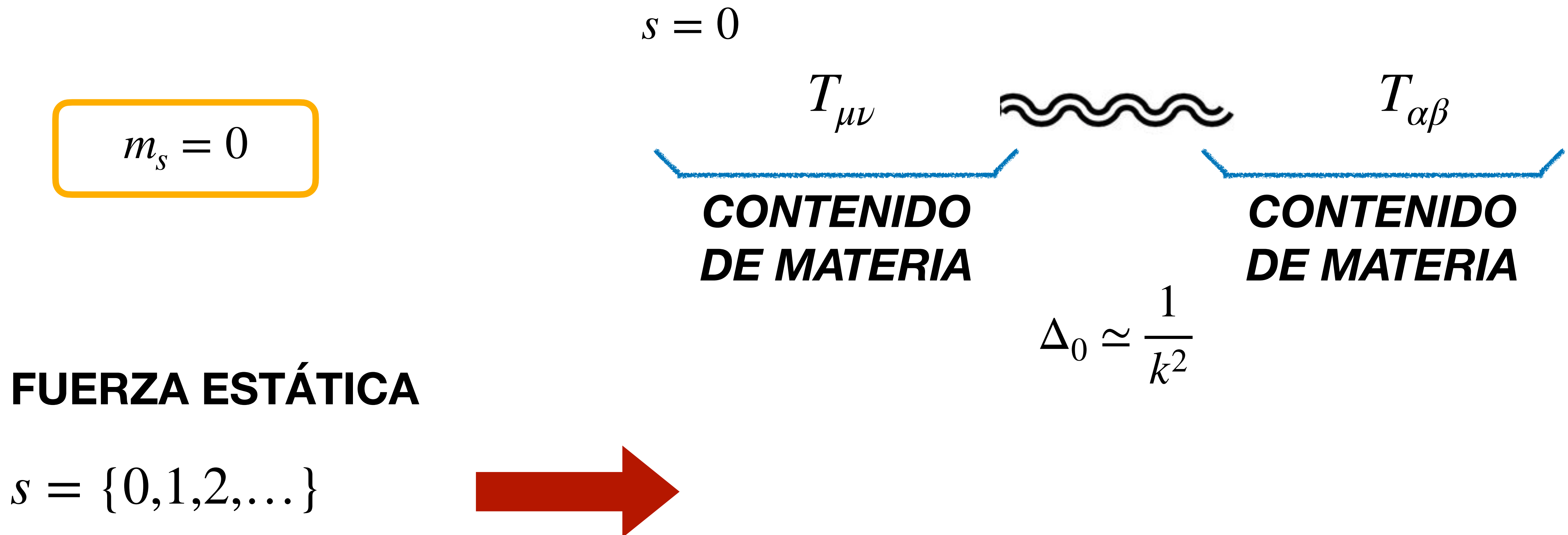
$$s = 1$$

$$\Delta_1 \simeq \frac{\eta_{\mu\nu}}{k^2}$$

$$s = 2$$

$$\Delta_2 \simeq \frac{\eta_{\mu\nu}\eta_{\alpha\beta}}{k^2}$$

Teorema 1: Feynman spin 2 massless particle



Teorema 1: Feynman spin 2 massless particle

$$s = 0$$

$$m_s = 0$$

$$T_{\mu\nu}$$

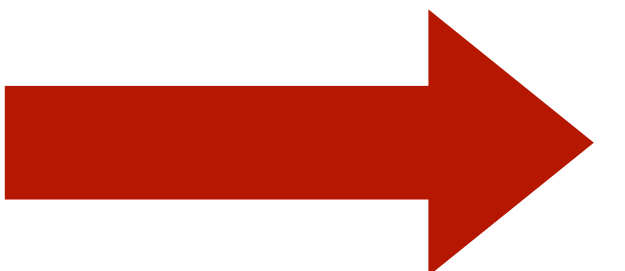


$$T_{\alpha\beta}$$

$$\Delta_0 \simeq \frac{1}{k^2}$$

FUERZA ESTÁTICA

$$s = \{0, 1, 2, \dots\}$$



Teorema 1: Feynman spin 2 massless particle

$$s = 0$$

$$m_s = 0$$

$$T^{\mu}_{\mu}$$

$$\frac{1}{k^2}$$

$$T^{\alpha}_{\alpha}$$

FUERZA ESTÁTICA

$$s = \{0, 1, 2, \dots\}$$

Teorema 1: Feynman spin 2 massless particle

$$m_s = 0$$

FUERZA ESTÁTICA

$$s = \{0, 1, 2, \dots\}$$

$$s = 0$$

$$T^\mu{}_\mu$$

$$\frac{1}{k^2}$$

$$T^\alpha{}_\alpha$$



Teorema 1: Feynman spin 2 massless particle

$$m_s = 0$$

$$s = 0$$

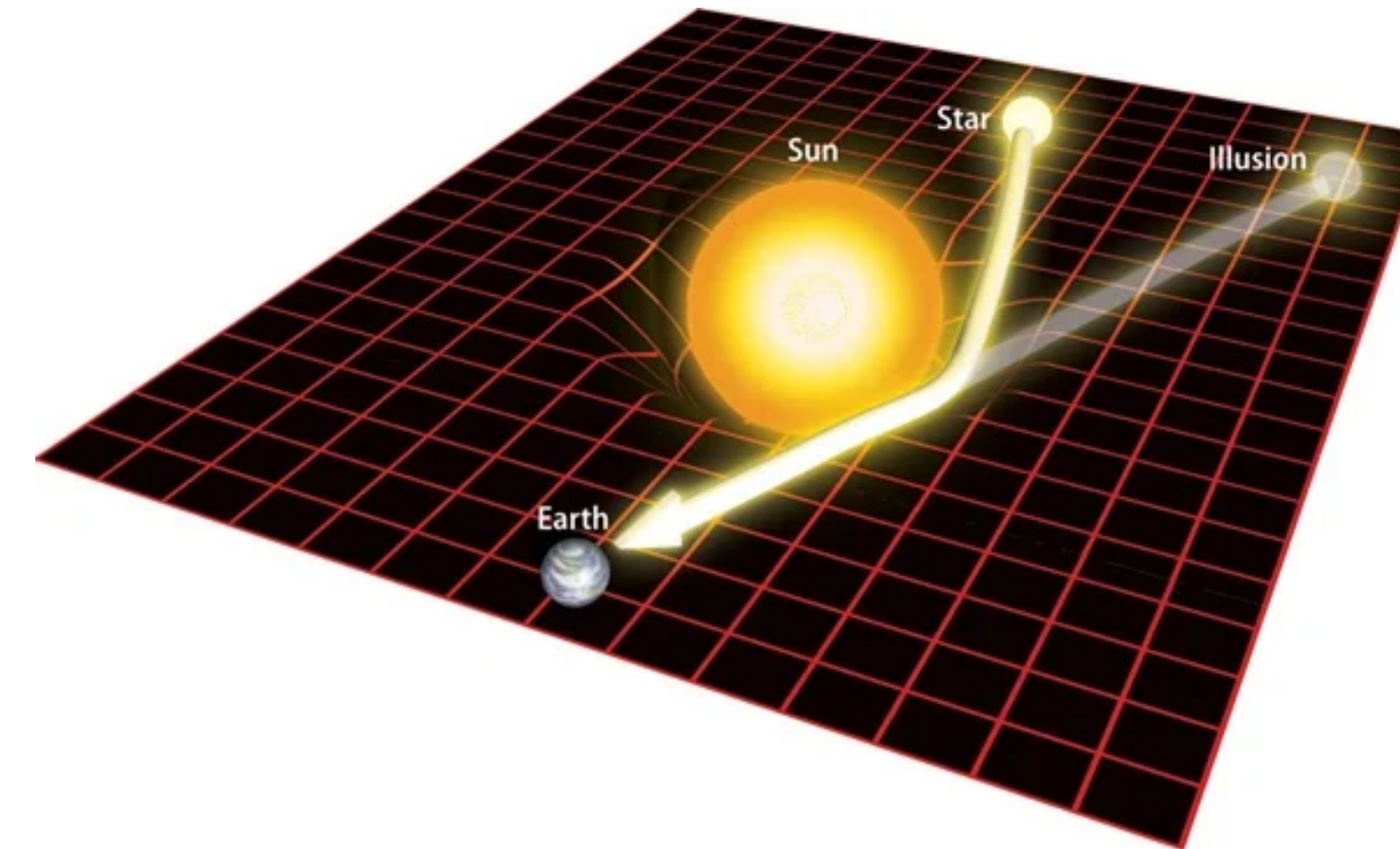
$$T^{\mu}_{\mu}$$

$$\frac{1}{k^2}$$

$$T^{\alpha}_{\alpha}$$

FUERZA ESTÁTICA

$$s = \{0, 1, 2, \dots\}$$



Teorema 1: Feynman spin 2 massless particle

$$m_s = 0$$

FUERZA ESTÁTICA

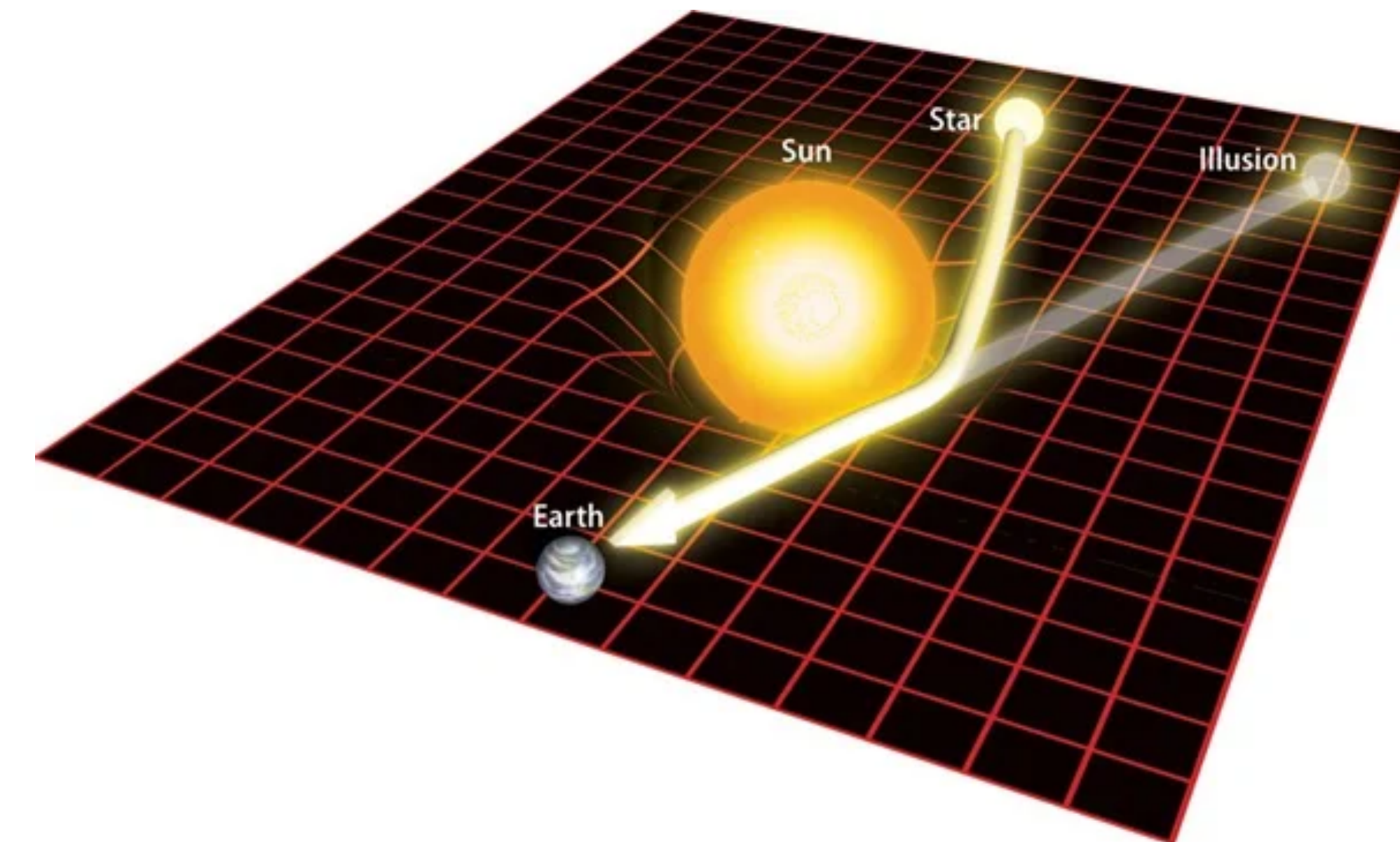
$$s = \{0, 1, 2, \dots\}$$

$$s = 0$$

$$T^{\mu}_{\mu}$$

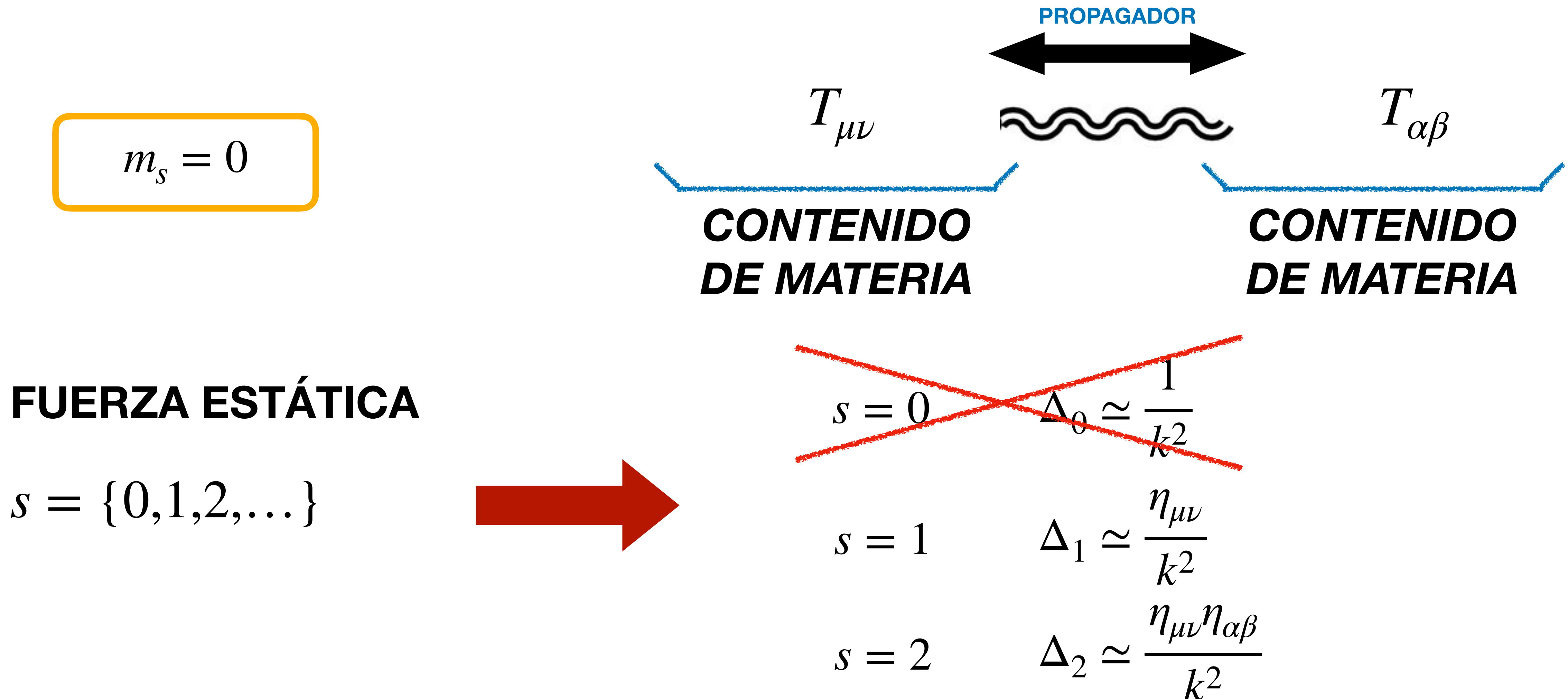
$$\frac{1}{k^2}$$

$$T^{\alpha}_{\alpha}$$

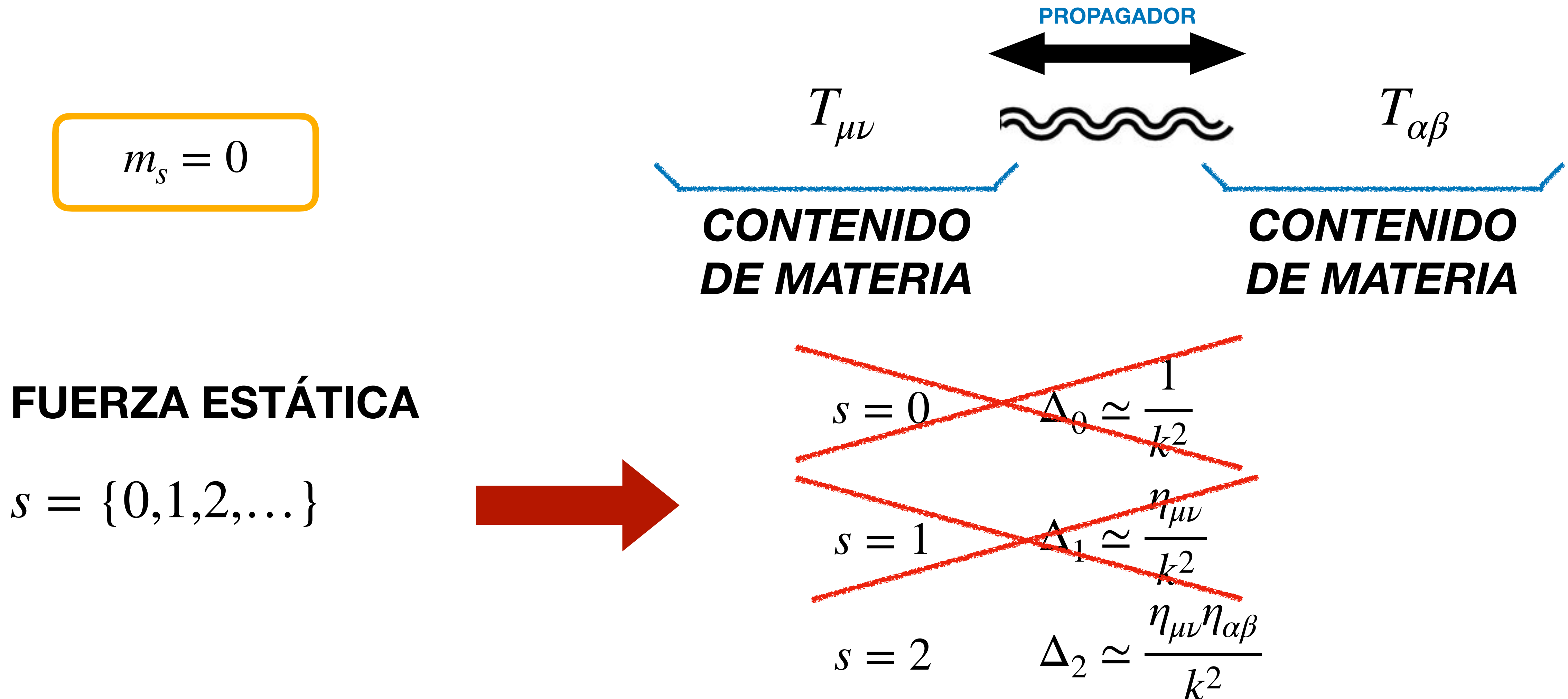


$$T^{\mu}_{\mu} = 0$$

Teorema 1: Feynman spin 2 massless particle

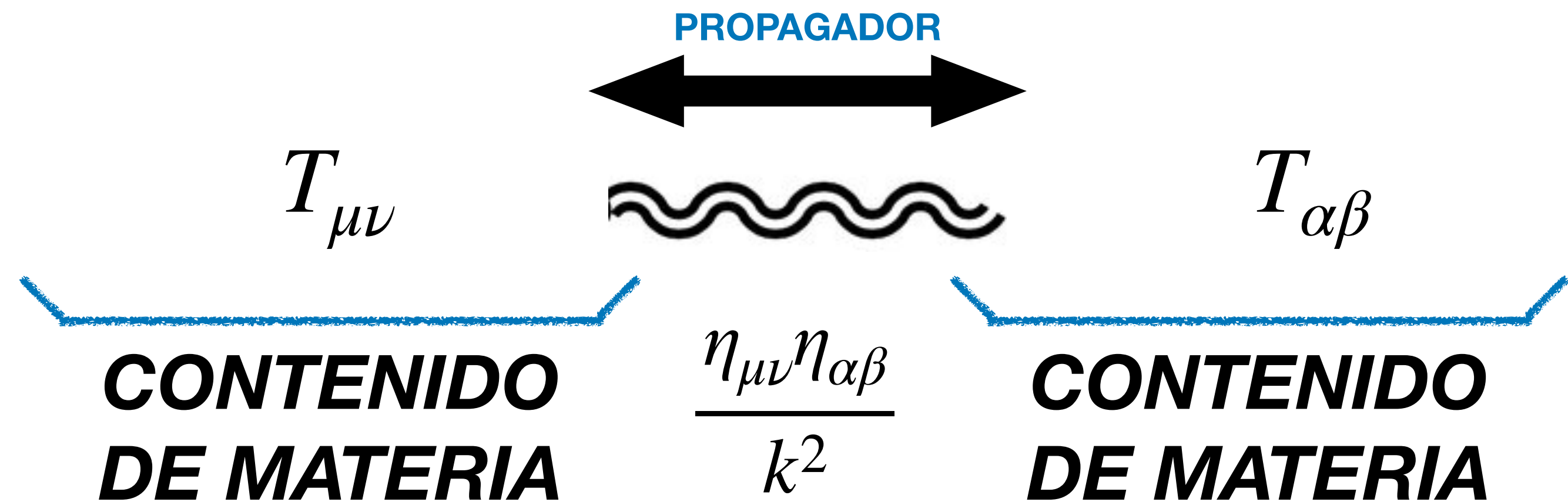


Teorema 1: Feynman spin 2 massless particle



Teorema 1: Feynman spin 2 massless particle

$$\boxed{m_s = 0}$$
$$s = 2$$



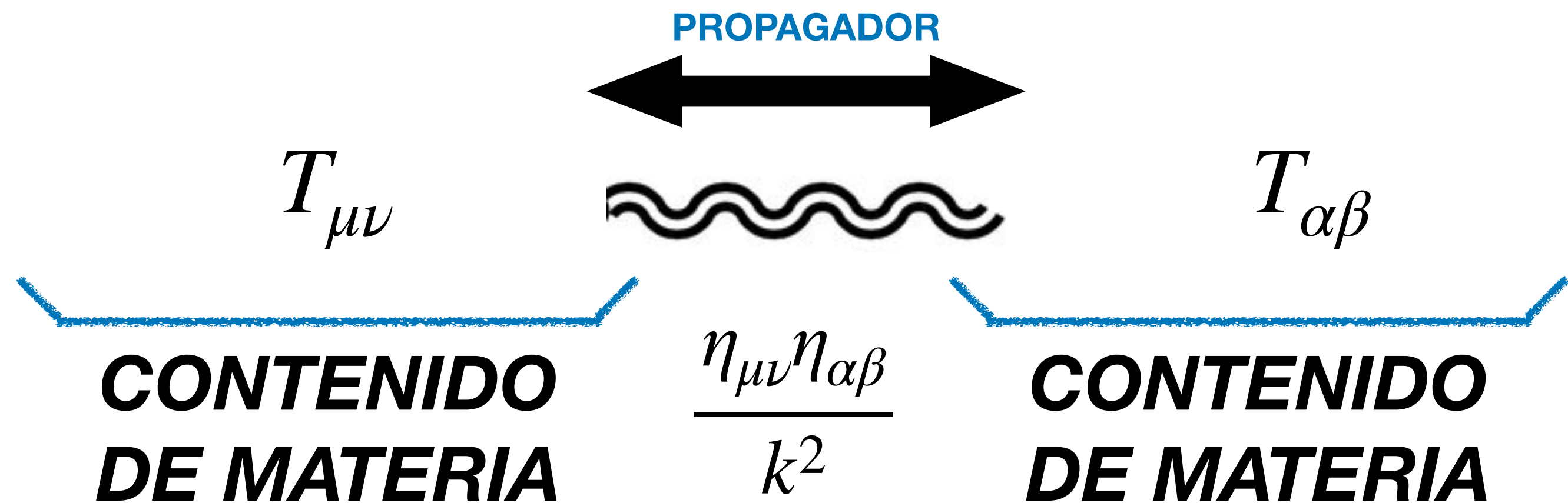
*Contando Grados
de libertad*



$G_{\mu\nu}$
*Simétrico
10 d.o.f.*

Teorema 1: Feynman spin 2 massless particle

$$\boxed{m_s = 0}$$
$$s = 2$$



$$m_s = 0, \text{ 2 polarizaciones}$$

Contando Grados de libertad

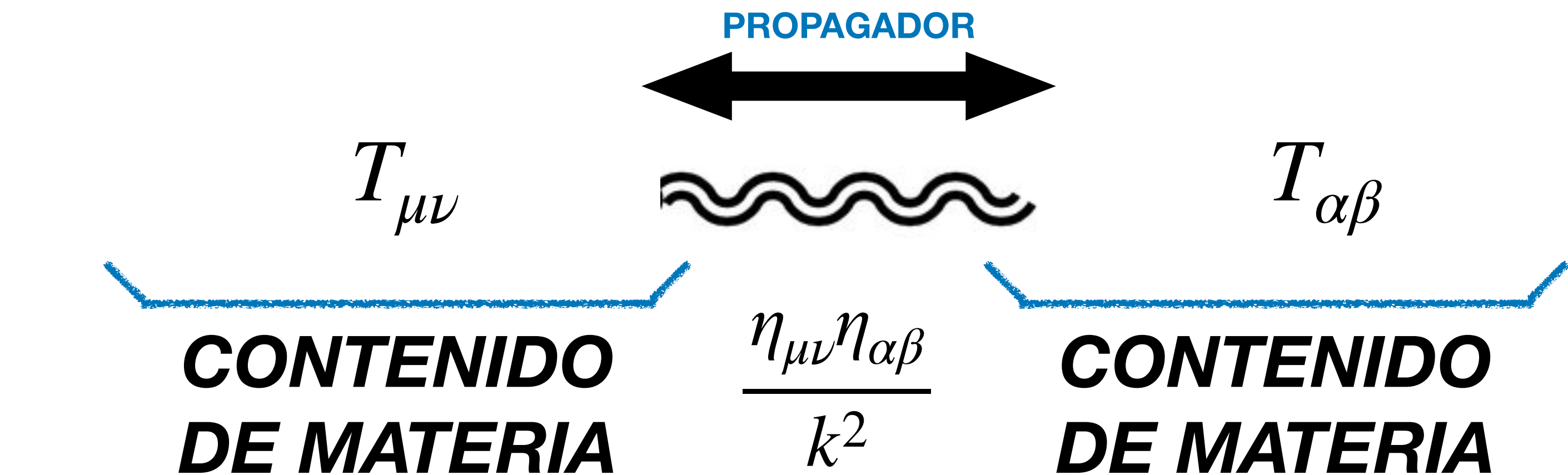


$G_{\mu\nu}$
*Simétrico
10 d.o.f.*

Teorema 1: Feynman spin 2 massless particle

$$\boxed{m_s = 0}$$
$$s = 2$$

*Contando Grados
de libertad*



$m_s = 0, 2$ polarizaciones

$$G_{\mu\nu}$$

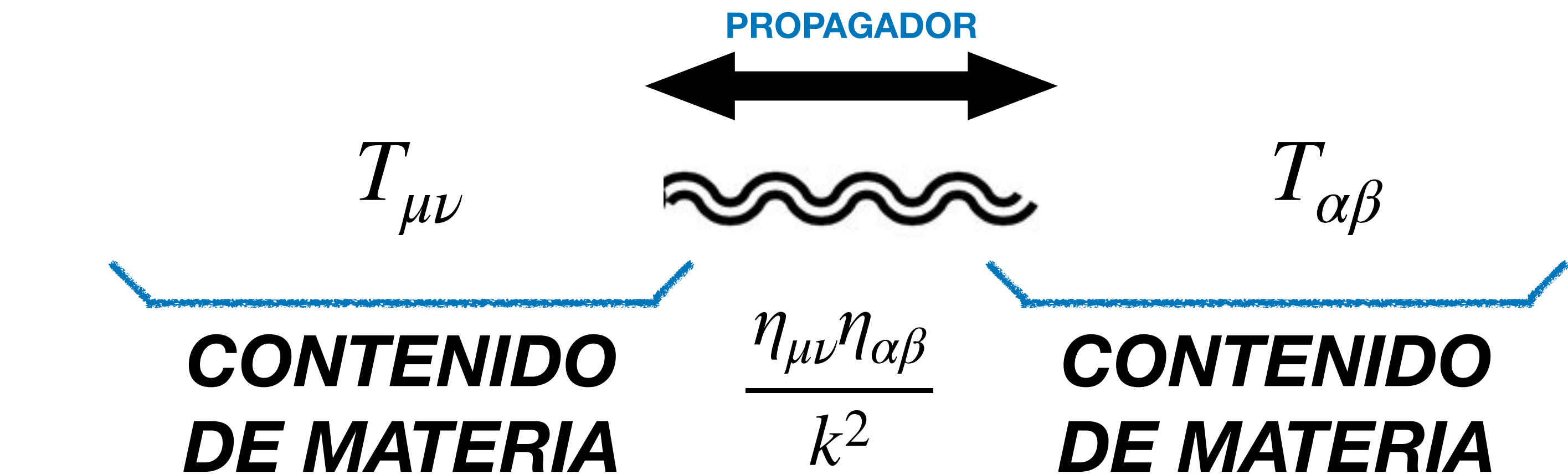
*Simétrico
10 d.o.f.*

$$\nabla_\mu G^{\mu\nu} = 0, 4 \text{ d.o.f.}$$

Teorema 1: Feynman spin 2 massless particle

$$\boxed{m_s = 0}$$
$$s = 2$$

*Contando Grados
de libertad*



$m_s = 0, 2$ polarizaciones

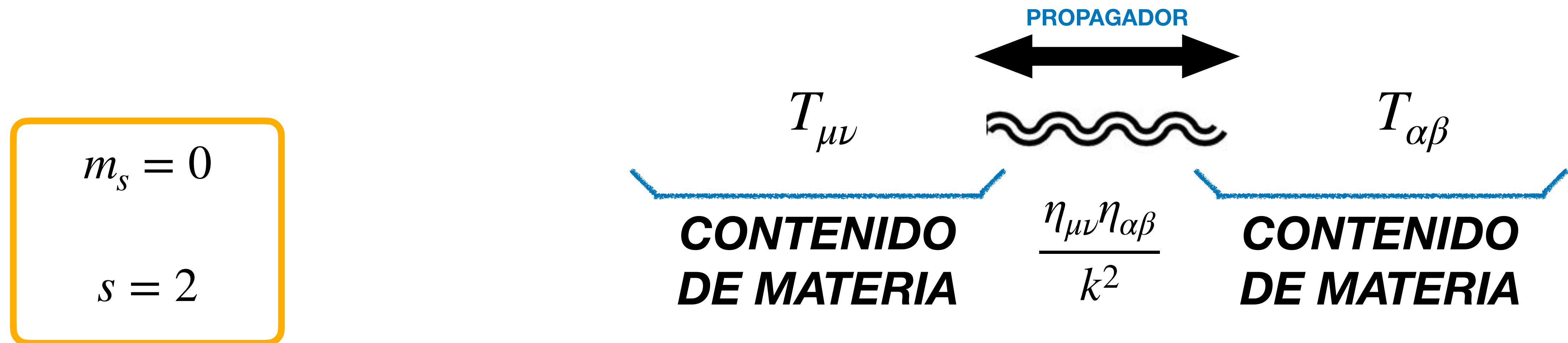
$$G_{\mu\nu}$$

*Simétrico
10 d.o.f.*

$\nabla_\mu G^{\mu\nu} = 0, 4$ d.o.f.

$$10 - 2 - 4 = 4 \text{ d.o.f restantes}$$

Teorema 1: Feynman spin 2 massless particle



Contando Grados de libertad



$$G_{\mu\nu}$$

*Simétrico
10 d.o.f.*

$m_s = 0, 2$ polarizaciones

$\nabla_\mu G^{\mu\nu} = 0, 4$ d.o.f.

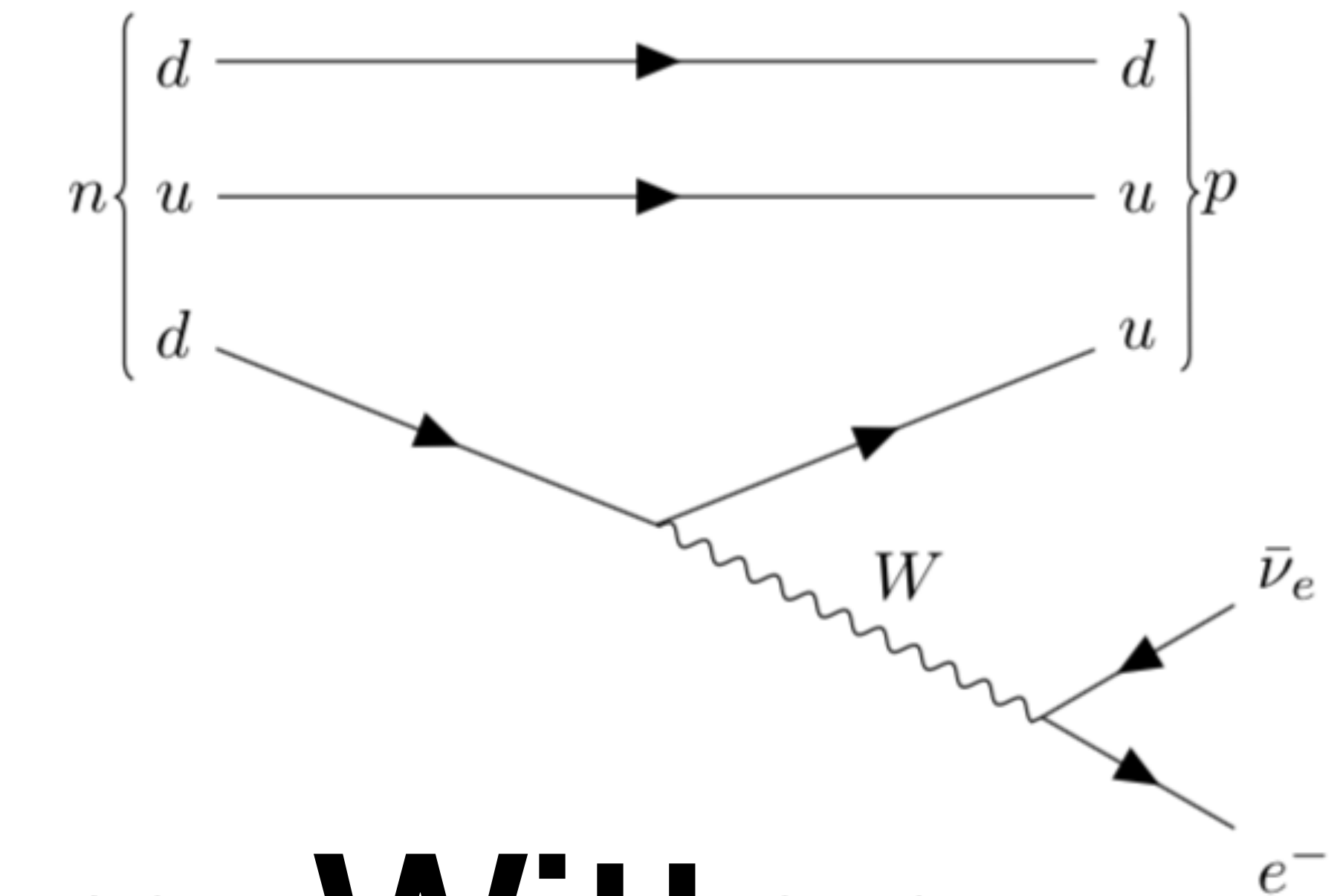
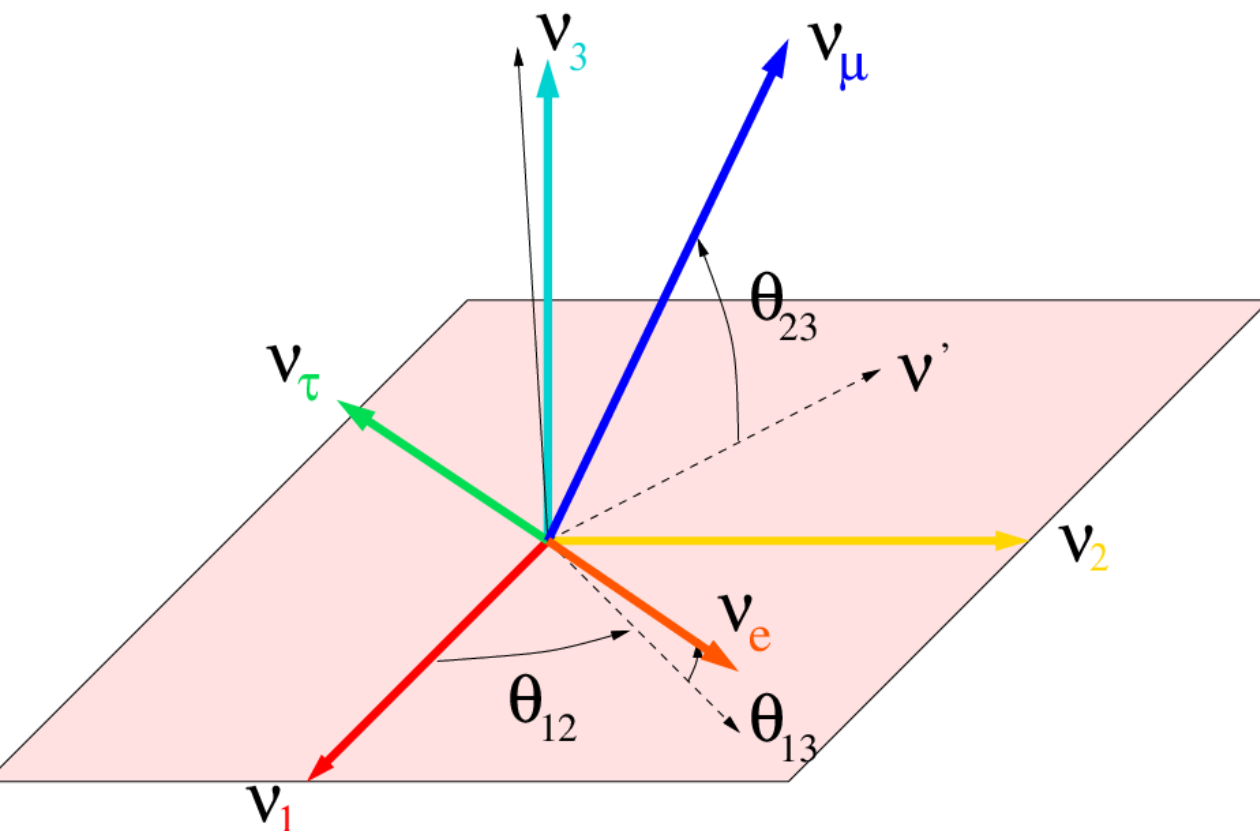
$10 - 2 - 4 = 4$ d.o.f restantes
→ DIFEOMORFISMOS!

$$\mathcal{L} = -\gamma_\mu F_{\mu\nu} F^{\mu\nu} + h.c.$$

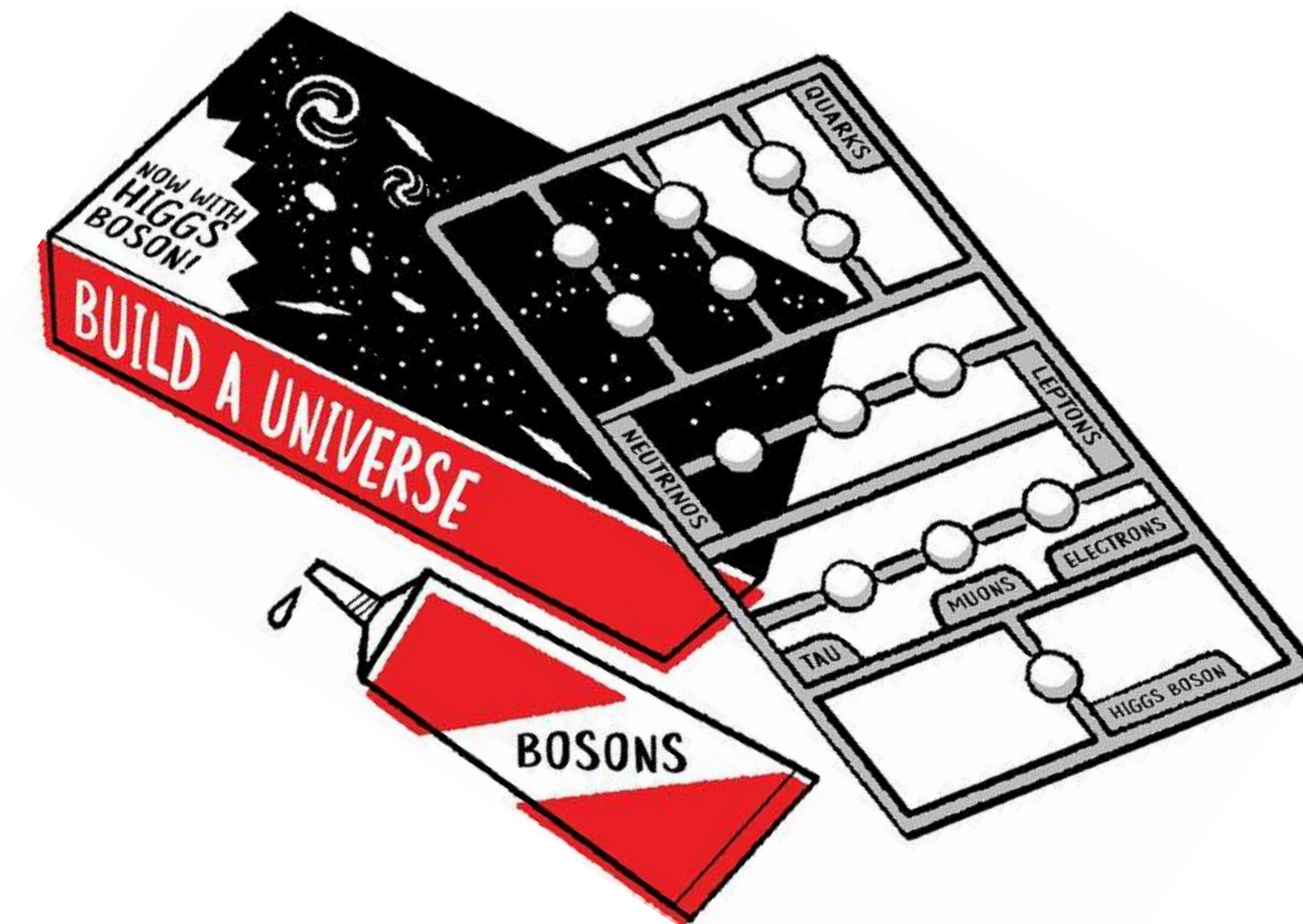
$$+ i \bar{\psi} \not{\partial} \psi + h.c.$$

$$+ \bar{\psi}_i \gamma_{ij} \psi_j \phi + h.c.$$

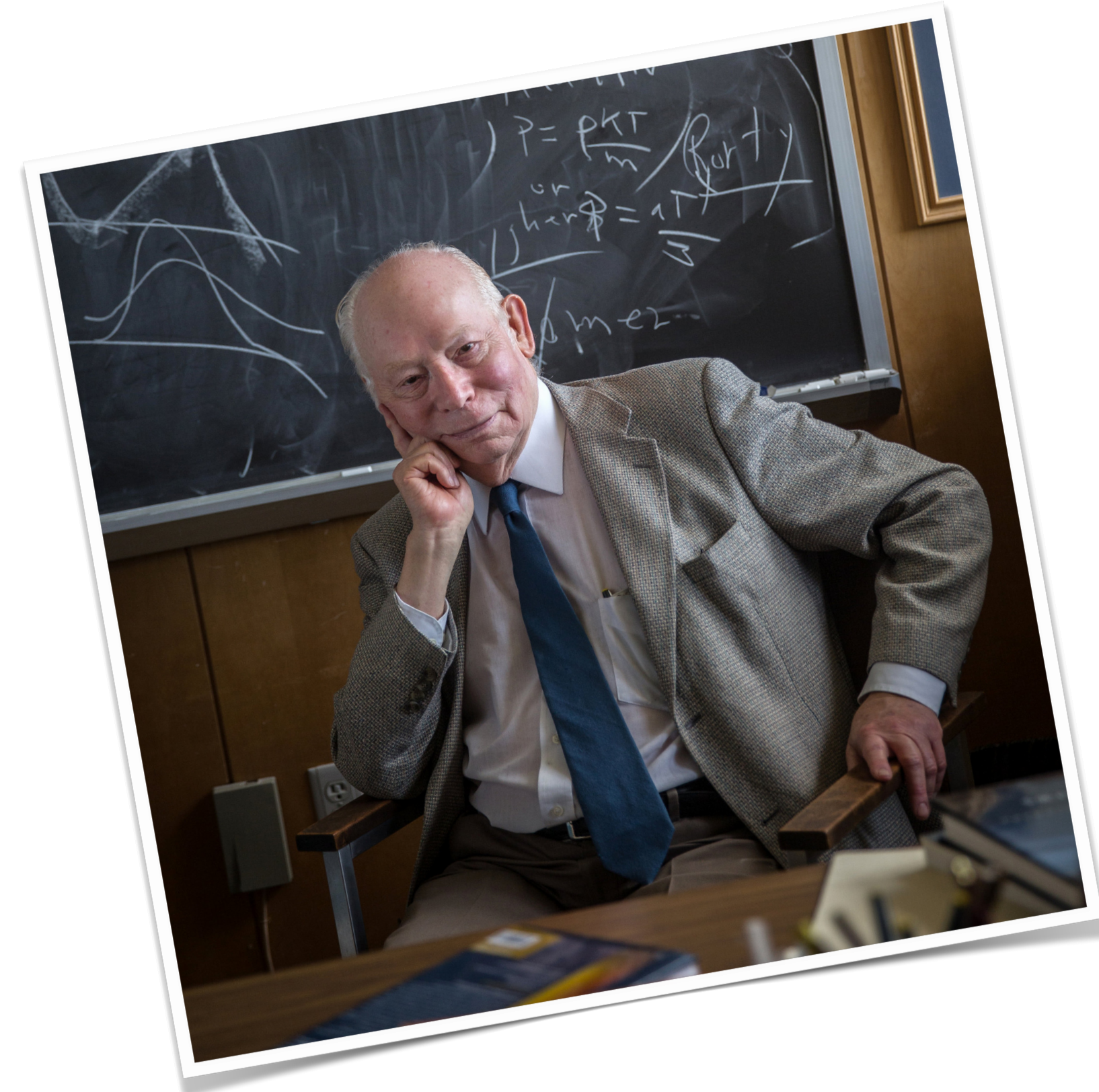
$$+ D_\mu \phi^\dagger \phi - V(\phi)$$



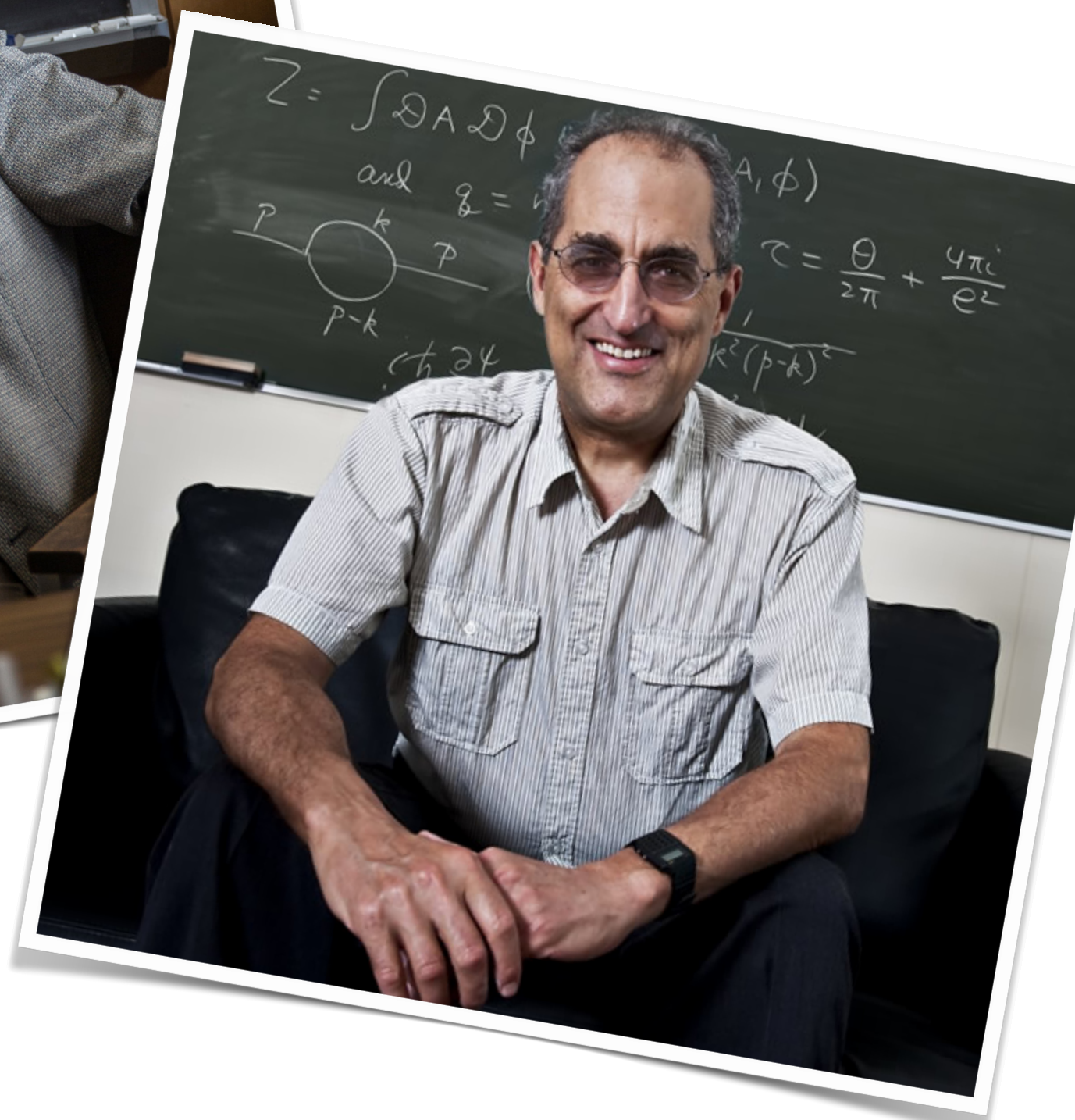
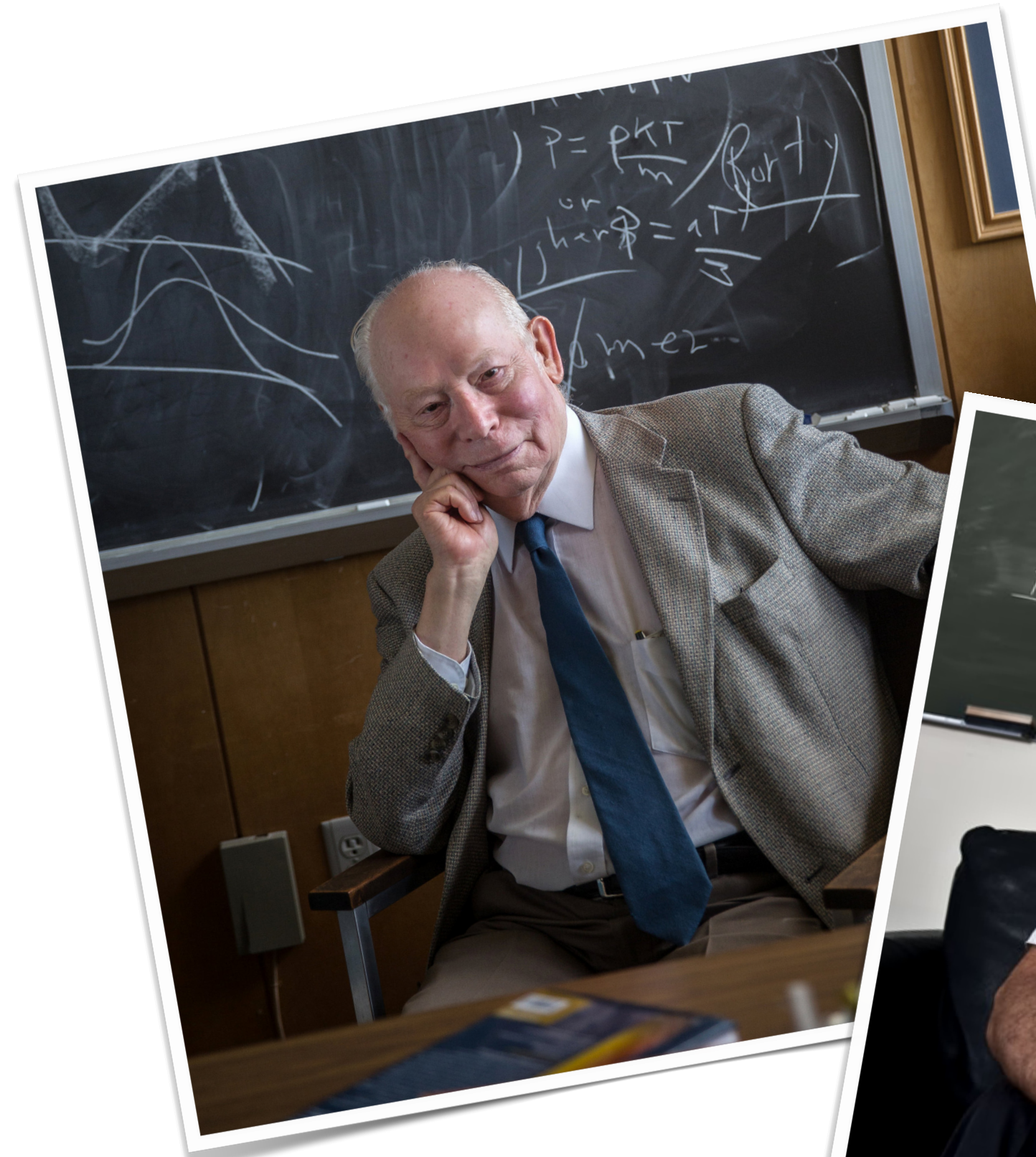
Teorema 2: Weinberg-Witten



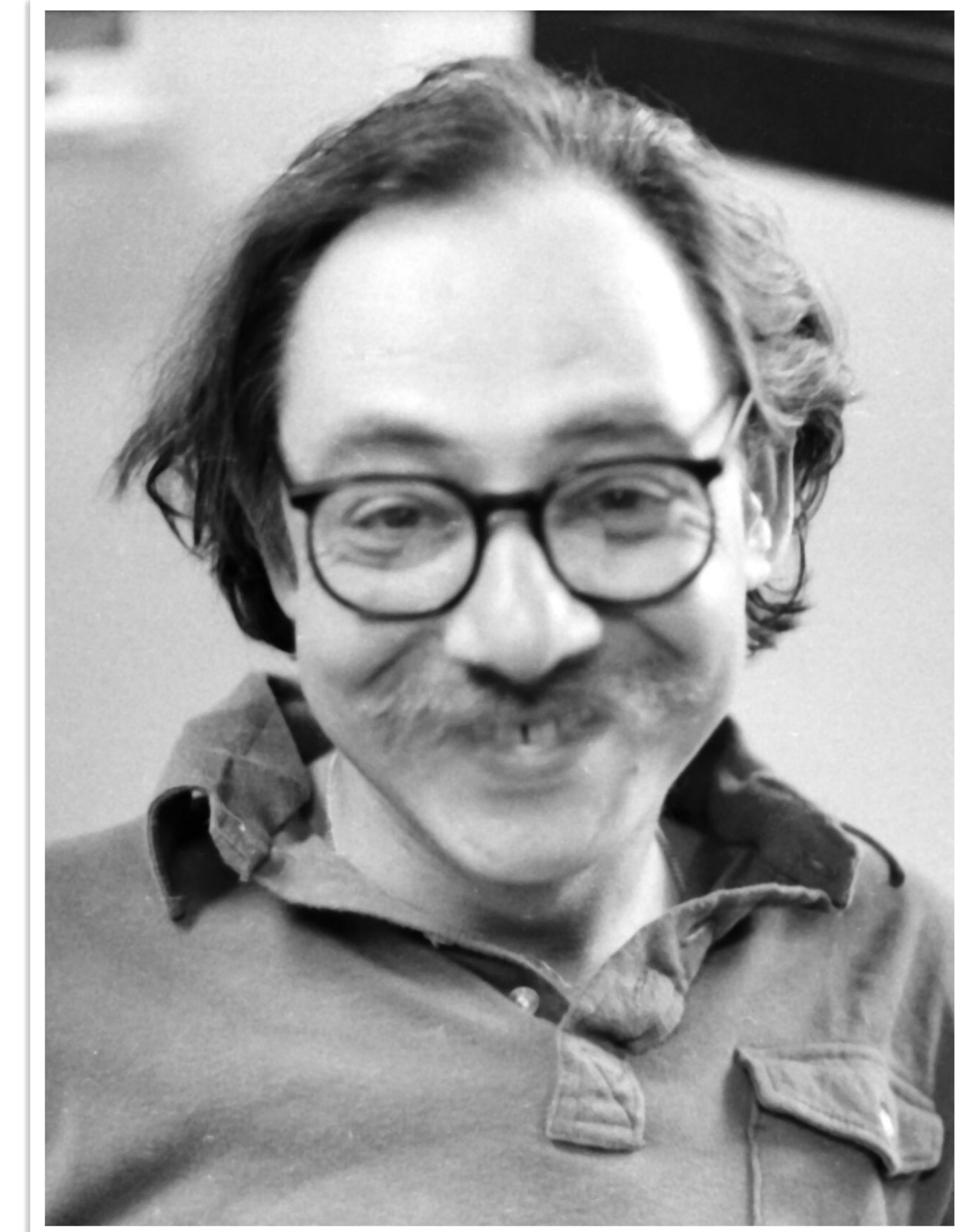
Teorema 2: Weinberg-Witten



Teorema 2: Weinberg-Witten



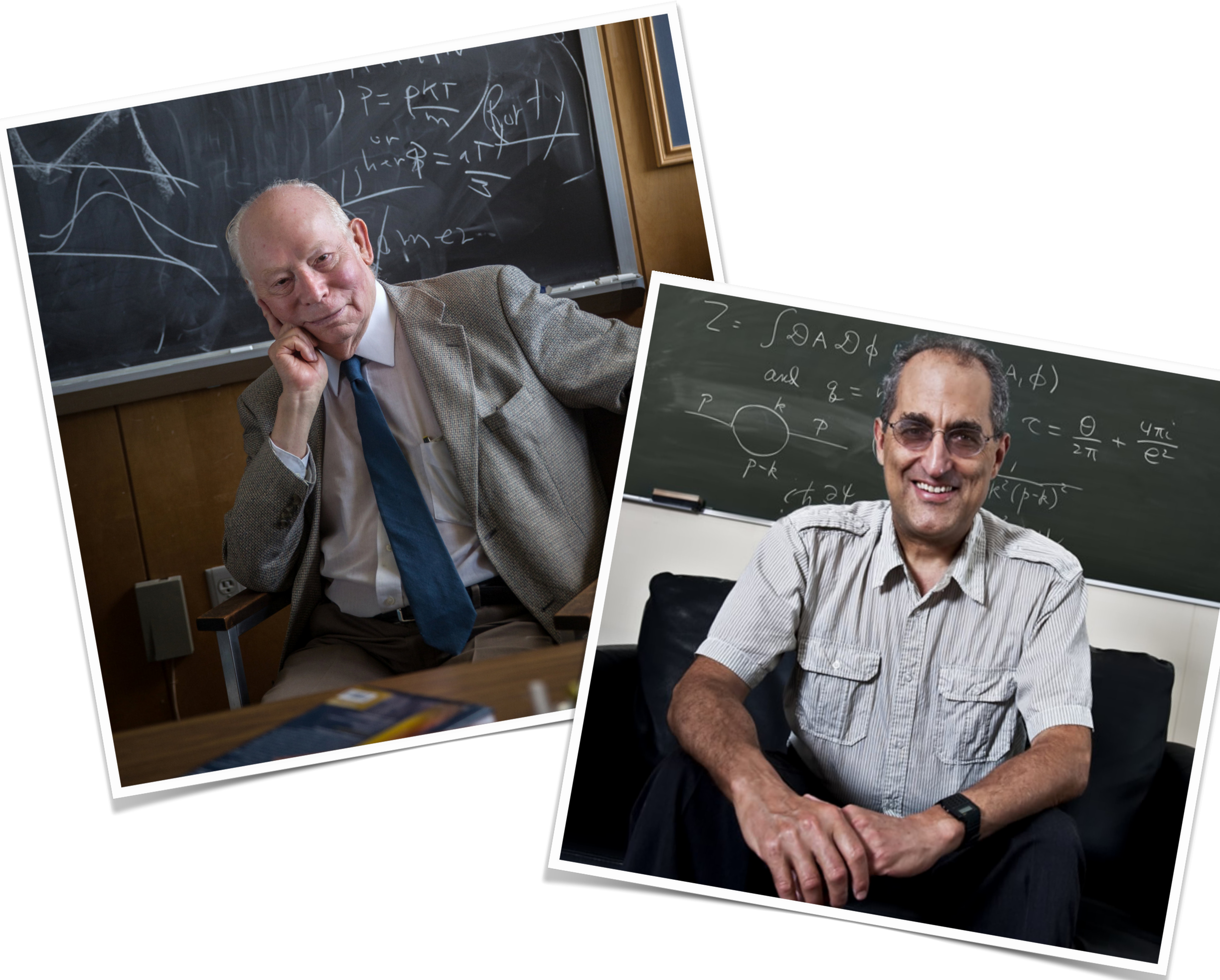
Teorema 2: Weinberg-Witten



S. Coleman

Teorema 2: Weinberg-Witten

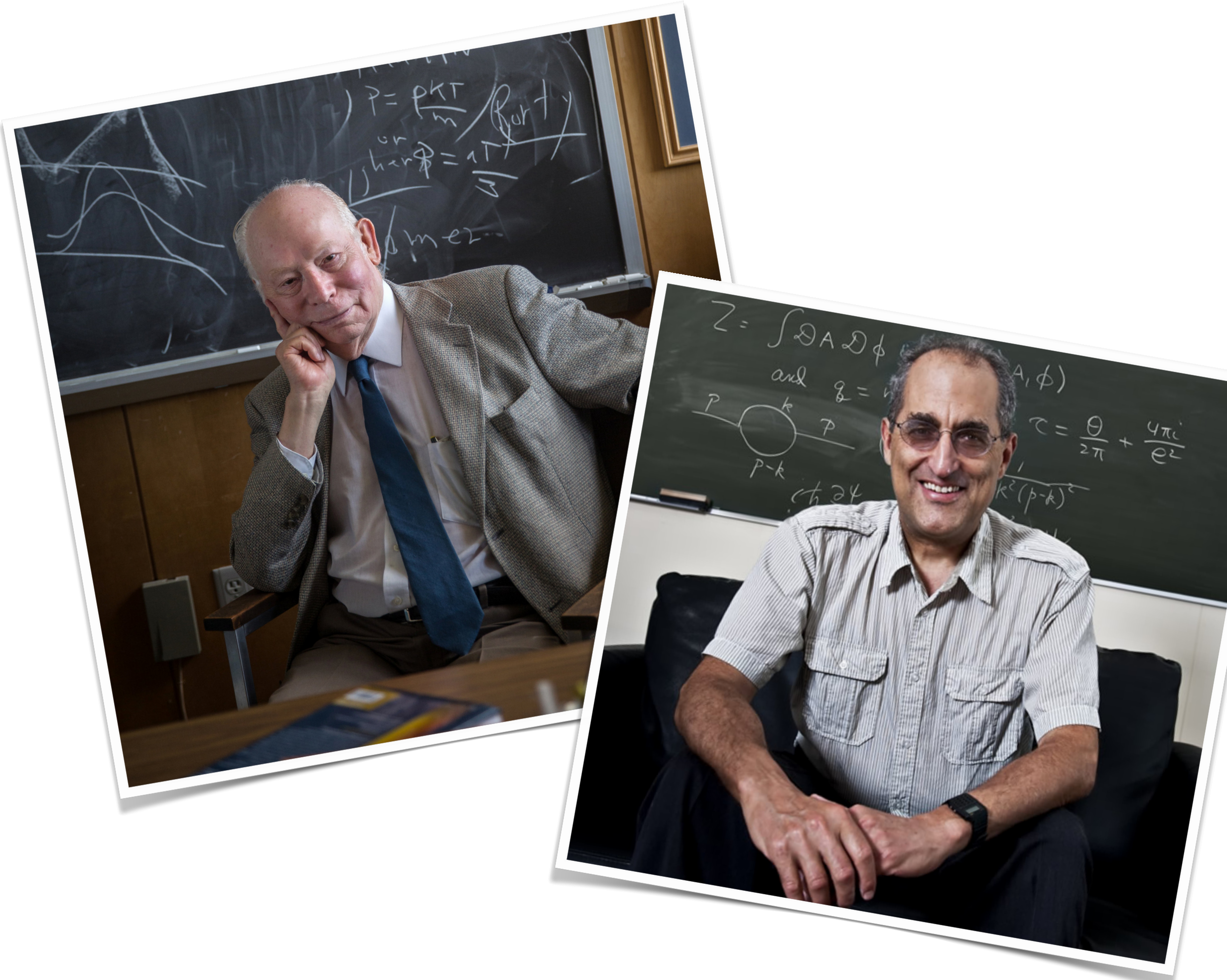
Sean $|p, \pm j\rangle$ y $|p', \pm j\rangle$ dos estados de una partícula sin masa, de espín j .



Teorema 2: Weinberg-Witten

Sean $|p, \pm j\rangle$ y $|p', \pm j\rangle$ dos estados de una partícula sin masa, de espín j . Sean

$$\langle p', \pm j | j^\mu | p, \pm j \rangle \text{ y } \langle p', \pm j | T^{\mu\nu} | p, \pm j \rangle$$



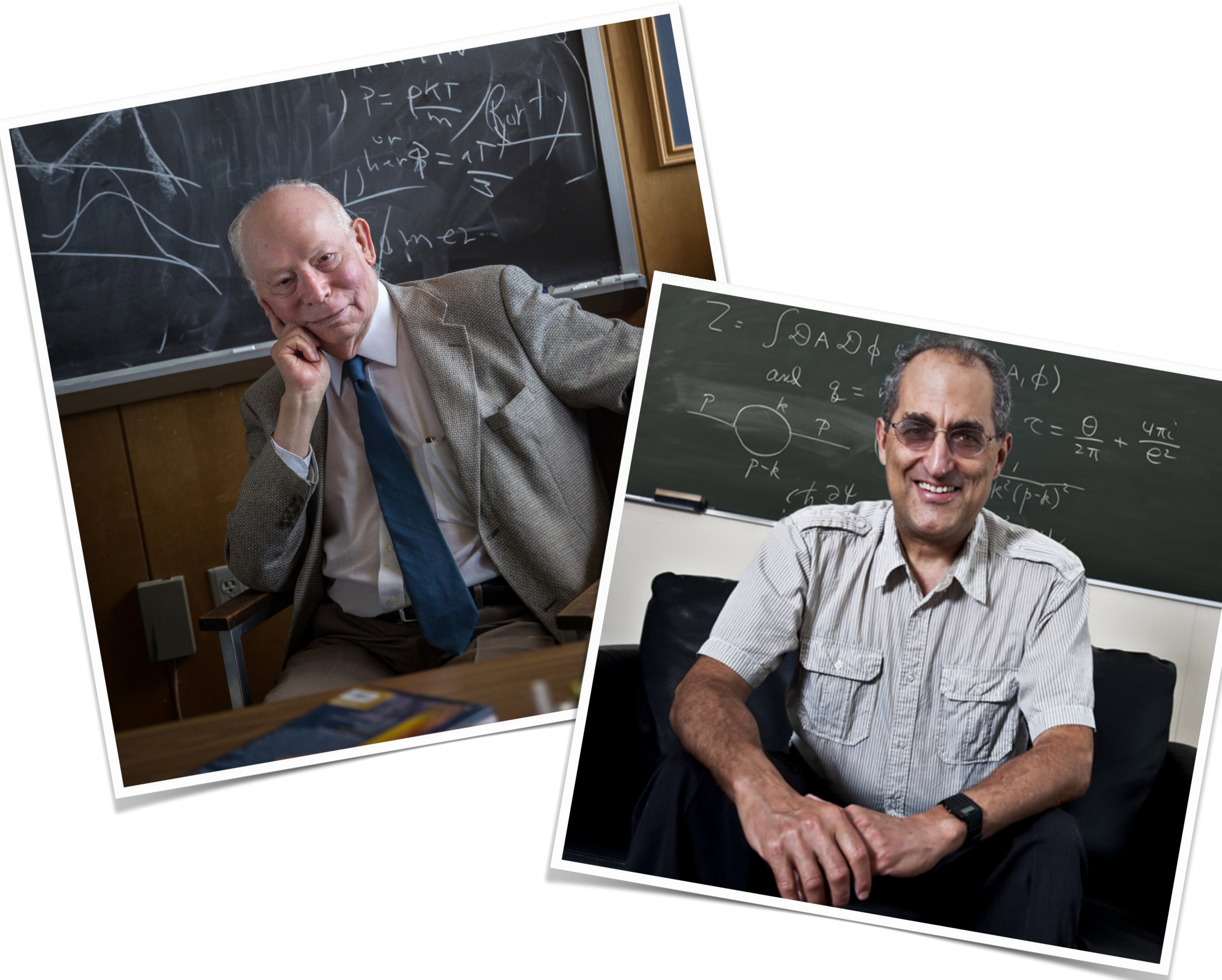
Teorema 2: Weinberg-Witten

Sean $|p, \pm j\rangle$ y $|p', \pm j\rangle$ dos estados de una partícula sin masa, de espín j . Sean

$$\langle p', \pm j | j^\mu | p, \pm j \rangle \text{ y } \langle p', \pm j | T^{\mu\nu} | p, \pm j \rangle$$

Cumpliéndose

$$\partial_\mu \langle j^\mu \rangle = 0 \quad \text{y} \quad \partial_\mu \langle T^{\mu\nu} \rangle = 0$$



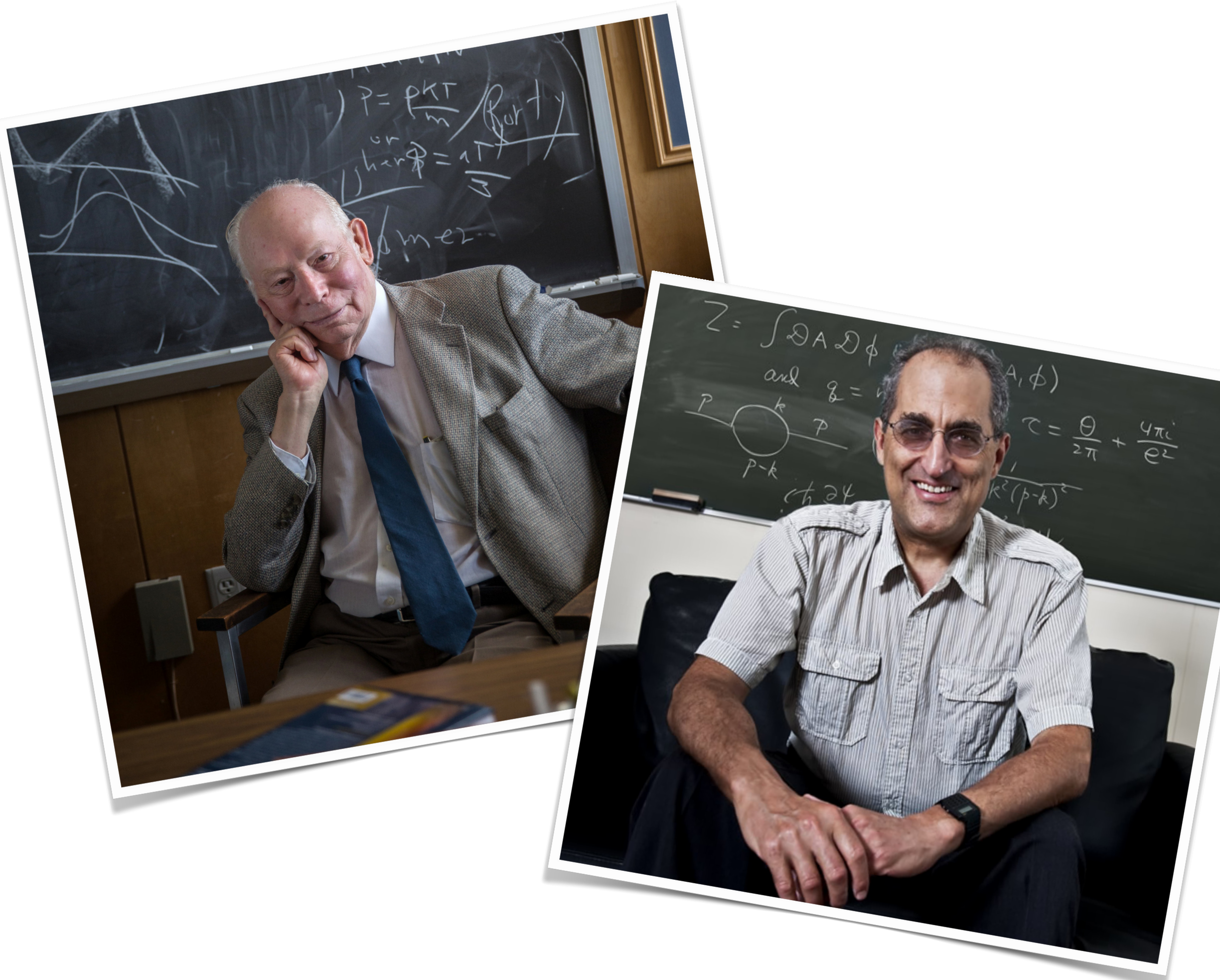
Teorema 2: Weinberg-Witten

Caso $j>1/2$

Si asumimos que las partículas sin masa tienen una carga conservada no nula

$$Q = \int d^3x j^0$$

Tal que $Q|p\rangle = q|p\rangle$.



Teorema 2: Weinberg-Witten

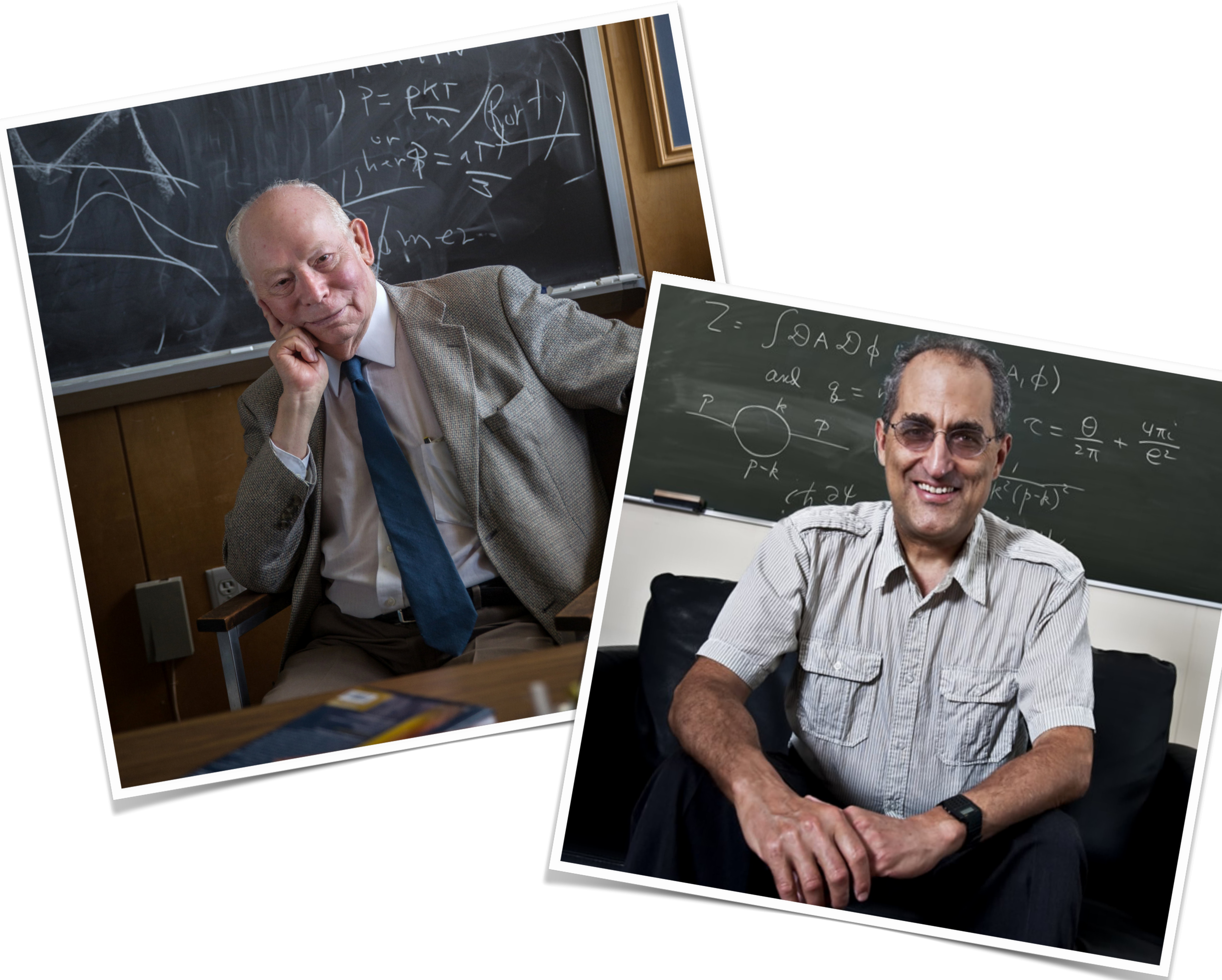
Caso $j>1/2$

Si asumimos que las partículas sin masa tienen una carga conservada no nula

$$Q = \int d^3x j^0$$

Tal que $Q|p\rangle = q|p\rangle$. Si $q \neq 0$

$$\langle p' | Q | p \rangle = q \delta^3(p' - p)$$



Teorema 2: Weinberg-Witten

Caso $j>1/2$

Tambien podemos calcular

$$\begin{aligned}\langle p' | Q | p \rangle &= \int d^3x \langle p' | j^0(t, x) | p \rangle = \int d^3x \langle p' | e^{iP \cdot x} j^0(t, 0) e^{-iP \cdot x} | p \rangle \\ &= \int d^3x e^{i(p' - p) \cdot x} \langle p' | j^0(t, 0) | p \rangle = (2\pi)^3 \delta^3(\mathbf{p}' - \mathbf{p}) \langle p' | j^0(t, 0) | p \rangle\end{aligned}$$

Teorema 2: Weinberg-Witten

Caso $j>1/2$

Tambien podemos calcular

$$\begin{aligned}\langle p' | Q | p \rangle &= \int d^3x \langle p' | j^0(t, x) | p \rangle = \int d^3x \langle p' | e^{iP \cdot x} j^0(t, 0) e^{-iP \cdot x} | p \rangle \\ &= \int d^3x e^{i(p' - p) \cdot x} \langle p' | j^0(t, 0) | p \rangle = (2\pi)^3 \delta^3(p' - p) \langle p' | j^0(t, 0) | p \rangle\end{aligned}$$

Comparando estos resultados

Teorema 2: Weinberg-Witten

Caso $j>1/2$

Tambien podemos calcular

$$\begin{aligned}\langle p' | Q | p \rangle &= \int d^3x \langle p' | j^0(t, x) | p \rangle = \int d^3x \langle p' | e^{iP \cdot x} j^0(t, 0) e^{-iP \cdot x} | p \rangle \\ &= \int d^3x e^{i(p' - p) \cdot x} \langle p' | j^0(t, 0) | p \rangle = (2\pi)^3 \delta^3(\mathbf{p}' - \mathbf{p}) \langle p' | j^0(t, 0) | p \rangle\end{aligned}$$

Comparando estos resultados

$$\lim_{p' \rightarrow p} \langle p' | j^0(t, 0) | p \rangle = \frac{q}{(2\pi)^3}$$

Teorema 2: Weinberg-Witten

Caso $j>1/2$

Tambien podemos calcular

$$\begin{aligned}\langle p' | Q | p \rangle &= \int d^3x \langle p' | j^0(t, x) | p \rangle = \int d^3x \langle p' | e^{iP \cdot x} j^0(t, 0) e^{-iP \cdot x} | p \rangle \\ &= \int d^3x e^{i(p' - p) \cdot x} \langle p' | j^0(t, 0) | p \rangle = (2\pi)^3 \delta^3(p' - p) \langle p' | j^0(t, 0) | p \rangle\end{aligned}$$

Comparando estos resultados

$$\lim_{p' \rightarrow p} \langle p' | j^0(t, 0) | p \rangle = \frac{q}{(2\pi)^3}$$



Covarianza de Lorentz

$$\lim_{p' \rightarrow p} \langle p' | j^\mu(t, 0) | p \rangle = \frac{qp^\mu}{E(2\pi)^3} \neq 0$$

Teorema 2: Weinberg-Witten

Caso $j>1/2$

Tambien podemos calcular

$$\begin{aligned}\langle p' | Q | p \rangle &= \int d^3x \langle p' | j^0(t, x) | p \rangle = \int d^3x \langle p' | e^{iP \cdot x} j^0(t, 0) e^{-iP \cdot x} | p \rangle \\ &= \int d^3x e^{i(p' - p) \cdot x} \langle p' | j^0(t, 0) | p \rangle = (2\pi)^3 \delta^3(p' - p) \langle p' | j^0(t, 0) | p \rangle\end{aligned}$$

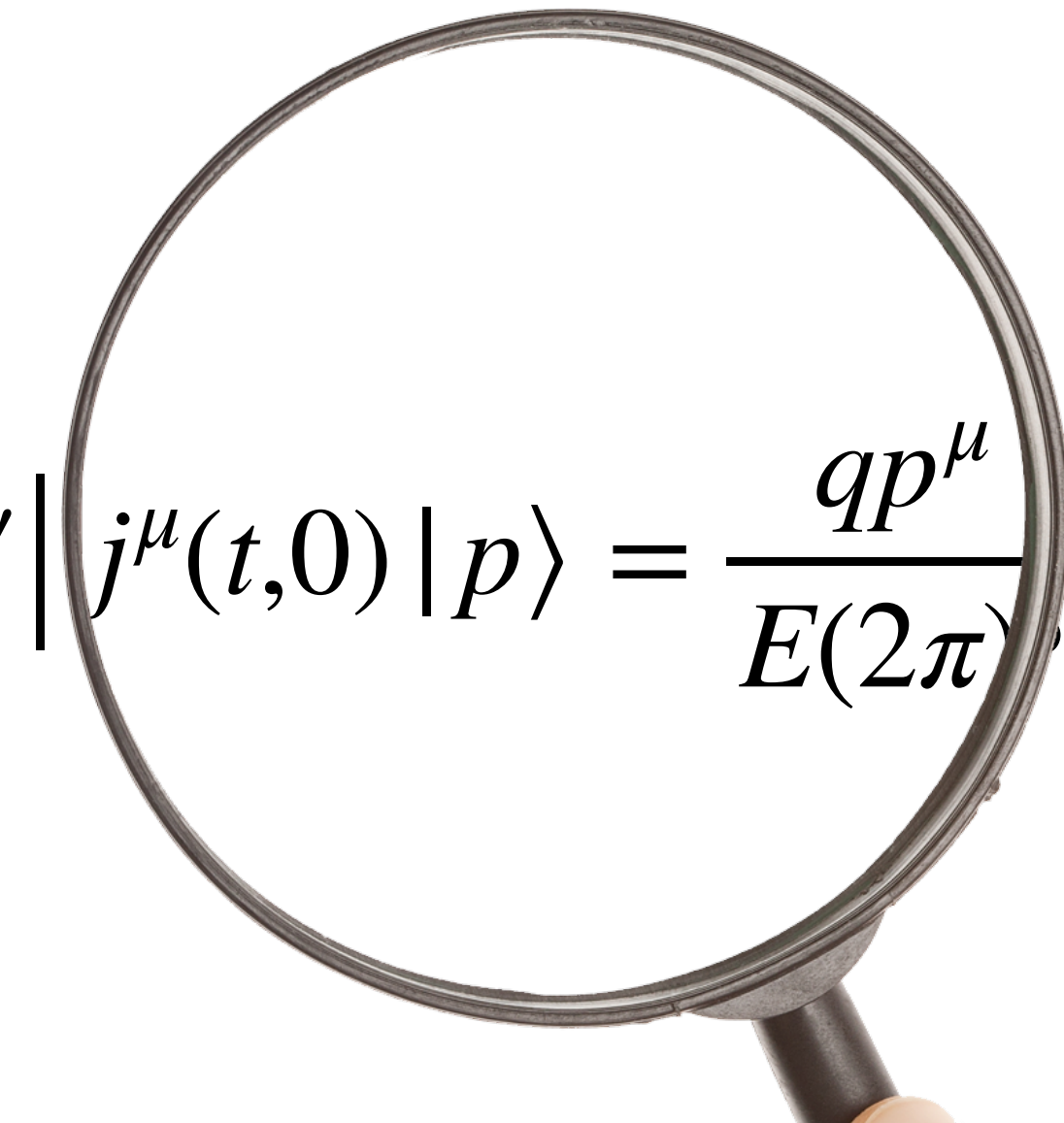
Comparando estos resultados

$$\lim_{p' \rightarrow p} \langle p' | j^0(t, 0) | p \rangle = \frac{q}{(2\pi)^3}$$



Covarianza de Lorentz

$$\lim_{p' \rightarrow p} \langle p' | j^\mu(t, 0) | p \rangle = \frac{qp^\mu}{E(2\pi)^3} \neq 0$$



Teorema 2: Weinberg-Witten

Caso $j>1/2$

Tambien podemos calcular

$$\begin{aligned}\langle p' | Q | p \rangle &= \int d^3x \langle p' | j^0(t, x) | p \rangle = \int d^3x \langle p' | e^{iP \cdot x} j^0(t, 0) e^{-iP \cdot x} | p \rangle \\ &= \int d^3x e^{i(p' - p) \cdot x} \langle p' | j^0(t, 0) | p \rangle = (2\pi)^3 \delta^3(p' - p) \langle p' | j^0(t, 0) | p \rangle\end{aligned}$$

Comparando estos resultados

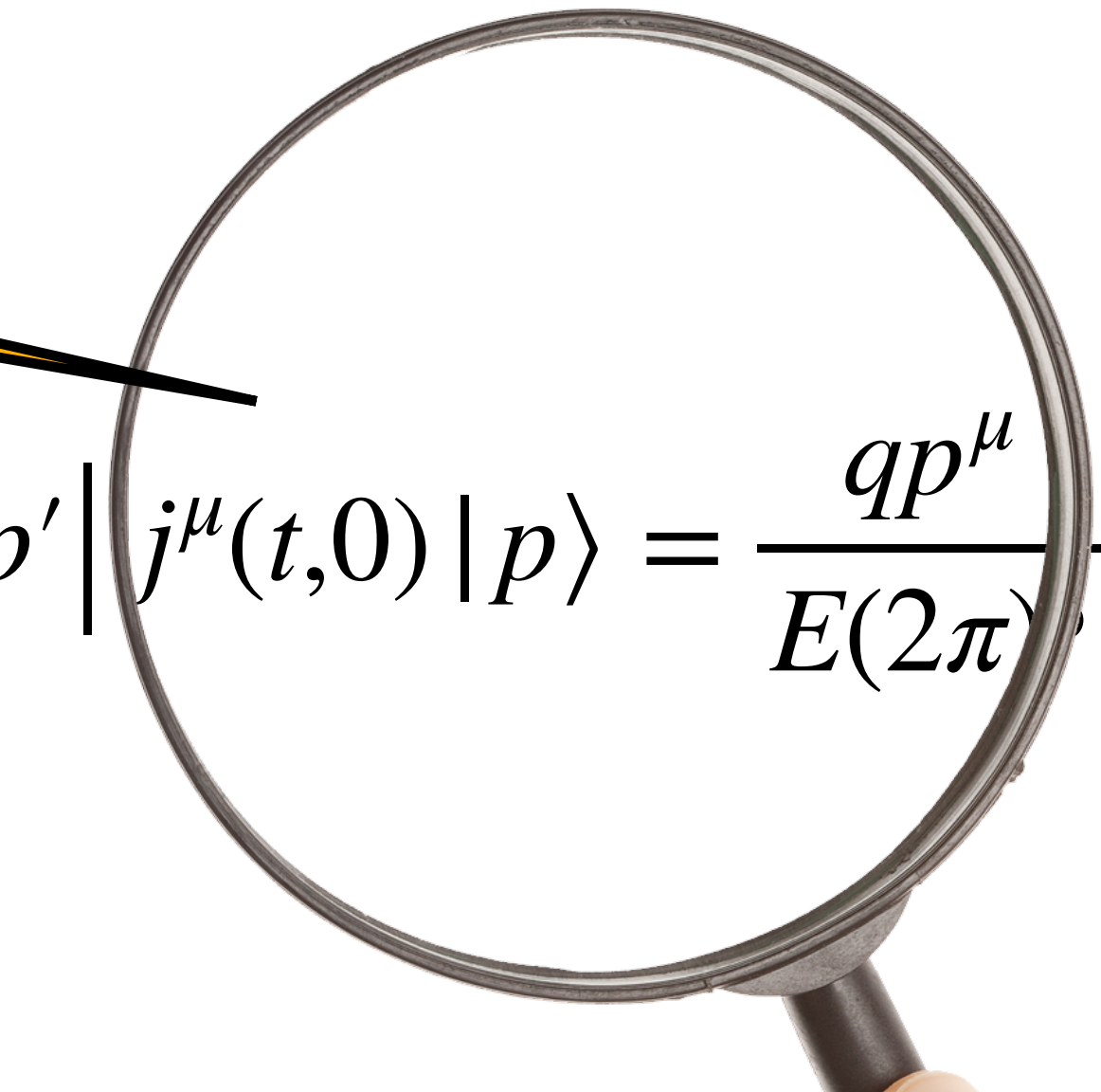
$$\lim_{p' \rightarrow p} \langle p' | j^0(t, 0) | p \rangle = \frac{q}{(2\pi)^3}$$

Implica conservación
de la corriente



Covarianza de Lorentz

$$\lim_{p' \rightarrow p} \langle p' | j^\mu(t, 0) | p \rangle = \frac{qp^\mu}{E(2\pi)^3} \neq 0$$



Teorema 2: Weinberg-Witten

Caso $j>1/2$

Para *light-like* partículas

Teorema 2: Weinberg-Witten

Caso $j>1/2$

Para *light-like* partículas

$$(p' + p)^2 = 2(p' \cdot p) = 2(|p'| |p| - p' \cdot p) = 2|p'| |p|(1 - \cos \theta) \geq 0$$

Teorema 2: Weinberg-Witten

Caso $j>1/2$

Para *light-like* partículas

$$(p' + p)^2 = 2(p' \cdot p) = 2(|p'| |p| - p' \cdot p) = 2|p'| |p|(1 - \cos \theta) \geq 0$$

Si $\theta \neq 0$, entonces $(p' + p)$ es *time-like*

Teorema 2: Weinberg-Witten

Caso $j>1/2$

Para *light-like* partículas

$$(p' + p)^2 = 2(p' \cdot p) = 2(|p'| |p| - p' \cdot p) = 2|p'| |p|(1 - \cos \theta) \geq 0$$

Si $\theta \neq 0$, entonces $(p' + p)$ es *time-like*. Por lo tanto, podemos escoger un S.R. donde las componentes espaciales sean nulas

Teorema 2: Weinberg-Witten

Caso $j>1/2$

Para *light-like* partículas

$$(p' + p)^2 = 2(p' \cdot p) = 2(|p'| |p| - p' \cdot p) = 2|p'| |p|(1 - \cos \theta) \geq 0$$

Si $\theta \neq 0$, entonces $(p' + p)$ es *time-like*. Por lo tanto, podemos escoger un S.R. donde las componentes espaciales sean nulas

$$p = (|p|, \mathbf{p}); \quad p' = (|p|, -\mathbf{p})$$



Teorema 2: Weinberg-Witten

Caso $j>1/2$

Para *light-like* partículas

$$(p' + p)^2 = 2(p' \cdot p) = 2(|p'| |p| - p' \cdot p) = 2|p'| |p|(1 - \cos \theta) \geq 0$$

Si $\theta \neq 0$, entonces $(p' + p)$ es *time-like*. Por lo tanto, podemos escoger un S.R. donde las componentes espaciales sean nulas

$$p = (|p|, \mathbf{p}); \quad p' = (|p|, -\mathbf{p})$$



Ambas partículas se propagan en direcciones contrarias con la misma energía.

Teorema 2: Weinberg-Witten

Caso $j > 1/2$

En este S.R. consideramos la rotación de las partículas por un ángulo ϕ

Teorema 2: Weinberg-Witten

Caso $j > 1/2$

En este S.R. consideramos la rotación de las partículas por un ángulo ϕ

$$|p, \pm j\rangle \rightarrow e^{\pm i\phi j} |p, \pm j\rangle; \quad |p', \pm j\rangle \rightarrow e^{\mp i\phi j} |p, \pm j\rangle$$

Teorema 2: Weinberg-Witten

Caso $j > 1/2$

En este S.R. consideramos la rotación de las partículas por un ángulo ϕ

$$|p, \pm j\rangle \rightarrow e^{\pm i\phi j} |p, \pm j\rangle; \quad |p', \pm j\rangle \rightarrow e^{\mp i\phi j} |p, \pm j\rangle$$

La covarianza de Lorentz implica

Teorema 2: Weinberg-Witten

Caso $j > 1/2$

En este S.R. consideramos la rotación de las partículas por un ángulo ϕ

$$|p, \pm j\rangle \rightarrow e^{\pm i\phi j} |p, \pm j\rangle; \quad |p', \pm j\rangle \rightarrow e^{\mp i\phi j} |p, \pm j\rangle$$

La convarianza de Lorentz implica

$$e^{\pm 2i\phi j} \langle p', \pm j | j^\mu(t,0) | p, \pm j \rangle = \Lambda(\phi)_\nu^\mu \langle p', \pm j | j^\nu(t,0) | p, \pm j \rangle$$

Teorema 2: Weinberg-Witten

Caso $j > 1/2$

En este S.R. consideramos la rotación de las partículas por un ángulo ϕ

$$|p, \pm j\rangle \rightarrow e^{\frac{+}{-}i\phi j} |p, \pm j\rangle; \quad |p', \pm j\rangle \rightarrow e^{\frac{-}{+}i\phi j} |p, \pm j\rangle$$

La covarianza de Lorentz implica

$$e^{\pm 2i\phi j} \langle p', \pm j | j^\mu(t,0) | p, \pm j \rangle = \Lambda(\phi)_\nu^\mu \langle p', \pm j | j^\nu(t,0) | p, \pm j \rangle$$

Donde $\Lambda(\phi)_\nu^\mu$ es la transformación de Lorentz correspondiente a una rotación por un ángulo ϕ .

Teorema 2: Weinberg-Witten

Caso $j > 1/2$

$$e^{\pm 2i\phi j} \langle p', \pm j | j^\mu(t,0) | p, \pm j \rangle = \Lambda(\phi)_\nu^\mu \langle p', \pm j | j^\nu(t,0) | p, \pm j \rangle$$

Los eigenvalues de $\Lambda(\phi)_\nu^\mu$ son $e^{\pm i\phi}$ y 1.

Teorema 2: Weinberg-Witten

Caso $j > 1/2$

$$e^{\pm 2i\phi j} \langle p', \pm j | j^\mu(t,0) | p, \pm j \rangle = \Lambda(\phi)_\nu^\mu \langle p', \pm j | j^\nu(t,0) | p, \pm j \rangle$$

Los eigenvalues de $\Lambda(\phi)_\nu^\mu$ son $e^{\pm i\phi}$ y 1. Esto nos lleva a concluir que

$$j = \{0, 1/2\}$$

Teorema 2: Weinberg-Witten

Caso $j > 1/2$

$$e^{\pm 2i\phi j} \langle p', \pm j | j^\mu(t,0) | p, \pm j \rangle = \Lambda(\phi)_\nu^\mu \langle p', \pm j | j^\nu(t,0) | p, \pm j \rangle$$

Los eigenvalues de $\Lambda(\phi)_\nu^\mu$ son $e^{\pm i\phi}$ y 1. Esto nos lleva a concluir que

$$j = \{0, 1/2\}$$

Y concluimos también que los elementos de la matriz deben ser nulos para $j > 1/2$.

Teorema 2: Weinberg-Witten

Caso $j > 1/2$

$$e^{\pm 2i\phi j} \langle p', \pm j | j^\mu(t,0) | p, \pm j \rangle = \Lambda(\phi)_\nu^\mu \langle p', \pm j | j^\nu(t,0) | p, \pm j \rangle$$

Los eigenvalues de $\Lambda(\phi)_\nu^\mu$ son $e^{\pm i\phi}$ y 1. Esto nos lleva a concluir que

$$j = \{0, 1/2\}$$

Y concluimos también que los elementos de la matriz deben ser nulos para $j > 1/2$. En particular en el límite $p' \rightarrow p$

$$\lim_{p' \rightarrow p} \langle p' | j^\mu(t,0) | p \rangle = 0 \quad \text{para } j > 1/2$$

Teorema 2: Weinberg-Witten

Caso $j > 1/2$

Esto nos lleva a una contradicción



$$\lim_{p' \rightarrow p} \langle p' | j^\mu(t,0) | p \rangle = \frac{qp^\mu}{E(2\pi)^3} \neq 0$$

$$\lim_{p' \rightarrow p} \langle p' | j^\mu(t,0) | p \rangle = 0 \quad \text{para } j > 1/2$$

Teorema 2: Weinberg-Witten

Caso $j > 1/2$

Esto nos lleva a una contradicción

$$\lim_{p' \rightarrow p} \langle p' | j^\mu(t,0) | p \rangle = \frac{qp^\mu}{E(2\pi)^3} \neq 0$$

$$\lim_{p' \rightarrow p} \langle p' | j^\mu(t,0) | p \rangle = 0 \quad \text{para } j > 1/2$$



Teorema 2: Weinberg-Witten

Caso $j > 1/2$

Esto nos lleva a una contradicción

$$\lim_{p' \rightarrow p} \langle p' | j^\mu(t,0) | p \rangle = \frac{qp^\mu}{E(2\pi)^3} \neq 0$$

$$\lim_{p' \rightarrow p} \langle p' | j^\mu(t,0) | p \rangle = 0 \quad \text{para } j > 1/2$$



Una partícula sin masa de spin $j > 1/2$, no puede llevar una carga inducida por un vector de corriente conservada.

Teorema 2: Weinberg-Witten

Caso $j > 1$

Por argumentos similares llegamos primero a

Teorema 2: Weinberg-Witten

Caso $j>1$

Por argumentos similares llegamos primero a

$$\lim_{p' \rightarrow p} \langle p' | T^{\mu\nu}(t,0) | p \rangle = \frac{p^\mu p^\nu}{E(2\pi)^3} \neq 0$$

Teorema 2: Weinberg-Witten

Caso $j>1$

Por argumentos similares llegamos primero a

$$\lim_{p' \rightarrow p} \langle p' | T^{\mu\nu}(t,0) | p \rangle = \frac{p^\mu p^\nu}{E(2\pi)^3} \neq 0$$

Por covarianza relativista

Teorema 2: Weinberg-Witten

Caso $j > 1$

Por argumentos similares llegamos primero a

$$\lim_{p' \rightarrow p} \langle p' | T^{\mu\nu}(t,0) | p \rangle = \frac{p^\mu p^\nu}{E(2\pi)^3} \neq 0$$

Por covarianza relativista

$$e^{\pm 2i\phi j} \langle p', \pm j | T^{\mu\nu}(t,0) | p, \pm j \rangle = \Lambda(\phi)_\rho^\mu \Lambda(\phi)_\sigma^\nu \langle p', \pm j | T^{\rho\sigma}(t,0) | p, \pm j \rangle$$

Teorema 2: Weinberg-Witten

Caso $j > 1$

Por argumentos similares llegamos primero a

$$\lim_{p' \rightarrow p} \langle p' | T^{\mu\nu}(t,0) | p \rangle = \frac{p^\mu p^\nu}{E(2\pi)^3} \neq 0$$

$$\lim_{p' \rightarrow p} \langle p', \pm j | T^{\mu\nu}(t,0) | p, \pm j \rangle = 0 \quad \text{para } j > 1$$

Teorema 2: Weinberg-Witten

Caso $j > 1$

Por argumentos similares llegamos primero a

$$\lim_{p' \rightarrow p} \langle p' | T^{\mu\nu}(t,0) | p \rangle = \frac{p^\mu p^\nu}{E(2\pi)^3} \neq 0$$

$$\lim_{p' \rightarrow p} \langle p', \pm j | T^{\mu\nu}(t,0) | p, \pm j \rangle = 0 \quad \text{para } j > 1$$



Teorema 2: Weinberg-Witten

Caso $j > 1$

Por argumentos similares llegamos primero a

$$\lim_{p' \rightarrow p} \langle p' | T^{\mu\nu}(t,0) | p \rangle = \frac{p^\mu p^\nu}{E(2\pi)^3} \neq 0$$

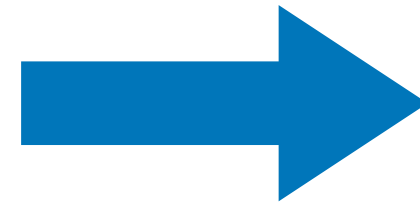
$$\lim_{p' \rightarrow p} \langle p', \pm j | T^{\mu\nu}(t,0) | p, \pm j \rangle = 0 \quad \text{para } j > 1$$



Una partícula sin masa de spin $j > 1$, no puede llevar una carga inducida por un vector de corriente conservada.

Teorema 2: Weinberg-Witten

Evidentemente



El teorema no se aplica a los fotones, ya que estos no llevan carga

Teorema 2: Weinberg-Witten

Evidentemente

- El teorema no se aplica a los fotones, ya que estos no llevan carga
- Tampoco a W^\pm ni al Z , pues estos son masivos

Teorema 2: Weinberg-Witten

Evidentemente

- El teorema no se aplica a los fotones, ya que estos no llevan carga
- Tampoco a W^\pm ni al Z , pues estos son masivos

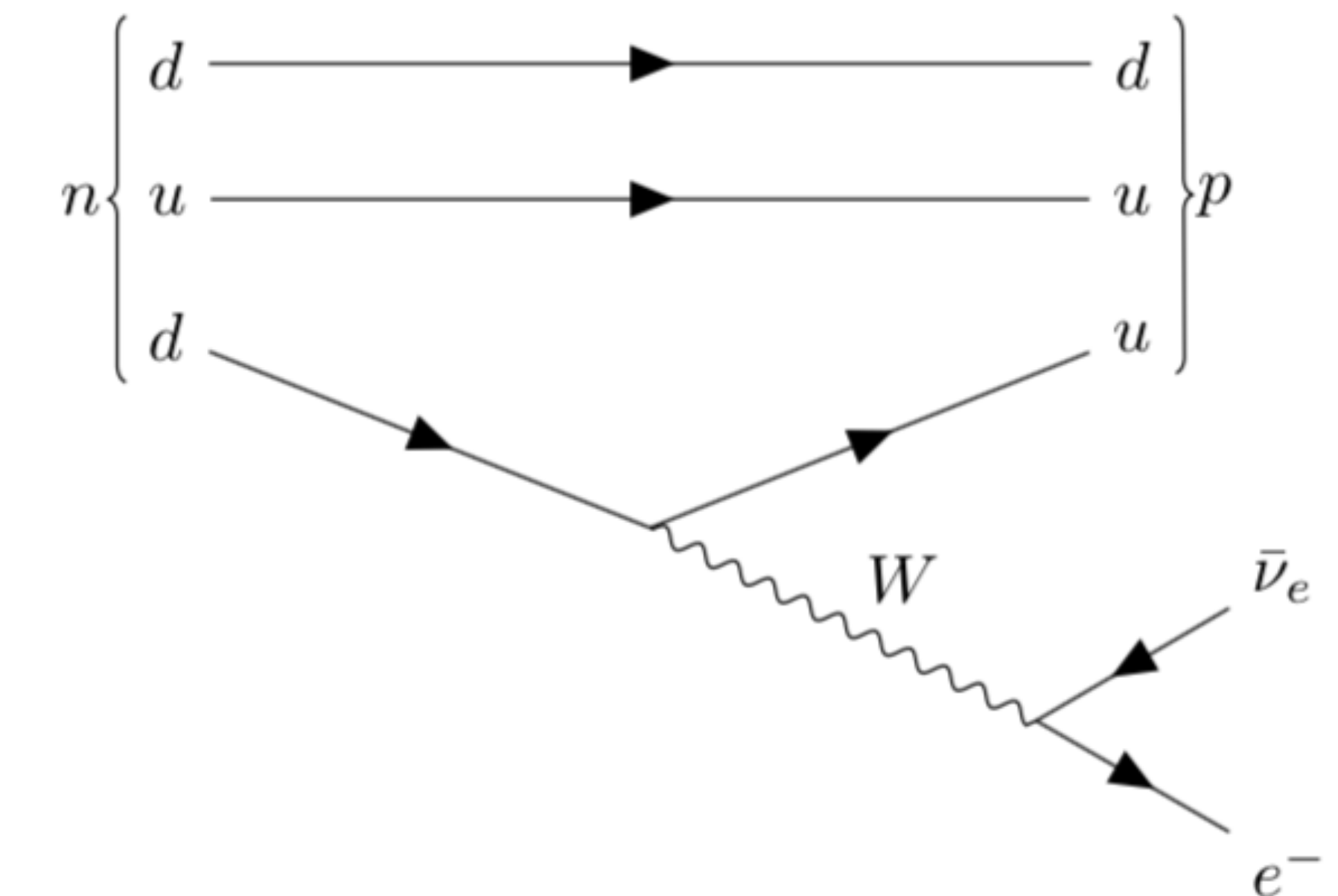
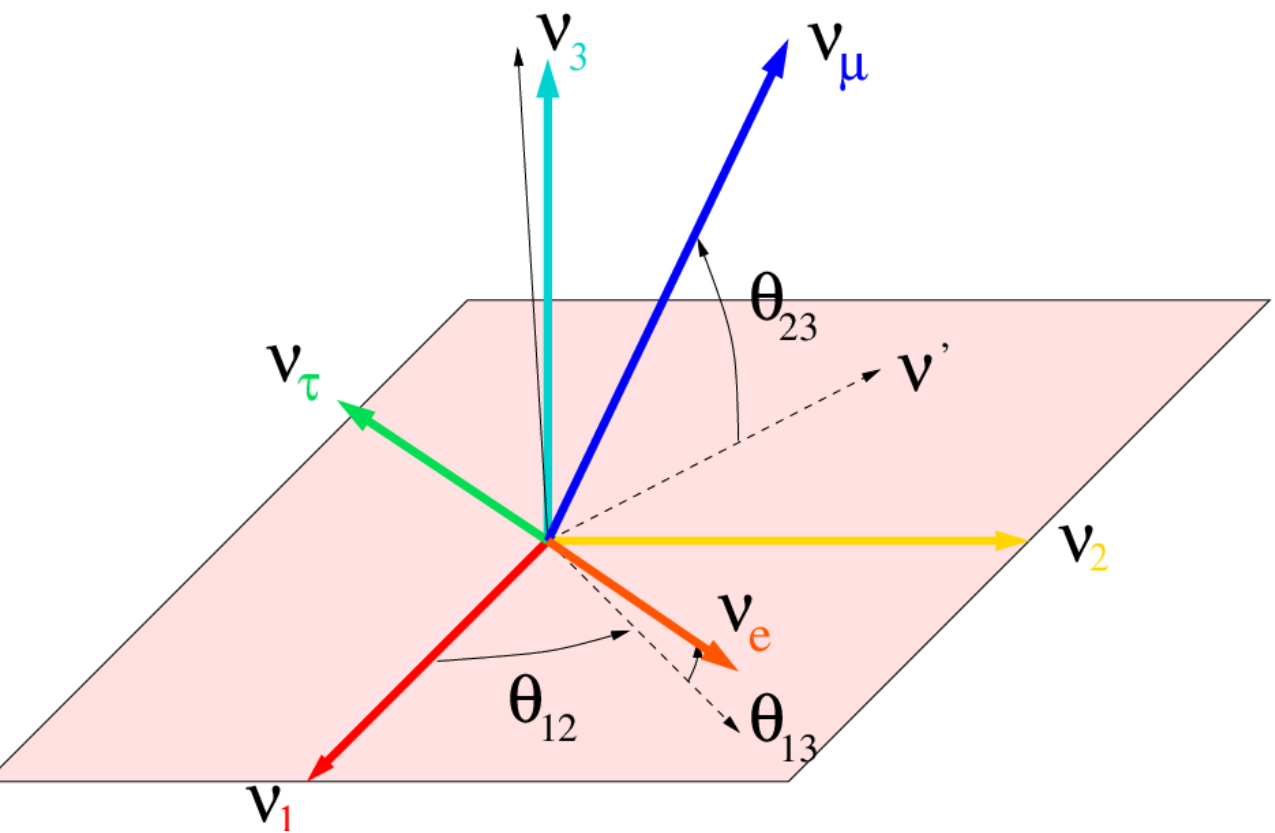
Porque son permitidos los gluones y los gravitones?

$$\mathcal{L} = -\gamma_\mu F_{\mu\nu} F^{\mu\nu} + h.c.$$

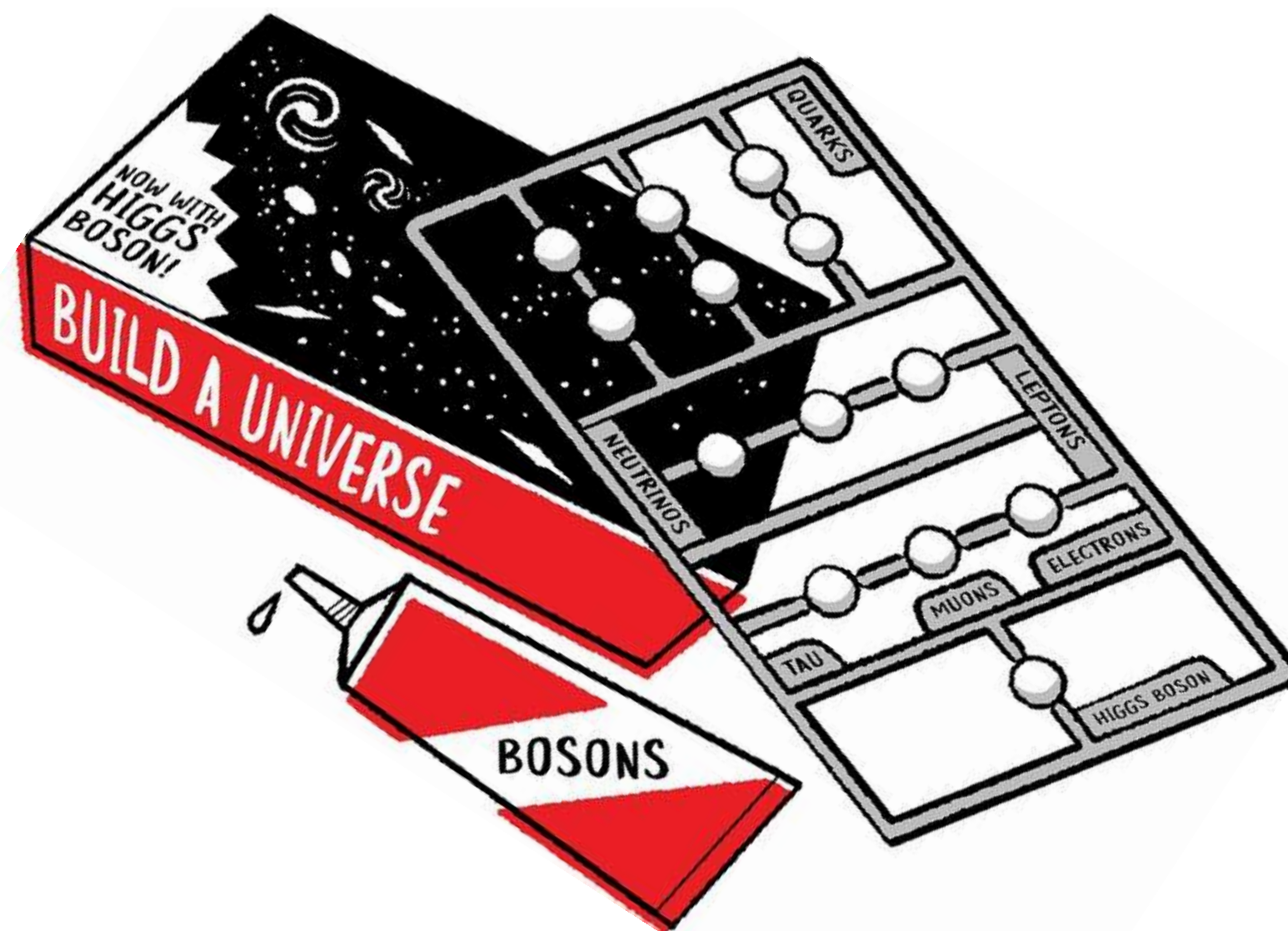
$$+ i \bar{\psi} \not{\partial} \psi + h.c.$$

$$+ \bar{\psi}_i \gamma_{ij} \psi_j \phi + h.c.$$

$$+ D_\mu \phi^\dagger \phi - V(\phi)$$



Conclusiones



Conclusiones

Los teoremas presentados buscan

- Dictar el camino permitido o no en la construcción de modelos BSM
- Conocerlos permite ver que la construcción de modelos es un asunto delicado y bastante complicado
- En caso de no respetarlos, buscar una forma *ingeniosa* de evitarlos

“Si no quiebras algo, no generalizas.”

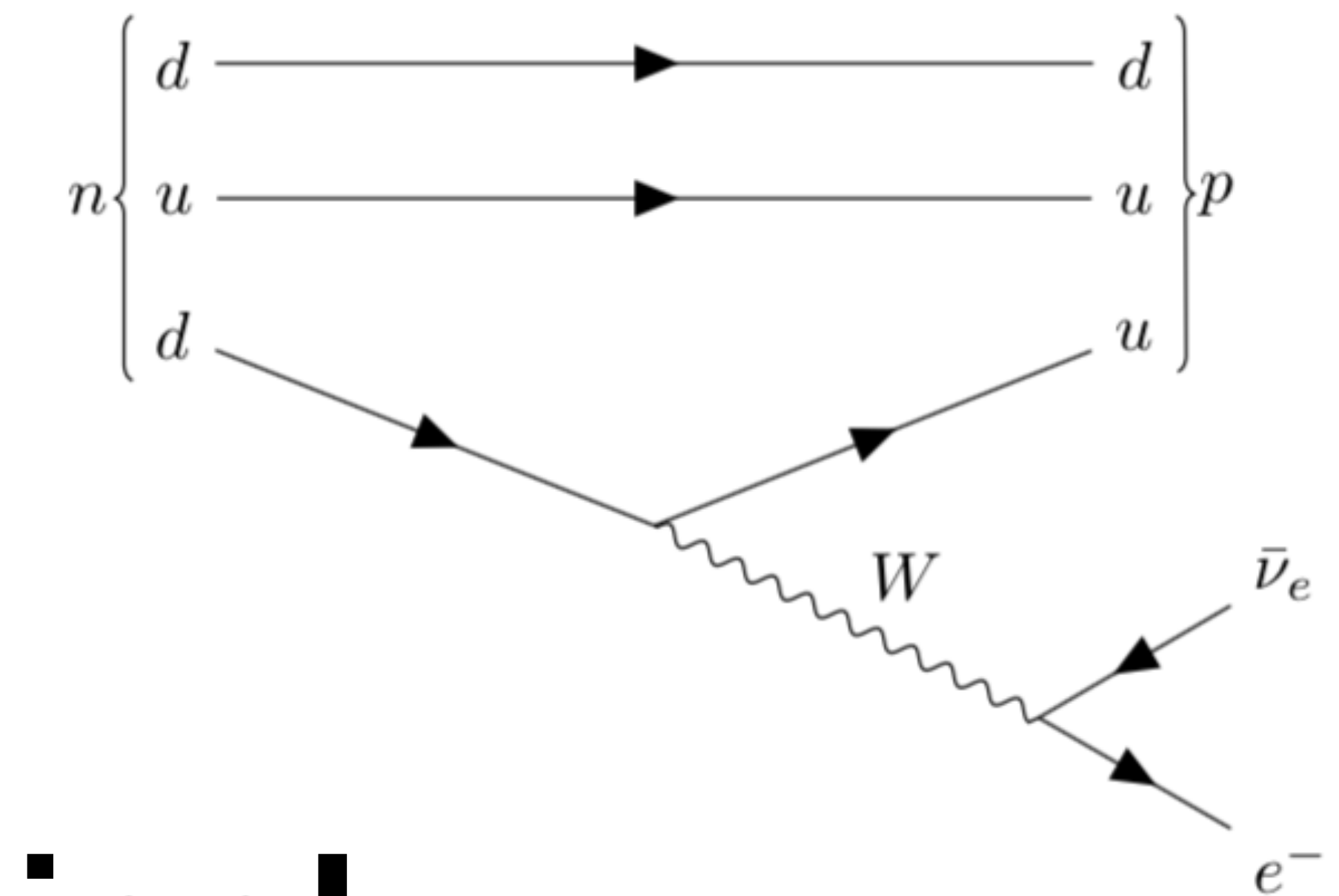
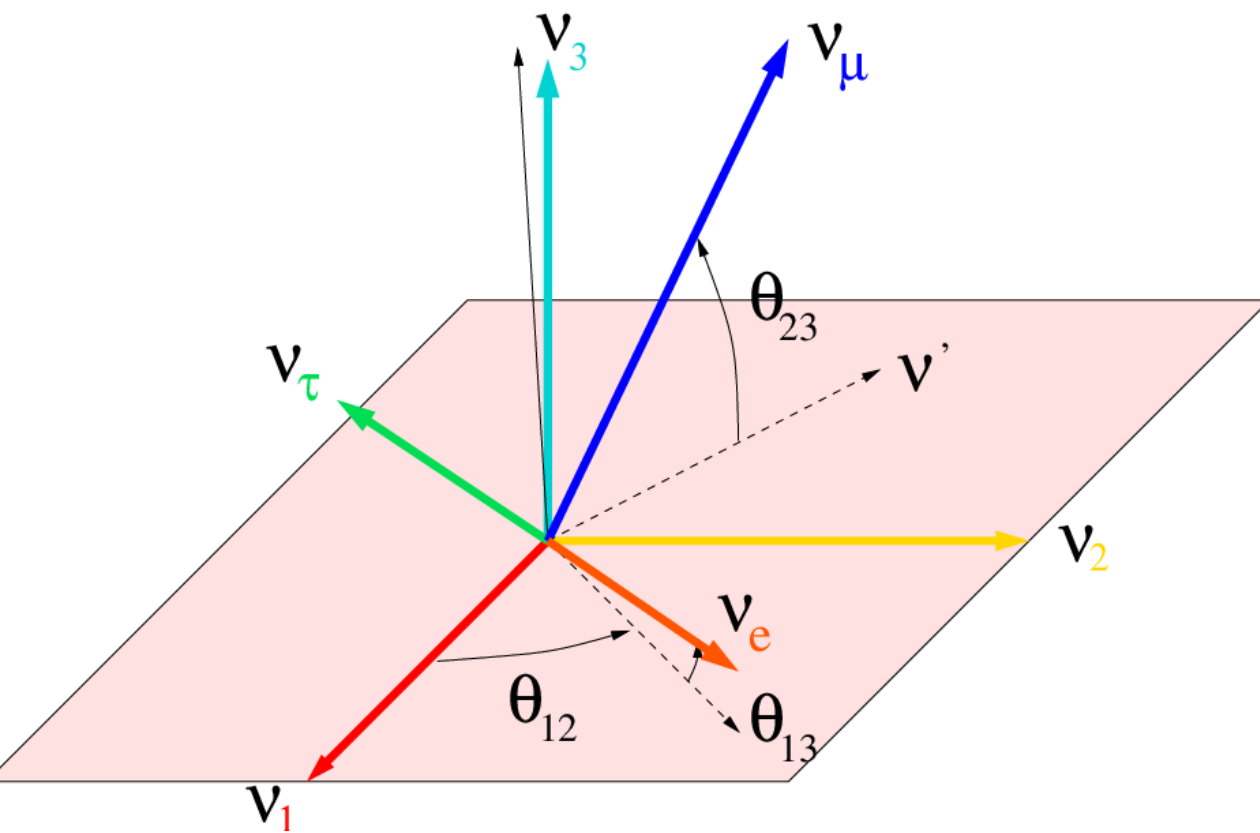
T. Sallis

$$\mathcal{L} = -\bar{\psi}_4 \gamma_\mu F_{\mu\nu} F^{\mu\nu} + h.c.$$

$$+ i \bar{\psi} \not{\partial} \psi + h.c.$$

$$+ \bar{\psi}_i \gamma_{ij} \psi_j \phi + h.c.$$

$$+ D_\mu \phi^\dagger \phi - V(\phi)$$



Muchas gracias!

